

Издается с 1947 г.
Выходит 12 раз в год на русском языке

Խ Մ Բ Վ Գ Բ Ա Կ Ա Ն Կ Ո Լ Ե Գ Ի Ա

Հ. Գ. Բարսյան, Շ. Հ. Բաղանյան, Գ. Հ. Գրիգորյան, Վ. Վ. Դավթարյան,
Մ. Հ. Իսկանյան (գլխ. խմբագրի տեղակալ), Հ. Գ. Խաչատրյան,
Լ. Ա. Հակոբյան, Ա. Հ. Մանթաշյան, Ս. Գ. Մանույան (գլխ. խմբագրի
տեղակալ), Ա. Ս. Նորավյան, Ս. Ս. Սահակյան (պատ. քարտուղար),
Ի. Ա. Վարդանյան, Ս. Հ. Վարդանյան (գլխ. խմբագրի)

РЕДАКЦИОННАЯ КОЛЛЕГИЯ

Л. А. Акопян, Г. Г. Бабаян, Ш. О. Баданян, И. А. Варданян,
С. А. Вартанян (глав. редактор), Г. О. Григорян, В. В. Довлатян,
М. Г. Инджикян (зам. глав. редактора), А. А. Манташян,
С. Г. Мацюян (зам. глав. редактора), А. С. Норавян, С. С. Саакян
(ответ. секретарь), А. Г. Хачатрян

Ա.Յօրգանական և ամալիսիկ քիմիա

Բալայան Հ. Գ., Ավետիսյան Մ. Ա., Թումանյան Ն. Գ. — Սիլիկատների ֆուկուլյացիայի օքսիդացման արդյունքները պոլիէթիլենի մեջ առկայությամբ	747
Գալստյան Գ. Ս., Անդրոնիկաշվիլի Թ. Գ., Խաչատրյան Հ. Գ. — Ցեոլիտների կիրառումը ներքին թրմատողության համար	754

Օրգանական քիմիա

Խաչատրյան Լ. Ա., Ղազարյան Ռ. Հ., Գրիգորյան Գ. Ս., Մարտիրոսյան Ն. Գ., Մալխասյան Ա. Յ. — Գիջլորիկաբերների սինթեզի արդյունքները	762
Պարսնիկյան Ե. Գ., Սիրականյան Ս. Ն., Նորապետյան Ս. Ա., Պարսնիկյան Ռ. Գ. — Գիբրանոլ/3,4-Եթիլիդիները շարքի 3-ամինոստանդարտների սինթեզը և հակացնցումային սկզբնականները	768
Հեղինակների և հոդվածների ցանկ	774

СО Д Е Р Ж А Н И Е

Стр.

Неорганическая и аналитическая химия

<i>Балаян Г. Г., Аветисян М. С., Туманян Н. П.</i> — Некоторые закономерности флоккуляции коллоидного кремнезема растворами полиэтиленimina	747
<i>Гайбалян Д. С., Аюроникашвили Т. Г., Хачатрян А. Г.</i> — Применение цеолитов для разделения редких элементов методом тонкослойной хроматографии	754

Органическая химия

<i>Хачатрян Л. А., Казарян Р. А., Григорян Г. С., Мартиросян Н. Г., Малхасян А. Ц.</i> — Циклоприсоединение дихлоркарбена к дихлорбутенам в условиях межфазного катализа	762
<i>Пароникян Е. Г., Сиракянян С. Н., Нораян А. С., Пароникян Р. Г.</i> — Синтез и противосудорожная активность 3-аминопроизводных пипрано-/3,4-с/пиридинов	766
Указатель авторов и статей	774

CONTENTS

Inorganic and Analytical Chemistry

- Bulayan H. G., Avetisyan M. S., Toumantan N. P.* — Some Regularities of Colloidal Silica Flocculation Induced by Polyethylenimine Solutions 747
- Gaybektan D. S., Andronkashvili T. G., Khachatryan H. G.* — The Use of Zeolites for Separation of Rare Elements by Thin-Layer Chromatography Method 754

Organic Chemistry

- Khachatryan L. A., Ghazarian R. H., Grigorian G. S., Martirosyan N. G., Malkhassian A. Ts.* — The Cycloaddition Reaction of Dichlorocarbene to Dichlorobutenes under Conditions of Interface Catalysis 762
- Paronikyan Ye. G., Sirakanyan S. N., Noravlian A. S., Paronikyan R. G.* — Synthesis and Anticonvulsant Activity of the 3-Aminoderivatives of Pyrano/3,4-c/pyridines 766
- Author and Paper Index 774

НЕОРГАНИЧЕСКАЯ И АНАЛИТИЧЕСКАЯ ХИМИЯ

УДК 541.183.23

НЕКОТОРЫЕ ЗАКОНОМЕРНОСТИ ФЛОКУЛЯЦИИ
КОЛЛОИДНОГО КРЕМНЕЗЕМА
РАСТВОРАМИ ПОЛИЭТИЛЕНИМИНА

Г. Г. БАЛАЯН, М. С. АВЕТИСЯН и Н. П. ТУМАНЯН

Армянский филиал ВНИИ ИРЕА «Реахром», Ереван

Поступило 19 II 1988

Исследована флокуляция коллоидного кремнезема растворами полиэтиленimina (ПЭИ) в области рН 3 — 10. Определена область концентраций ПЭИ, в которой наблюдается флокуляция. Выявлены зависимости критической концентрации флокуляции (ККФ) коллоидного кремнезема в растворах ПЭИ и критической концентрации рестабиллизации (ККР) от рН и молекулярной массы полиэлектролита. Предложены соотношения, связывающие ККФ и ККР с молекулярной массой ПЭИ.

Рис. 4, библиографические ссылки 9.

Известно [1, 2], что благодаря своему характеру катионного полиэлектролита полиэтиленimin (ПЭИ) может вызвать флокуляцию коллоидного кремнезема или, напротив, стабилизировать его. Имеющиеся в литературе весьма немногочисленные сведения по флокуляции коллоидного кремнезема полиэтиленiminом позволяют оценить влияние на флокуляцию таких факторов, как молекулярная масса и концентрация ПЭИ, рН среды, причем большей частью исследования проводились на ПЭИ с относительно низкой молекулярной массой [2—3]. Флокуляция коллоидного кремнезема полиэтиленiminaми с более широким интервалом молекулярных масс изучалась в работе [4], однако в ней в достаточной степени не интерпретированы полученные результаты.

В настоящей работе представлены результаты изучения флокуляции коллоидного кремнезема высокомолекулярными ПЭИ в сопоставлении с литературными данными и предпринята попытка качественной интерпретации полученных результатов.

В качестве коллоидного кремнезема в экспериментах использовали гидрозоль диоксида кремния (кремнезоль) с удельной поверхностью частиц $3,3 \cdot 10^5 \text{ м}^2/\text{кг}$, рН 9,1, стабилизированный ионами натрия. Для флокуляции применяли водные растворы ПЭИ со средней молекулярной массой 70000.

Флокуляцию кремнезоля, концентрация которого по диоксиду кремния поддерживалась постоянной и равной 4,0 масс. %, изучали в области рН 3—10, в относительно широком интервале концентраций ПЭИ и температуре 298 К. Агрегативная устойчивость системы ПЭИ—кремнезоль оценивалась по оптической плотности, которую измеряли с помощью фотоэлектрического колориметра ФЭК-56М [5]. С целью уменьшения влияния посторонних ионов (главным образом, ионов

натрия) на изучаемый процесс, рН кремнезоля до требуемого значения устанавливали его обработкой катионообменной смолой КУ-2-8 в Н⁺-форме. Поскольку форма макромолекул ПЭИ значительно зависит от степени их ионизации, являющейся функцией рН [6], растворы ПЭИ перед введением в кремнезоль выдерживались при соответствующих рН в течение суток.

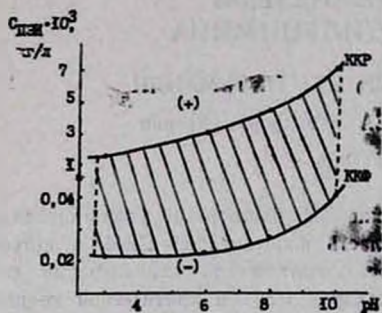


Рис. 1. Зависимости ККФ и ККР от рН системы.

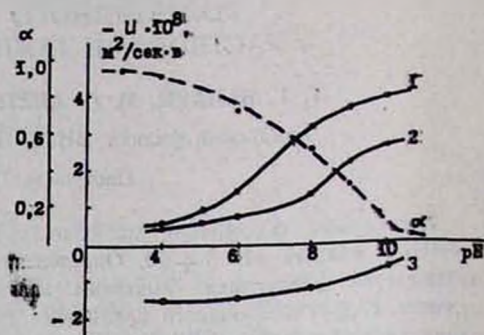


Рис. 2. Зависимость электрофоретической подвижности частиц кремнезоля (U) от рН среды, κ г/л: 1 — $C_{\text{ПЭИ}} = 0$; 2 — $C_{\text{ПЭИ}} = 0,015 \cdot 10^{-3}$; 3 — $C_{\text{ПЭИ}} = 8,1 \cdot 10^{-3}$. Пунктирная линия — степень ионизации ПЭИ (α) [6].

Исследование агрегативной устойчивости системы кремнезоль—ПЭИ позволило установить области концентраций ПЭИ и рН, в которых наблюдается флокуляция. Полученные экспериментальные результаты представлены на рис. 1, из которого видно, что при достижении определенной концентрации полиэлектролита происходит флокуляция системы. С ростом концентрации ПЭИ наблюдается рестаблизация сфлокулированного коллоидного раствора. Заштрихованная область на рис. 1 соответствует флокуляции кремнезоля: выше кривой ККР и ниже кривой ККФ кремнезоль устойчив и имеет соответственно положительный и отрицательный заряды, как показано на рис. 2.

В области рН 3—8 ККФ слабо зависит от рН среды: влияние рН заметно проявляется в области рН 8—10. Такого рода зависимость связана, очевидно, с ионизацией макромолекул ПЭИ при снижении рН, вследствие протонирования аминогрупп полимера. Ионизация приводит, в свою очередь, к разворачиванию макромолекул и увеличению их размеров в результате электростатического отталкивания одноименно заряженных участков полимерной цепи. В то же время при снижении рН понижается отрицательный поверхностный заряд частиц кремнезоля.

Характер изменения степени ионизации полиэлектролита в зависимости от рН среды иллюстрирует рис. 2, на котором представлена также электрофоретическая подвижность частиц кремнезоля, содержащего различные количества ПЭИ, как функция рН. Электрофоретическую подвижность (U) определяли по методике, изложенной в ра-

боте [7]. Как видно из рисунка, при рН более 9 ионизация макромолекул ПЭИ меньше 25%, но уже при рН 8 около 50% аминогрупп находятся в ионизированном состоянии, максимальная степень ионизации достигается при рН 3—4. В то же время электрофоретическая подвижность частиц кремнезоля в отсутствие ПЭИ (кр. 1) начинает заметно расти при рН более 6. Следовательно, в области рН 3—6 имеет место взаимодействие высокозаряженных макромолекул ПЭИ со слабозаряженной поверхностью частиц кремнезоля. Взаимодействие, приводящее к флокуляции коллоидного кремнезема, может осуществляться в указанной области рН за счет электростатических сил (не исключена возможность образования водородных связей между силанольными группами частиц кремнезоля и аминными группами ПЭИ). В области рН 6—10 взаимодействие в системе кремнезоль—ПЭИ происходит, главным образом, за счет электростатических сил. Слабая зависимость ККФ от рН является следствием того, что в области рН 3—8 макромолекулы ПЭИ в достаточной степени развернуты, и число частиц кремнезоля, связанных с ними, будет определяться, по всей видимости, стерическими факторами.

Кривые 2 и 3 на рис. 2 соответствуют электрофоретической подвижности частиц кремнезоля при концентрациях ПЭИ ниже ККФ и выше ККР, соответственно. Введение в коллоидную систему ПЭИ приводит к снижению электрофоретической подвижности частиц кремнезоля, вследствие адсорбции на их поверхности положительно заряженных макромолекул полиэлектролита. При достаточно высоких концентрациях ПЭИ (выше ККР) в системе наблюдается уже наличие положительного заряда, придаваемого поверхности частиц кремнезоля макромолекулами ПЭИ.

При повышении рН среды более 8 происходит постепенное свертывание макромолекул полиэлектролита в клубки [6, 8]. При этом уменьшается эффективная поверхность контакта, доступная для частиц кремнезоля. В этой же области рН наблюдается рост отрицательного поверхностного заряда частиц кремнезоля, что приводит к их взаимоотталкиванию при связывании макромолекулами ПЭИ. Этими факторами и определяется, очевидно, зависимость ККФ от рН в области значений рН среды 8—10.

Данные для ПЭИ (рис. 3) с молекулярной массой 10000, 40000 и 80000 заимствованы из работы [4]. Как видно из рисунка, в области рН 3—8 зависимость ККФ от молекулярной массы ПЭИ весьма слабая. Это свидетельствует о независимости характера и структуры флокул при изменении рН в указанной области, хотя и наблюдается слабое увеличение ККФ с ростом рН. В системе кремнезоль—ПЭИ (при рН 10, когда аминогруппы ПЭИ практически не ионизированы и полимерные цепи свернуты в клубки) более длинные макромолекулы оказываются более сильными флокулянтами кремнезоля, действующими в качестве «мостиков» между его частицами.

В противоположность ККФ, ККР зависит от молекулярной массы полимера во всей исследованной области рН. Это явление отмечено и при рестабиллизации кремнезоля низкомолекулярными ПЭИ [3].

Интерпретация полученных зависимостей ККФ и ККР от молекулярной массы ПЭИ и рН может быть проведена и на основе модельных представлений исследованной системы. Предположим, что взаимодействие между положительно заряженными макромолекулами ПЭИ (А) и отрицательно заряженными частицами кремнезоля (В) настолько сильно, что в разбавленной системе могут образоваться агрегаты переменного состава $A_m B_k$, где m и k —число молекул ПЭИ и частиц кремнезоля в агрегатах, соответственно. Допустим, что в области концентраций ПЭИ ниже ККФ образуются только агрегаты с $m = 1$ и $k = n_0$, а выше ККР—агрегаты с $m = n$ и $k = 1$. В области флокуляции могут присутствовать агрегаты с достаточно большими значениями m и k (n_0 и n —максимально возможное число частиц кремнезоля и макромолекул ПЭИ, которые могут связываться с одной молекулой ПЭИ или одной частицей кремнезоля, соответственно). Предположим, что в некотором объеме V имеется N_0 частиц кремнезоля с массой M_0 и N молекул ПЭИ с массой M . Рассмотрим 2 предельных случая: $N_0 \gg N$ и $N_0 \ll N$. В первом случае концентрации ПЭИ лежат ниже ККФ, во втором—выше ККР.

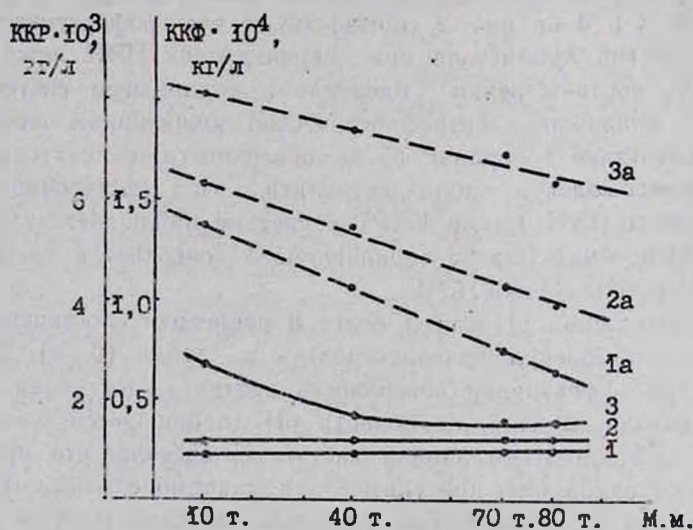


Рис. 3. Зависимости ККФ и ККР от молекулярной массы ПЭИ при различных рН: 1—3—6; 2—8; 3—10. Пунктирные линии—ККР: 1а—рН 6; 2а—рН 8; 3а—рН 10.

Допустим, что при увеличении количества молекул ПЭИ вплоть до значения $N = N_0/n_0$ в системе имеются частицы типа В и агрегаты типа $A_1 B n_0$, а при дальнейшем увеличении N макромолекулы ПЭИ начинают связывать между собой имеющиеся агрегаты с флокуляцией системы, т. е. ККФ определяется как концентрация ПЭИ, при которой число макромолекул полимера в системе $N = N_0/n_0$. Так как концентрация ПЭИ в системе $C = NM/V$, концентрация кремнезоля $C_0 = N_0 M_0/V$, то:

$$\text{ККФ} = C_0 M / M_0 n_0. \quad (1)$$

Уравнение (1) показывает, что ККФ должна быть пропорциональна C_0 , что было обнаружено в работе [4] в интервале концентраций кремнезоля по диоксиду кремния $4 \div 10\%$. Фактор n_0 по физическому смыслу представляет собой величину предельной адсорбции.

Для случая, когда $N_0 \ll N$, предположим, что в системе присутствуют агрегаты типа A_nB_1 и макромолекулы ПЭИ, а ККР определим как концентрацию ПЭИ, при которой $N_0 = N/n$. Отсюда для ККР получим:

$$\text{ККР} = C_0 M n / M_0. \quad (2)$$

Уравнения (1) и (2) получены без каких-либо предположений относительно формы макромолекул ПЭИ в растворе при различных рН. С учетом конфигурации макромолекул образование агрегатов типа A_1B может быть представлено согласно рис. 4. Вследствие растянутости макромолекул ПЭИ при рН менее 8 (рис. 4а) величина n_0 должна быть пропорциональна отношению L/D , где L —контурная длина макромолекулы, а D —диаметр частиц кремнезоля. Так как $L \sim M$, для ККФ получим следующее соотношение:

$$\text{ККФ} = \frac{C_0 M}{M_0 n_0} \sim \frac{C_0 M D}{M_0 L} \sim \frac{C_0 D}{M_0}. \quad (3)$$

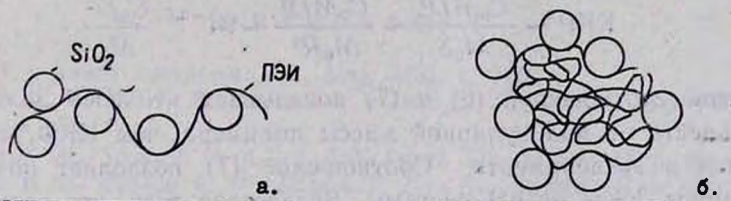


Рис. 4. Схематическое изображение агрегатов в системе кремнезоль—ПЭИ при высоких (а) и низких (б) степенях ионизации макромолекул полимера.

Следовательно, ККФ не должна зависеть от молекулярной массы ПЭИ при относительно низких рН, что и показывают полученные нами результаты (рис. 3).

При малых степенях ионизации полиэлектролита макромолекулы свернуты в клубки и взаимодействие в системе кремнезоль—ПЭИ происходит согласно рис. 4б. Предположим, что макромолекулы ПЭИ занимают при этом некоторый эффективный объем сферической формы радиусом R . Согласно современным представлениям о структуре макромолекул в растворе [9], зависимость R от молекулярной массы полимера выражается следующим соотношением:

$$R \sim M^{3/(d+2)}, \quad (4)$$

где d —размерность системы. Для трехмерной системы $d = 3$ и $R \sim M^{3/5}$. Принимая, что величина n_0 пропорциональна отношению площади поверхности макромолекулы $4\pi R^2$ к сечению частиц кремнезоля $\pi D^2/4$, т. е.

$$n_0 \sim R^2 / D^2 \quad (5)$$

и с учетом выражений (1), (4) и (5) получим следующее соотношение, связывающее ККФ с молекулярной массой полимера:

$$\text{ККФ} \sim \frac{C_0 M D^2}{M_0 R^2} \sim M^{-0.2} \frac{C_0 D^2}{M_0} \quad (6)$$

Полученное соотношение показывает, что ККФ должна уменьшаться с ростом молекулярной массы ПЭИ, что и наблюдается при рН более 8 (рис. 3). Поскольку, как показано в работе [3], в системе кремнезоль—ПЭИ имеет место сильная адсорбция макромолекул полимера, связанные с частицами кремнезоля макромолекулы ПЭИ при концентрации $C > \text{ККР}$ (с образованием агрегатов типа $A_n B_1$) можно рассматривать как квазидвумерную систему, т. е. практически все сегменты полимерной цепи расположены на поверхности частиц кремнезоля. Следовательно, к адсорбированным макромолекулам можно использовать соотношение (4) с $d = 2$, т. е. $R \sim M^{1/2}$; отсюда площадь, занимаемая одной макромолекулой на поверхности частиц кремнезоля $S \sim R^2 \sim M^{1/2}$. С учетом того, что максимальное число макромолекул ПЭИ, приходящееся на одну частицу кремнезоля, пропорционально отношению $\pi D^2/S$, где πD^2 —площадь поверхности частицы кремнезоля, окончательное соотношение, связывающее ККР с молекулярной массой ПЭИ, выразится следующим образом:

$$\text{ККР} \sim \frac{C_0 M D^2}{M_0 S} \sim \frac{C_0 M D^2}{M_0 R^2} \sim M^{-0.5} \frac{C_0 D^2}{M_0} \quad (7)$$

Сравнение соотношений (6) и (7) показывает, что ККР должна сильнее зависеть от молекулярной массы полимера, чем ККФ, что и наблюдается в эксперименте. Соотношение (7) позволяет объяснить и зависимость ККР от рН системы. Вследствие того, что электростатическое взаимодействие между одинаково заряженными участками полимерной цепи при снижении рН приводит к разворачиванию макромолекул ПЭИ, эффективная поверхность S будет расти, а ККР, в свою очередь, падать.

Таким образом, проведенные исследования позволили установить некоторые закономерности флокуляции и рестабиллизации кремнезоля растворами ПЭИ. Предложенные соотношения позволяют качественно описать зависимости ККФ и ККР от рН среды и молекулярной массы полимера.

ՍԻՆԿԿԱԶՈՒԻ ՖԼՈԿՈՒԼՅԱՑԻԱՑԻ ՕՐԻՆԱԶՎՈՒԹՅՈՒՆՆԵՐԸ ՊՈՒԼԻԹԻԼԵՆԻՄԻՆԻ ԱՌԿՏՈՒԹՅԱՄԲ

Հ. Գ. ԲԱՆՍԱՆ, Մ. Ս. ԱՎԵՏԻՍՅԱՆ Լ Ե. Պ. ԹՈՒՄԱՆՅԱՆ

Պատմնասիրված են սինկկազոուի ֆլոկուլյացիայի օրինաչափությունները թթվայնության և պոլիէթիլենիմինի կոնցենտրացիայի լայն միջակայքում: Որոշված են պոլիէթիլենիմինի կոնցենտրացիայի և թթվայնության այն տիրույթները, որտեղ տեղի է ունենում ֆլոկուլյացիա:

Պարզաբանված է սիլիկազոլի ֆլոկուլյացիայի կրիտիկական կոնցենտրացիայի և վերակայունացման կրիտիկական կոնցենտրացիայի կախումը միջավայրի թթվայնությունից, ինչպես նաև պոլիէլեկտրոլիտների մոլեկուլային կշռից: Ցույց է տրված նաև ֆլոկուլյացիայի կրիտիկական կոնցենտրացիայի, վերակայունացման կրիտիկական կոնցենտրացիայի և պոլիէթիլենիմինի մոլեկուլային կշռի միջև եղած կապը:

SOME REGULARITIES OF COLLOIDAL SILICA FLOCCULATION INDUCED BY POLYETHYLENIMINE SOLUTIONS

H. G. BALAYAN, M. S. AVETISSIAN und N. P. TOUMANIAN

Colloidal silica flocculation induced by polyethylenimine (PEI) solutions in 3—10 pH region has been studied. It has determined PEA concentration area in which flocculation is detected. The plots of critical concentration of flocculation (CCF) of colloidal silica in solutions of PEI, as well as of critical concentration of restabilition of (CCR) against pH and molecular weight of polyelectrolyte have been determined. The relationship linking CFC and CCR with molecular weight of PEI have been suggested.

Л И Т Е Р А Т У Р А

1. Айлер Р. — Химия кремнезема, М., Мир, 1982, с. 712.
2. Dixon J. K., Le Mer V. K., Cassian L., Messinger S. — J. Coll. Interf. Sci., 1967, v. 23, p. 465.
3. Lindquist G. M., Stratton R. A. — J. Coll. Interf. Sci., 1976, v. 55, p. 45.
4. Назаров В. В., Фролов Ю. Г., Балаян Г. Г. — Деп. ВИНТИ, № 5070-80. «Депониров. рукописи», 1981, № 4, 6/о 373.
5. Балаян Г. Г. — Адсорбционная способность и агрегативная устойчивость гидрозоля кремнезема по отношению к ионам тяжелых металлов и полиэлектролитам. Автореферат дисс. на соиск. уч. ст. канд. хим. наук. М., МХТИ, 1981, с. 19.
6. Гембицкий П. А., Жук Д. С., Каргин В. А. — Полиэтиленимин. М., Наука, 1971, с. 203.
7. Кройт Г. Р. — Наука о коллоидах. М., ИЛ, 1955, с. 538.
8. Бектуров Е. А., Бакауова З. Х. — Синтетические водорастворимые полимеры в растворах. Алма-Ата, Наука, КазССР, 1981, с. 248.
9. Де Жен П. — Идеи скейлинга в физике полимеров. М., Мир, 1982, с. 368.

ПРИМЕНЕНИЕ ЦЕОЛИТОВ ДЛЯ РАЗДЕЛЕНИЯ РЕДКИХ ЭЛЕМЕНТОВ МЕТОДОМ ТОНКОСЛОЙНОЙ ХРОМАТОГРАФИИ

Д. С. ГАЙБАКЯН, Т. Г. АНДРОНИКАШВИЛИ и А. Г. ХАЧАТРЯН

Ереванский государственный университет

Поступило 27 IX 1988

Описано использование ряда цеолитов Грузинской ССР в качестве сорбентов-носителей для тонкослойной хроматографии. Показано, что они могут быть успешно применены для разделения трех- и четырехкомпонентных смесей рения, молибдена, ванадия и вольфрама. Подвижность ионов существенно зависит от соотношения $\text{SiO}_2/\text{Al}_2\text{O}_3$ в исследованных цеолитах, состояния ионов и состава подвижной фазы.

Сделано предположение, что механизмы разделения ионов носят, в основном, адсорбционно-осадочный и, отчасти, ионообменный характер.

Табл. 5, библиограф. ссылок 7.

В настоящее время цеолиты нашли широкое применение в колонной хроматографии как сорбенты, ионообменники [1—3] и как носители в газовой и газожидкостной хроматографии [1, 4]. Однако их применение в качестве неподвижных фаз в тонкослойной хроматографии (ТСХ) крайне ограничено и описано лишь в последние годы. Цеолитовые слои были использованы для разделения органических красителей [5], а также некоторых неорганических соединений [6, 7].

Для нахождения новых возможностей разделения микроколичеств Re (VII), Mo (VI), W (VI) и V (V) нами были использованы закрепленные тонкие слои различных цеолитов с применением в качестве подвижных фаз (ПФ) некоторых водно-органических смесей растворителей. Некоторые характеристики использованных в работе цеолитов приведены в табл. 1.

Экспериментальная часть

Для приготовления закрепленных слоев в качестве связующего использовали гипс или крахмал. Суспензию получали добавлением воды к смеси 1 г цеолита и 75 мг гипса или крахмала. Для получения тонких слоев суспензию наносили на стеклянные пластинки размерами 12×20 см, толщина слоя 0,25—0,50 мм. При указанном соотношении цеолита и связующего получают более гладкие слои, ПФ поднимается по ним с достаточной скоростью и равномерно, пятна ионов получают компактными. При меньших количествах связующего слои при высушивании растрескиваются, ПФ перемещается по пластинке медленнее. Замена гипса на крахмал не улучшает свойств пластинок.

Таблица I

Химический состав и некоторые другие характеристики использованных цеолитов

Образец цеолита	Химический состав	Тип цеолита	Сингония кристаллов	Параметры решетки, Å	Содержание воды, %	Размер, Å
№ 562	$\text{Na}_2\text{O} \cdot \text{Al}_2\text{O}_3 \cdot 1,98\text{SiO}_2$	A	кубическая	12,32	15,2	4
№ 122	$\text{Na}_2\text{O} \cdot \text{Al}_2\text{O}_3 \cdot 2,48\text{SiO}_2$	X	кубическая	24,60	17,0	9
№ 41	$\text{Na}_2\text{O} \cdot \text{Al}_2\text{O}_3 \cdot 10,0\text{SiO}_2$	M	ромбическая	18,13	13,3	4
№ 136	$0,50\text{CaO} \cdot 0,43\text{Na}_2\text{O} \cdot \text{Al}_2\text{O}_3 \cdot 4,10\text{SiO}_2$	E				
№ 478	$0,60\text{CaO} \cdot 0,33\text{Na}_2\text{O} \cdot \text{Al}_2\text{O}_3 \cdot 1,96\text{SiO}_2$	A	кубическая	12,27	15,4	5
№ 235	$0,55\text{CaO} \cdot 0,42\text{Na}_2\text{O} \cdot \text{Al}_2\text{O}_3 \cdot 2,45\text{SiO}_2$	X				8

Для обеспечения движения фронта ПФ проводили активацию слоев при 50—200° в течение 30—120 мин. Необходимая скорость движения ПФ обеспечивается при высушивании закрепленных слоев при 200° в течение 60 мин, при этом слои не растрескиваются. Следует отметить, что изменение количества связующего и условий активации приводит к изменению скорости движения ПФ и, в конечном итоге, оказывает влияние на воспроизводимость получаемых данных, однако не оказывает какого-либо существенного влияния на значения R_f исследуемых ионов.

Методика исследования

На стартовой линии закрепленных слоев цеолитов микрошприцем наносили 1,0—2,0 мкл стандартных растворов, содержащих 1—2 мкг исследуемых ионов. После перемещения ПФ на 10,0 см от стартовой линии пластинки извлекали из хроматографической камеры, высушивали при комнатной температуре и проявляли хроматограммы, опрыскивая насыщенным раствором хлорида олова (II) в концентрированной соляной кислоте, а затем 50% водным раствором роданида аммония, при этом зоны ионов на хроматограммах окрашиваются: рений—в оранжевый, молибден—в розовый, ванадий—в желтый и вольфрам—в желто-зеленый цвета.

Стандартные растворы изученных элементов готовили растворением соответствующих навесок перекристаллизованных аммониевых или натриевых солей квалификации «ч.д.а.», концентрация 1—2 мг/мл элемента.

Полученные результаты

Значения R_f в зависимости от состава водно-органических ПФ приведены в табл. 2—4.

При использовании в качестве сорбента-носителя цеолита CaE (обр. № 136) было замечено, что в чистом ацетоне из исследуемых ионов на пластинке перемещается только Re. При постепенном добавлении воды в ПФ от линии старта начинают перемещаться также

Mo и V, тогда как W остается на месте нанесения. Таким образом, водно-ацетоновые растворы пригодны для разделения на этом цеолите трехкомпонентных смесей $\text{ReO}_4^- > \text{VO}_3^- > \text{WO}_4^{2-}$ и $\text{MoO}_4^{2-} > \text{VO}_3^- > \text{WO}_4^{2-}$, т. к. зоны Re и Mo перекрываются. Знаком $>$ показано соотношение между значениями R_i ионов. Наиболее эффективное разделение наблюдается при использовании смеси ацетон-вода, 45:55 (табл. 2).

В отличие от цеолита CaE на цеолите CaX (обр. № 235) перемещение Mo и V начинается при соотношении ацетон:вода, 50:50. Наиболее эффективное разделение также наблюдается в смеси ацетон-вода, 45:55, при этом следует подчеркнуть, что на данном цеолите разделяются все четыре элемента, т. к. $R_i(\text{Re}) = 0,92$; $R_i(\text{Mo}) = 0,22-0,58$; $R_i(\text{V}) = 0,05$; $R_i(\text{W}) = 0$ (табл. 2).

На тонких слоях цеолита CaA (обр. № 478) перемещение Mo и V наблюдается также по достижении соотношения ацетон:вода, 50:50. На этом цеолите возможно разделение трехкомпонентных смесей $\text{ReO}_4^- > \text{VO}_3^- > \text{WO}_4^{2-}$ и $\text{MoO}_4^{2-} > \text{VO}_3^- > \text{WO}_4^{2-}$, т. к. и в этом случае зоны Re и Mo перекрываются (табл. 3).

Иная картина наблюдается на цеолитах NaM (обр. № 41) и NaX (обр. № 122). Если в чистом ацетоне перемещается лишь Re, то в смеси ацетон-вода, 75:25 наблюдается также перемещение Mo, а в смеси 50:50 начинает перемещаться также и W, в то время как V остается на месте нанесения. Хорошая картина разделения наблюдается на тонких слоях цеолита NaM в смеси ацетон-вода, 15:85, что позволяет провести разделение всех четырех элементов (табл. 3, 4).

На цеолите NaA (обр. № 562) в чистом ацетоне также перемещается только Re, в смеси ацетон-вода, 25:75 наблюдается перемещение всех четырех элементов. На этом носителе возможно разделение смесей $\text{ReO}_4^- > \text{MoO}_4^{2-} > \text{VO}_3^-$ и $\text{ReO}_4^- > \text{WO}_4^{2-} > \text{VO}_3^-$, т. к. в этом случае перекрываются зоны W и Mo (табл. 4).

Цеолит NaK (обр. № 162) может быть использован как сорбент-носитель для разделения исследуемых ионов только после удаления ионов железа (III), содержащихся в нем, т. к. для проявления ионов используются растворы роданида аммония, и при этом весь слой цеолита довольно интенсивно окрашивается, делая невозможным проявление хроматограмм.

На цеолите CaE (обр. № 136) изучено применение различных водно-органических ПФ (табл. 5). Оказалось, что смеси вода-этанол, вода-пропанол и вода-метанол, не имеют каких-либо преимуществ по сравнению со смесью вода-ацетон.

Обсуждение результатов

Как видно из табл. 1, использованные в работе цеолиты отличаются тем, что в них наблюдается частичная замена Na_2O на CaO и изменяется соотношение $\text{SiO}_2:\text{Al}_2\text{O}_3$. При этом наблюдаются раз-

Таблица 2

Зависимость R_f конов от состава подвижной фазы

Вид геолита	Состав подвижной фазы, мл		R_f конов							
	вода	ацетон	Re	Mo	V	W	Re	Mo	V	W
	отдельно				в смеси					
(образец № 36)	100	0	0,89	0,93	0,47—0,75	0	0,90	0,93	0,44—0,65	0
	90	10	0,89	0,98	0,36—0,70	0	0,92	0,94	0,38—0,68	0
	75	25	0,90	0,94	0,17	0	0,93	0,93	0,12	0
	55	45	0,92	0,23—0,54	0,07	0	0,93	0,22—0,58	0,05	0
	50	50	0,96	0	0	0	0,95	0	0	0
	25	75	0,93	,	0	0	0,94	0	0	0
	10	90	0,67—0,96	0	0	0	0,77—0,97	0	0	0
	0	100	0,67—0,96	0	0	0	0,70—0,99	0	0	0
(образец № 235)	100	0	0,82	0,91	0,30—0,60	0	0,86	0,96	0,21—0,48	0
	90	10	0,90	0,95	0,23	0	0,88	0,94	0,27	0
	75	25	0,87	0,65—1,00	0,18	0	0,86	0,97	0,15	0
	55	45	0,89	0,49—0,79	0,10	0	0,87	0,59—0,76	0,07	0
	50	50	0,87	0,34—0,70	0,10	0	0,89	0,50—0,83	0,07	0
	25	75	0,92	0	0	0	0,89	0	0	0
	10	90	0,60—1,00	0	0	0	0,65—1,00	0	0	0
	0	100	0,84—1,00	0	0	0	0,83—1,00	0	0	0

Таблица 3

Зависимость R_f ионов от состава подвижной фазы

Вид цеолита	Состав подвижной фазы, м.л		R_f ионов							
	вода	анетон	Re	Mo	V	W	Re	Mo	V	W
	отдельно				в смеси					
(образец № 47B)	100	0	0,94	0,92	0,35	0	0,92	0,92	0,33	0
	90	10	0,93	0,95	0,32	0	0,94	0,96	0,33	0
	85	15	0,91	0,90	0,22	0	0,93	0,92	0,19	0
	75	25	0,88	0,85—1,00	0,22	0	0,91	0,95	0,23	0
	50	50	0,90	0,50—0,90	0,12	0	0,88	0,54—0,85	0,17	0
	25	75	0,94	0,26	0	0	0,93	0,26	0	0
	10	90	0,96	0	0	0	0,92	0	0	0
	0	100	0,94	0	0	0	0,91	0	0	0
(образец № 41)	100	0	0,65—0,87	0,90—1,00	0	0,91	0,73—0,91	0,90—1,00	0	0,92
	90	10	0,73—0,94	0,69—0,90	0	0,98	0,70—0,98	0,69—0,90	0	0,98
	85	15	0,40—0,73	0,97	0	0,74—0,93	0,35—0,70	0,96	0	0,74—0,93
	75	25	0,65—0,83	0,95	0	0,50—0,98	0,63—0,80	0,96	0	0,50—0,98
	50	50	0,76—0,98	0,32—0,87	0	0,50—0,90	0,65—0,95	0,32—0,67	0	0,52—0,90
	25	75	0,80—0,97	0,20	0	0	0,73—0,99	0,2)	0	0
	10	90	0,70—0,96	0	0	0	0,68—0,93	0	0	0
	0	100	0,73—0,90	0	0	0	0,70—0,90	0	0	0

Таблица 4

Зависимость R_f ионов от состава подвижной фазы

Вид ионита	Состав подвижной фазы, мл		R_f ионов							
	вода	ацетон	Re	Mo	V	W	Re	Mo	V	W
	отдельно				в смеси					
(образец № 122)	100	0	0,93	0,98	0	0,89	0,91	0,99	0	0,89
	90	10	0,85	0,92	0	0,86	0,83	0,93	0	0,88
	75	25	0,89	0,93	0	0,93	0,88	0,92	0	0,93
	50	50	0,72—0,93	0,62—0,96	0	0,79	0,78—0,93	0,64—0,96	0	0,80
	25	75	0,82—0,96	0,34	0	0	0,79—0,95	0,34	0	0
	10	90	0,90	0	0	0	0,87	0	0	0
	0	100	0,91	0	0	0	0,92	0	0	0
(образец № 562)	100	0	0,93	0,98	0,57—0,95	0,98	0,93	0,95	0,57—0,96	0,98
	90	10	0,88	0,94	0,72—0,95	0,95	0,89	0,96	0,73—0,95	0,96
	75	25	0,90	0,94	0,49—0,70	0,93	0,88	0,93	0,48—0,70	0,94
	50	50	0,89	0,90	0,35	0,94	0,82—0,97	0,91	0,32	0,94
	25	75	0,92	0,49—0,80	0,07	0,68	0,91	0,62—0,83	0,05	0,68
	10	90	0,93	0	0	0	0,90	0	0	0
	0	100	0,94	0	0	0	0,94	0	0	0

личия в параметрах кристаллической решетки и размерах пор. По типу сингонии все цеолиты, за исключением NaM, кубические. Различны также значения удельной поверхности. Естественно, что указанные различия, в той или иной степени, оказывают влияние на сорбционные и ионообменные свойства цеолитов в зависимости от состава ПФ. Из табл. 2—4 видно, что на цеолитах CaE, CaX и CaA ионы W, как правило, остаются на месте нанесения, независимо от состава ПФ, в то время как на цеолитах, не содержащих кальция, во всех случаях наблюдается их перемещение от линии старта (табл. 3, 4). По всей вероятности, это обстоятельство связано с тем, что вследствие наименьшей растворимости образуется осадок вольфрамата кальция, который остается на месте нанесения. Наличие в составе ПФ ацетона способствует этому процессу за счет уменьшения растворимости вольфрамата кальция. На цеолитах, не содержащих кальция, W перемещается от линии старта, и подвижность его ионов определяется, в основном, составом ПФ, причем она уменьшается с повышением мольной доли ацетона в ПФ. Тот факт, что на цеолите NaM ионы W начинают перемещаться лишь по достижении отношения ацетон : вода, 50 : 50, следует объяснить тем, что в этом цеолите значительно больше содержание диоксида кремния, сорбционная способность которого по отношению к ионам W (VI) очень высока.

Таблица 5

Зависимость R_f ионов от типа подвижной фазы вода—органический растворитель, 3:1 на закрепленном слое цеолита CaE (обр. № 136) толщиной 0,5 мм

Подвижная фаза	R_f ионов							
	Re	Mo	V	W	Re	Mo	V	W
	отдельно				в смеси			
вода—метанол	0,90	0	0,38	0	0,91	0	0,36	0
вода—этанол	0,95	0	0,13	0	0,92	0	0,14	0
вода—пропанол	0,93	0,93	0,15	0	0,92	0,95	0,14—0,32	0
вода—ацетон	0,96	0,96	0,14—0,60	0	0,94	0,94	0,23—0,57	0

Для ионов Mo, так же как и для W, значения R_f , а следовательно, и подвижность в основном связаны с типом противоиона цеолита. На кальциевых цеолитах R_f существенно ниже, и в смесях с преобладанием ацетона Mo остается на старте из-за образования малорастворимого молибдата кальция. Большую подвижность Mo по сравнению с W следует отнести на счет большей растворимости молибдата кальция по сравнению с вольфраматом кальция.

Таким образом, механизм процесса разделения в этом случае носит преимущественно сорбционно-осадочный характер, хотя при этом не исключено также проявление ионного обмена. Все изученные цеолиты являются сильно гидрофильными сорбентами-ионообменни-

ками, проявляющими катионообменные свойства, поэтому перренатионы, имеющие малую гидрофильность, сорбируются плохо и характеризуются высокими значениями R_f . Ионы V остаются на месте нанесения только на цеолитах NaX и NaM. Подвижность этих ионов на других цеолитах возрастает в ряду CaA, CaX, NaA, CaE. Скорее всего, существенную роль в этом играет соотношение $\text{SiO}_2/\text{Al}_2\text{O}_3$ в цеолите и состояние ионов в ПФ. Не исключено, что высокая избирательность цеолита по отношению к V (V) может быть объяснена соответствием параметров элементарной ячейки размерам ванадат-ионов.

**ՑԵՈԼԻՏՆԵՐԻ ԿԻՐԱՌՈՒՄԸ ՆՐԱՇԵՆՐՏ ՔՐՈՄԱՏՈԳՐԱՖԻԱՅԻ ԵՂԱՆԱԿՈՎ
ՀԱԶՎԱԳՑՈՒՑ ՏԱՐՐԵՐԻ ԲԱԺԱՆՄԱՆ ՀԱՄԱՐ**

Գ. Ս. ԳԱՅՐԱԿՅԱՆ, Բ. Գ. ԱՆԴՐՈՆԻԿԱՇՎԻԼԻ և Հ. Գ. ԽԱՉԱՏՐԻԱՆ

Քննարկված է վրացական ԽՍՀ-ի մի շարք ցեոլիտների կիրառությունը որպես նրբաշերտ ջրամատոգրաֆիայի կրող-սորբենտներ: Ցույց է տրված, որ այդ ցեոլիտները կարելի է հաջողությամբ օգտագործել ռենիումի, մոլիբդենի, վանադիումի և վոլֆրամի եռա- և քառակոմպոնենտ խառնուրդների բաժանման համար: Իոնների շարժունակությունը կախված է ցեոլիտներում $\text{SiO}_2/\text{Al}_2\text{O}_3$ հարաբերությունից, տարրերի իոնական վիճակից և շարժուն ֆազի բաղադրությունից:

**THE USE ZEOLITES FOR SEPARATION OF RARE
ELEMENTS BY THIN-LAYER CHROMATOGRAPHY METHOD**

D. S. GAYBAKIAN, T. G. ANDRONIKASHVILI and H. G. KHACHATRIAN

The use of some zeolites from Georgian SSR deposit as sorbents for thin-layer chromatography has been reported. It has been shown that they can be used for separation of three-and tetracomponent blends, comprising rhenium, molybdenum, vanadium and tungsten ions. The ions mobility essentially depends on $\text{SiO}_2/\text{Al}_2\text{O}_3$ ratio in the zeolites as well as on ion condition and composition of mobile phase.

The consideration about adsorption-precipitation mechanism of ion separation has been put forward.

Л И Т Е Р А Т У Р А

1. Цицишвили Г. В., Андроникашвили Т. Г., Киров Г. Н., Филизова Л. Д. — Природные цеолиты. М., Химия, 1985, 224 с.
2. Брек Д. — Цеолитовые молекулярные сита. М., Мир, 1976, с. 778.
3. Баурова Ю. Ю., Толмачев А. М. — Вестник МГУ. Химия, 1981, т. 22, № 3, с. 266.
4. Киселев А. В., Яшин Я. И. — Газо-адсорбционная хроматография. М., Наука, 1967, с. 255.
5. Lowe B., Cook H. — Zeolites, 1982, v. 2, № 1, p. 29.
6. Bold A., Popovici E., Cruceanu M., Popa A. — Second Nat. Congr. Chem. Bucharest, 7—10 Sept. 1981. Abstr. Part II, s. 1, p. 412.
7. Гаспарян С. Е., Канканян А. Г. — Уч. зап. ЕГУ, естеств. науки, 1982, № 1, с. 119.



ОРГАНИЧЕСКАЯ ХИМИЯ

УДК 541.128.13:547.313:547.212.113

ЦИКЛОПРИСОЕДИНЕНИЕ ДИХЛОРКАРБЕНА К
ДИХЛОРБУТЕНАМ В УСЛОВИЯХ МЕЖФАЗНОГО КАТАЛИЗА

Л. А. ХАЧАТРЯН, Р. А. КАЗАРЯН, Г. С. ГРИГОРЯН,
Н. Г. МАРТИРОСЯН и А. Ц. МАЛХАСЯН

Научно-производственное объединение «Наирит». Ереван

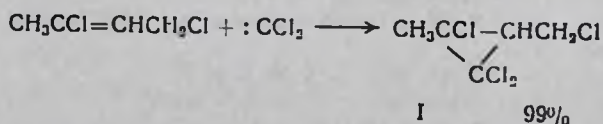
Поступило 25 III 1987

Изучено циклоприсоединение дихлоркарбена к 1,3-дихлор-2-(1,3-ДХБ-2), 1,4-дихлор-2-(1,4-ДХБ-2) и 3,4-дихлор-1-бутенам (3,4-ДХБ-1) в условиях межфазного катализа. Установлено, что в отличие от 1,3-ДХБ-2, когда реакция протекает селективно, в остальных случаях наблюдается также дегидрохлорирование дихлорбутенов с последующим циклоприсоединением дихлоркарбена к образовавшимся 1,3-диенам.

Табл. 1, библиографические ссылки 6.

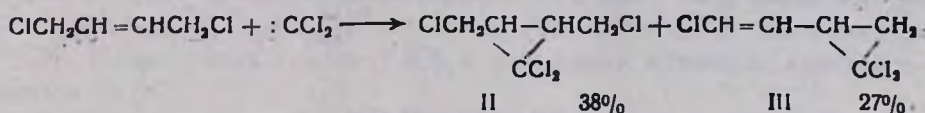
Производные циклопропана находят широкое применение в качестве полупродуктов в органическом синтезе и при получении биологически активных препаратов [1]. Из дихлорбутенов в качестве олефина в реакции циклоприсоединения был исследован лишь цис-1,4-ДХБ-2, причем показано, что в условиях межфазного катализа (МФК) (под действием 50% водного раствора NaOH в присутствии триэтилацетиламмонийбромидом) выход целевого продукта не превышает 45% [2].

Исследование циклоприсоединения дихлоркарбена к 1,3-ДХБ-2, 1,4-ДХБ-2 и 3,4-ДХБ-1 в условиях МФК нами проведено в системах жидкость—жидкость и твердое вещество—жидкость. В качестве модельного соединения выбран 1,3-ДХБ-2. Результаты взаимодействия последнего с дихлоркарбеном, генерированным из хлороформа при 25° в присутствии диметилбензил (C₁₀—C₁₈—алкил) аммонийхлорида — катамина АБ, полиэфира дибензо-18-краун-6—ДБ18К6, полиэтиленгликоля с молекулярным весом 3000—ПЭГ-3000 и кубовых остатков производства полиэтиленгликоля—КОПГ, приведены в таблице. Установлено, что циклоприсоединение дихлоркарбена к 1,3-ДХБ-2 происходит гладко, при этом практически отсутствуют побочные продукты реакции. В оптимальных условиях эксперимента (система твердое вещество—жидкость), 0,05% катамина АБ, 4 ч, 5-кратные мольные избытки едкого натра и хлороформа по дихлорбутену) выход целевого продукта—1-(хлорметил)-2,2,3-трихлор-3-метилциклопропана достигает 99%.



Интересно отметить, что, в отличие от литературных данных [3], в системе твердое вещество-жидкость каталитическая активность четвертичной аммониевой соли—катамина АБ больше, чем ДБ18К6 или ПЭГ-3000.

Исследование реакции циклоприсоединения 1,4-ДХБ-2 в условиях, оптимальных для 1,3-ДХБ-2, показало, что наряду с образованием целевого продукта—1,3-ди(хлорметил (2,2-дихлорциклопропана (38%) — наблюдается побочное дегидрохлорирование дихлорбутена в 1-хлор-1,3-бутадиен, к которому присоединяется дихлоркарбен с выходом 27% [4, 5].



Как и следовало ожидать, из-за легкости дегидрохлорирования 3,4-ДХБ-1 в 2-хлор-1,3-бутадиен в этом случае побочные продукты циклоприсоединения становятся доминирующими, а целевой продукт—1-(1,2-дихлорэтил)-2,2-дихлорциклопропан образуется с выходом лишь 3%.

Таблица

Циклоприсоединение дихлоркарбена к 1,3-ДХБ-2 в условиях МФК при 25°

Катализатор	Количество катализатора по 1,3-ДХБ-2, %	Время реакции, ч	Концентрация NaOH, вес. %	Соотношение 1,3-ДХБ-2 и NaOH, вес. %	Соотношение 1,3-ДХБ-2 и NaOH, моль	Выход продукта реакции, %
—	—	4	50	1:2	1:2	4
Катамин АБ	0,025	4	50	1:2	1:2	27
•	0,05	4	50	1:2	1:2	39
•	0,1	4	50	1:2	1:2	41
•	0,05	2	50	1:2	1:2	31
•	0,05	8	50	1:2	1:2	40
•	0,05	4	50	1:3	1:3	54
•	0,05	4	50	1:5	1:5	90
—	—	4	100	1:2	1:2	19
Катамин АБ	0,05	4	100	1:2	1:2	58
•	0,05	4	100	1:3	1:3	67
•	0,05	4	100	1:5	1:5	99
ДБ18К6	0,2	4	100	1:5	1:5	71
ДБ18К6	2	4	100	1:5	1:5	82
ПЭГ-3000	0,2	4	100	1:5	1:5	67
ПЭГ-3000	2	4	100	1:5	1:5	79
КОПГ	0,2	4	100	1:5	1:5	69
КОПГ	2	4	100	1:5	1:5	80

Согласно литературным данным, циклоприсоединение дихлоркарбена (генерированного действием метилата натрия на этиловый эфир

1,9 м (1H, CH циклопропил. кольца), 5,6—6,2 м (2H, ClCH = CH). Масс-спектр: M⁺ 109, M⁺ 61. Идентифицирован по ГЖХ с заведомым образцом, синтезирован по [4].

1-(1',2'-Дихлорэтил)-2,2-дихлорциклопропан (IV), т. кип. 72—73°/10 мм, n_D²⁰ 1,5000; d₄²⁰ 1,4382. Найдено, %: C 28,82; H 2,91; Cl 68,19. Вычислено, %: C 28,85; H 2,88; Cl 68,27. ПМР спектр, δ, м. д.: 2,0 д (2H, CH₂ циклопроп. кольцо), 2,1 м (1H, CH циклопроп. кольцо), 3,7 д (2H, ClCH₂), 4,1 м (1H, ClCH). Масс-спектр: M⁺ 206, 208, 210; M⁺ 49, M⁺ 97.

1,2,2-Трихлор-1-винилциклопропан (V), т. кип. 48—49°/10 мм (64—65°/25 мм [6]). ПМР спектр, δ, м. д.: 2,0 д (2H, CH₂ спиновая система, АВ, J_{АВ} = 10 Гц), 5,4—6,0 м (3H, CH=CH₂). Масс-спектр: M⁺ 27. Идентифицирован по ГЖХ с заведомым образцом, синтезированным по [6].

1-(2',2'-Дихлорциклопропил)-1,2,2-трихлорциклопропан (VI), т. кип. 94—95°/5 мм; n_D²⁰ 1,5215; d₄²⁰ 1,5594. Найдено, %: C 28,49; H 2,20; Cl 69,29. Вычислено, %: C 28,29; H 1,97; Cl 69,74. ПМР спектр, δ, м. д.: 2,5 д (2H, CH₂, 3 полож. циклопропил. кольца), 2,9 д (2H, CH₂, 3 полож. циклопропил. кольца, спин. система АВ, J = 10 Гц), 4,3 т (1H, CH). Масс-спектр: M⁺ 36.

ԴԻԲԼՈՐԿԱՐԲԵՆԻ ՑԻԿԼՈՄԻԱՑՈՒՄԸ ԴԻԲԼՈՐՈՒՑՆԵՆԻՆ ՄԻՋՑԱԶԱՑԻՆ ԿԱՑԱԼԻԶԻ ՊԱՅՄԱՆՆԵՐՈՒՄ

Լ. Ա. ԽԱՉԱՏՐԻԱՆ, Ռ. Հ. ՂԱԶԱՐԻԱՆ, Գ. Ս. ԳՐԻԳՈՐԻԱՆ,
Ն. Գ. ՄԱՐՏԻՐՈՍԻԱՆ և Ա. Ս. ՄԱԼԽԱՍԻԱՆ

Ուսումնասիրված է դիբլորկարբենի ցիկլոմիացումը 1,3-դիբլոր-2-; 1,4-դիբլոր-2- և 3,4-դիբլոր-1-բուտենների միջֆազային կատալիզի պայմաններում:

Հաստատված է, որ դիբլորկարբենը ընտրողականորեն է միանում միայն 1,3-դիբլոր-2-բուտենին:

THE CUCLOADDITION REACTION OF DICHLOROCARBENE TO DICHLOROBUTENES UNDER CONDITIONS OF INTERFACE CATALYSIS

L. A. KHACHATRIAN, R. H. GHAZARIAN, G. S. GRIGORIAN,
N. G. MARTIROSSIAN and A. Ts. MALKHASSIAN

The cycloaddition reaction of dichlorocarbene to 1,3-dichloro-2-butene (1,3-DCB), 1,4-dichloro-2-butene (1,4-DCB) and 3,4-dichloro-1-butene (3,4-DCB) has been studied under conditions of interface catalysis.

It has been shown that by contrast to 1,3-DCB-2 when the reaction proceeds selectively, in other cases dehydrochlorination of dichlorobutenes followed by cycloaddition of the formed 1,3-dienes to dichlorocarbene has been also observed.

ЛИТЕРАТУРА

1. Зефирова Н. С., Казимирчик П. В., Лукин К. А. — Циклоприсоединение дихлоркарбена к олефинам. М., Наука, 1985, с. 3.
2. Boswell R., F., Bass R. C. — J. Org. Chem., 1975, v. 40, p. 2419.
3. Вебер В., Гокель Г. — Межфазный катализ в органическом синтезе. М., Мир, 1980, с. 26.
4. Дьяконов И. А., Корнилова Т. А. — ЖОрХ, 1969, т. 5, № 1, с. 178.
5. Хачатрян Л. А., Мирзоян Г. В., Казарян Р. А., Малхасян А. Ц., Мартиросян Н. Г. — Арм. хим. ж., 1988, т. 41, № 5, с. 305.
6. Дьяконов И. А., Корнилова Т. А., Низовкина Т. В. — ЖОрХ, 1967, т. 3, № 2, с. 272.

Армянский химический журнал, т. 42, № 12, стр. 766—773 (1989 г.)

УДК 547.816+547.822.7

СИНТЕЗ И ПРОТИВОСУДОРОЖНАЯ АКТИВНОСТЬ 3-АМИНОПРОИЗВОДНЫХ ПИРАНО/3,4-с/ПИРИДИНОВ

Е. Г. ПАРОНИКЯН, С. Н. СИРАКАНЯН, А. С. НОРВЯН и Р. Г. ПАРОНИКЯН

Институт тонкой органической химии им. А. Л. Миджояна
АН Армянской ССР, Ереван

Поступило 14 II 1989

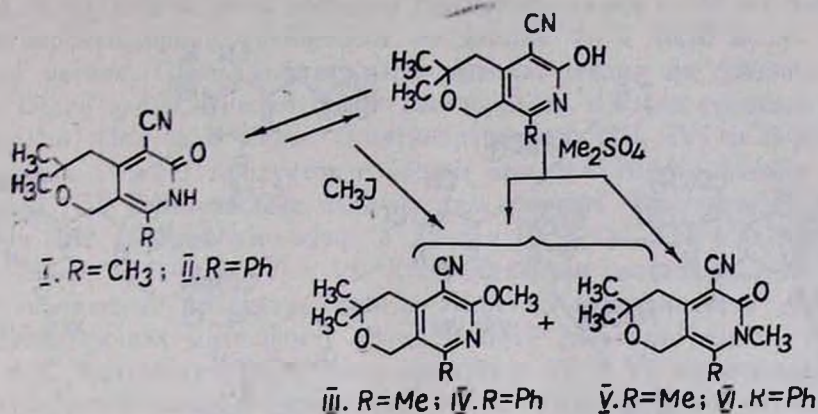
Изучена реакция метилирования 3-оксопирано/3,4-с/пиридинов. Взаимодействием их хлорпроизводных с различными аминами синтезированы соответствующие 3-аминопроизводные. Изучена противосудорожная активность синтезированных соединений. Табл. 2, библиограф. ссылок 4.

Для производных аминопиридинов характерно проявление широкого спектра биологического действия [1]. С точки зрения биологической активности большой интерес представляют также и конденсированные пиридины—производные изохинолинов, нафтиридинов и т. д.

Целью настоящей работы является синтез 3-аминопроизводных пирано/3,4-с/пиридинов и изучение реакции метилирования соответствующих 3-оксопроизводных.

Ранее нами было описано получение производных 3-оксопирано/3,4-с/пиридинов. Изучение их ИК спектров показало, что в кристаллическом виде они существуют в энергетически более выгодной лактамной таутомерной форме [2].

Вследствие того, что 3-оксопирано/3,4-с/пиридины I и II, подобно 2-оксопиридинам, в щелочной среде дают амбидентные анионы [3, 4], их метилирование может протекать как по циклическому атому азота, так и по экзоциклическому атому кислорода молекулы. В качестве метилирующих средств были использованы йодистый метил и диметилсульфат, являющиеся соответственно мягкими и жесткими метилирующими агентами.



Полученные нами данные свидетельствуют о том, что процесс метилирования, кроме характера метилирующего агента, зависит также от температуры, растворителя и электронного эффекта заместителя в I-ом положении пирано/3,4-с/пиридинового кольца. Так, ПМР исследования показали, что в случае метилирования диметилсульфатом при 20° исключительно получают N-метилированные продукты (V, VI). Проведение реакции при 100° приводит к получению смеси O- и N-метилированных продуктов в соотношении 1:4. В случае метилирования йодистым метилом кипячением в ацетоне при R = CH₃ получается смесь O- и N-метилированных продуктов в соотношении 1:3. При R = C₆H₅ количество O-метилированного продукта незначительно. В этаноле реакция метилирования метилйодидом не протекает.

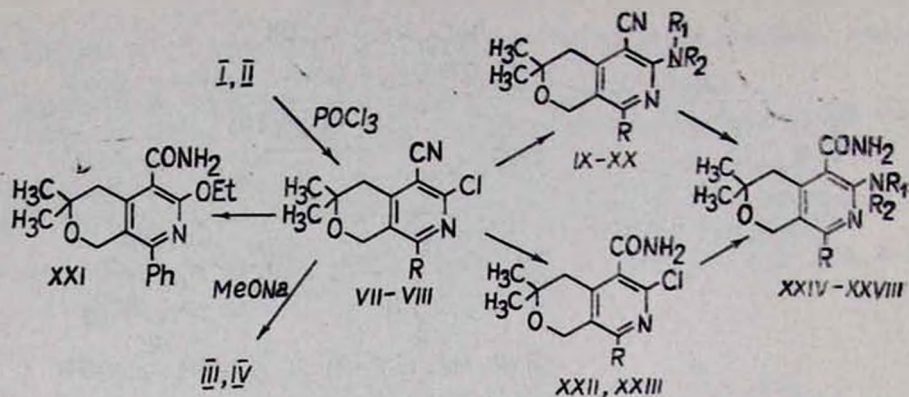
Для доказательства присутствия в смеси O-метилированных продуктов III, IV проведено взаимодействие соответствующих хлорпроизводных VII, VIII с метилатом натрия.

В ПМР спектрах протоны N-метильной группы выходят в области 3,2—3,5 м. д.: а O-метильной—4,0—4,1 м. д. В ИК спектрах соединений III, IV отсутствуют характерные полосы поглощения амидной карбонильной группы в области 1650—1660 см⁻¹.

Для получения 3-аминопроизводных пирано/3,4-с/пиридинов соответствующие хлорпроизводные VII, VIII введены во взаимодействие с аммиаком и аминами. Реакции с аммиаком проводились в стальной бомбе при нагревании 180°, с аминами—кипячением в большом их избытке.

Превращение в молекулах пирано/3,4-с/пиридинов нитрильной функции в амидную достигнуто несколькими путями. Проведение реакции в этаноле в присутствии спиртового раствора гидроксида калия приводит к одновременному замещению атома хлора (XXI). Проведением же реакции с раствором гидроксида калия в диоксане или в условиях реакции Радзишевского (с перекисью водорода) удалось получить хлорамиды XXII, XXIII.

Двумя путями синтезированы аминокамиды пирано/3,4-с/пиридинового ряда (XXIV—XXVIII): взаимодействием хлорамида XXII с аминами или гидролизом аминокнитрилов IX—XI.



- VII. R=CH₃; VIII. R=C₆H₅; IX. R=CH₃, R₁=R₂=H; X. R=C₆H₅, R₁=R₂=H;
 XI. R=CH₃, R₁=H, R₂=CH₂C₆H₅; XII. R=C₆H₅, R₁=H, R₂=CH₂C₆H₅;
 XIII. R=CH₃, R₁=H, R₂=(CH₂)₂NH₂; XIV. R=C₆H₅, R₁=H, R₂=(CH₂)₂OH;
 XV. R=CH₃, R₁R₂=(CH₂)₂; XVI. R=C₆H₅, R₁R₂=(CH₂)₂; XVII. R=CH₃,
 R₁R₂=(CH₂)₂O(CH₂)₂; XVIII. R=C₆H₅, R₁R₂=(CH₂)₂O(CH₂)₂; XIX. R=C₆H₅,
 R₁=R₂=CH₂C₆H₅; XX. R=CH₃, R₁=R₂=C₆H₅; XXII. R=CH₃; XXIII. R=C₆H₅;
 XXIV. R=CH₃, R₁=R₂=H; XXV. R=C₆H₅, R₁=R₂=H; XXVI. R=CH₃,
 R₁=H, R₂=CH₂C₆H₅; XXVII. R=CH₃, R₁R₂=(CH₂)₂O(CH₂)₂;
 XXVIII. R=CH₃, R₁R₂=(CH₂)₂.

В ПМР спектрах соединений XXII, XXIII сигналы протонов аминогруппы проявляются в виде дублетов в области 7,9—8,2 м. д. Образование амидов приводит к появлению в ИК спектрах XXII—XXVIII характерных для аминогрупп поглощений в области 3100—3500 см⁻¹.

Изучена противосудорожная активность синтезированных соединений. Установлено, что они эффективны только в отношении коразоловых судорог, предупреждая клонические судороги у 20—80% животных. Наиболее выражена активность у соединения IX, 50% эффективная доза его составляет 120 (92,3 ± 156) мг/кг при P = 0,05.

Экспериментальная часть

ИК спектры сняты на приборе UR-20 в вазелиновом масле, спектры ПМР—на приборе «Varian T-60» в CDCl₃ и DMCO-D₆. ТСХ проведена на пластинках «Silufol UV-254» в системах: хлороформ—эфир, 3:2 (III, V, XVII); метанол—эфир, 1:2 (IV, VI, VII); этанол—вода—уксусная кислота 1:3:1 (IX, XXIV, XXV); бутанол—уксусная кислота—вода, 4:2:5 (XIII, XIX, XXVI—XXVIII); петролейный эфир—этилацетат, 2:1 (XII, XVI, XVIII, XX); этилацетат—хлороформ, 1:2 (X, XV); хлороформ—этилацетат—этанол, 1:1:2 (VIII, XIV); этанол—петролейный эфир, 1:3 (XI).

Метилирование 3-оксопирано[3,4-с]пиридинов I, II йодистым метилом. К смеси 0,05 моля соответствующего 3-оксопирано[3,4-с]пиридина

I, II, 5 мл 10% водного раствора гидроокиси калия и 160 мл ацетона, при перемешивании прибавляют по каплям 2,4 г (0,16 моля) йодистого метила. Смесь кипятят при перемешивании на водяной бане 2 ч. После охлаждения отгоняют растворитель, остаток кристаллизуют этанолом. Получают смесь O-метилированных (III, IV) и N-метилированных (V, VI) продуктов с общим выходом 70,0%. Анализ с помощью ТСХ подтверждает наличие двух веществ. Величины R_f равны 0,40 и 0,82 (хлороформ—эфир, 3:2) для III и IV; 0,58 и 0,76 (метанол—эфир, 1:2) для IV и VI. Количественное соотношение O- и N-метилированных продуктов, определенное по интенсивности сигналов соответствующих метильных групп в ПМР спектрах равно 1:3 для III и V. Количество IV в смеси продуктов IV и VI незначительно.

1-Замещенные-5,6-дигидро-3-оксо-2,6,6-триметил-4-циан-8Н-пирано/3,4-с/пиридины (V, VI). К раствору 0,01 моля соединений I, II в 50 мл 20% водного раствора гидроокиси калия при перемешивании прибавляют по каплям 10 мл диметилсульфата. Перемешивание продолжают еще 2 ч, выпавшие кристаллы отфильтровывают, промывают водой. Перекристаллизовывают из этанола (табл. 1, 2).

Аналогично из 0,01 моля I или II, 50 мл 20% водного раствора гидроокиси калия и 10 мл диметилсульфата при нагревании реакционной смеси до 100° в течение 4 ч получается смесь продуктов III, V или IV, VI с соотношением O- и N-метилированных изомеров—1:4.

1-Замещенные-6,6-диметил-5,6-дигидро-3-хлор-4-циан-8Н-пирано/3,4-с/пиридины (VII, VIII). Смесь 0,1 моля соединений I, II и 150 мл хлорокиси фосфора кипятят с обратным холодильником 3 ч. Отгоняют избыток хлорокиси фосфора досуха, к остатку при охлаждении ледяной водой и перемешивании прибавляют небольшими порциями 200 мл 10% гидроокиси калия. Образовавшиеся кристаллы отфильтровывают, промывают водой. Перекристаллизовывают из метанола (табл. 1, 2).

1-Замещенные-6,6-диметил-5,6-дигидро-3-метокси-4-циан-8Н-пирано/3,4-с/пиридины (III, IV). К раствору метилата натрия, полученного из 0,004 моля натрия и 20 мл абс. метанола, прибавляют 0,0033 моля хлорнитрила VII, VIII. Смесь кипятят с обратным холодильником 17 ч. Отгоняют метанол, прибавляют 10 мл воды, образовавшиеся кристаллы отфильтровывают, промывают водой. Перекристаллизовывают из этанола (табл. 1, 2).

1-Замещенные-3-амино-6,6-диметил-5,6-дигидро-4-циан-8Н-пирано/3,4-с/пиридины (IX, X). Смесь 0,05 моля хлорнитрила VII, VIII и 200 мл 20% спиртового раствора аммиака в стальной бомбе нагревают при 180° 18 ч. После охлаждения отгоняют растворитель. К остатку прибавляют воду, выпавшие кристаллы отфильтровывают, промывают водой. Перекристаллизовывают из нитрометана (табл. 1, 2).

3-Аминозамещенные-6,6-диметил-5,6-дигидро-4-циан(карбамоил)-8Н-пирано/3,4-с/пиридины (XI—XX, XXVII, XXVIII). Смесь 0,01 моля хлорпроизводных VII, VIII, XXII и 0,1 моля амина кипятят с обратным холодильником 6—7 ч. После охлаждения отгоняют избыток амина, к остатку прибавляют 20 мл этанола, выпавшие кристаллы

отфильтровывают, промывают водой. Перекристаллизовывают из этанола (табл. 1, 2).

4-Карбамоил-6,6-диметил-5,6-дигидро-1-фенил-3-этокси-8Н-пирано/3,4-с/пиридин (XXI). Смесь 2 г (0,007 моля) хлорнитрида VIII, 2,2 г (0,04 моля) гидроокиси калия и 27 мл 80% этанола кипятят 25 ч. После охлаждения к смеси добавляют 50 мл воды, образовавшиеся кристаллы отфильтровывают, промывают водой. Выход 1,6 г (73,4%), т. пл. 179—180°. R_f 0,76 (пиридин—эфир, 1:3). Найдено, %: С 70,02; Н 6,61; N 8,64. $C_{19}H_{22}N_2O_3$. Вычислено, %: С 69,91; Н 6,79; N 8,57. ИК спектр, ν см⁻¹: 3360, 3180 (NH₂); 1640 (CO); 1570 (C=Cар). Спектр ПМР (ДМСО-*d*₆), δ , м. д.: 7,2—7,8 м (7Н, C₆H₅, NH₂); 4,5 т (2Н, 8—CH₂); 4,3 к (2Н, J = 7 Гц, OCH₂CH₃); 2,6 т (2Н, 5—CH₂); 1,2 т (3Н, J = 7 Гц, OCH₂CH₃); 1,1 с (6Н, 2CH₃).

Таблица 1

Соединения III—XX, XXIV—XXVIII

Соединение	Выход, %	Т. пл., °С	Найдено, %			Брутто-формула	Вычислено, %			R_f
			С	Н	N		С	Н	N	
III	90	174—175	67,12	6,78	12,31	C ₁₃ H ₁₀ N ₂ O ₂	67,24	6,94	12,06	0,40
IV	98	137—138	73,21	5,98	9,36	C ₁₈ H ₁₅ N ₂ O ₂	73,44	6,16	9,51	0,58
V	68	264—265	67,08	6,71	11,87	C ₁₃ H ₁₀ N ₂ O ₂	67,24	6,94	12,06	0,82
VI	82	226—227	73,18	5,94	9,44	C ₁₈ H ₁₅ N ₂ O ₂	73,44	6,16	9,51	0,76
VII	92	120—121	60,70	5,55	11,60	C ₁₂ H ₁₃ N ₂ OCl	60,69	5,59	11,83	0,54
VIII	93	156—157	68,10	5,12	9,50	C ₁₇ H ₁₃ N ₂ OCl	68,34	5,06	9,37	0,71
IX	90	220—221	66,14	6,78	19,17	C ₁₂ H ₁₅ N ₃ O	66,33	6,95	19,34	0,65
X	95	194—195	72,87	5,94	14,99	C ₁₇ H ₁₇ N ₃ O	73,09	6,13	15,04	0,60
XI	77	178—179	74,42	6,64	13,98	C ₁₈ H ₂₁ N ₃ O	74,24	6,88	13,67	0,71
XII	69	154—155	78,10	6,39	11,05	C ₂₁ H ₂₃ N ₃ O	78,02	6,27	11,36	0,64
XIII	76	127—128	64,37	7,54	21,27	C ₁₄ H ₂₀ N ₄ O	64,59	7,75	21,52	0,66
XIV	46	183—184	70,94	6,77	13,30	C ₁₀ H ₂₁ N ₃ O ₂	70,56	6,54	12,99	0,56
XV	82	106—107	71,21	7,97	14,40	C ₁₇ H ₂₃ N ₃ O	71,54	8,12	14,72	0,79
XVI	81	126—127	76,20	7,40	12,21	C ₂₂ H ₂₅ N ₃ O	76,05	7,25	12,08	0,70
XVII	77	125—126	67,01	7,22	14,57	C ₁₀ H ₂₁ N ₃ O ₂	66,87	7,36	14,62	0,58
XVIII	93	142—143	72,30	6,40	12,28	C ₂₁ H ₂₃ N ₃ O ₂	72,18	6,63	12,01	0,76
XIX	37	250—251	81,20	6,21	9,10	C ₂₁ H ₂₉ N ₃ O	81,01	6,36	9,13	0,61
XX	87	75—76	70,15	8,41	15,23	C ₁₆ H ₂₁ N ₃ O	70,29	8,48	15,36	0,67
XXIV	54	222—223	61,14	7,31	17,93	C ₁₂ H ₁₇ N ₄ O ₂	61,26	7,28	17,86	0,58
XXV	94	264—265	68,46	6,57	13,99	C ₁₇ H ₁₉ N ₃ O ₂	68,67	6,44	14,12	0,68
XXVI	92	188—189	62,84	7,48	13,71	C ₁₆ H ₂₃ N ₃ O ₃	62,92	7,59	13,75	0,65
XXVII	81	197—198	70,01	6,98	12,67	C ₁₈ H ₂₃ N ₃ O ₂	70,12	7,12	12,90	0,72
XXVIII	59	154—155	66,99	8,10	13,62	C ₁₇ H ₂₃ N ₃ O ₂	67,29	8,30	13,85	0,69

4-Карбамоил-6,6-диметил-5,6-дигидро-1-фенил-3-хлор-8Н-пирано/3,4-с/пиридин (XXIII). Смесь 1 г (0,0033 моля) хлорнитрида VIII, 1 г (0,018 моля) гидроокиси калия и 10 мл диоксиана кипятят в те-

ИК и ПМР спектры соединений III—XX, XXIV—XXVIII

Соединение	ИКС, ν , см^{-1}	ПМР спектр, δ , м. д.
I	2	3
III	2230 (CN), 1590 (C=C ар.)	4,6 т (2H, 8-CH ₂); 4,1 с (3H, O-CH ₃); 2,8 т (2H, 5-CH ₂); 2,4 с (3H, CH ₃); 1,4 с (6H, 2CH ₃)
IV	2240 (CN), 1590 (C=C ар.)	7,3 с (5H, C ₆ H ₅); 4,6 т (2H, 8-CH ₂); 4,0 с (3H, OCH ₃); 2,8 т (2H, 5-CH ₂); 1,3 с (6H, 2CH ₃)
V	2230 (CN), 1680 (CO), 1600 (C=C ар.)	4,6 т (2H, 8-CH ₂); 3,5 с (3H, N-CH ₃); 2,8 т (2H, 5-CH ₂), 2,2 с (3H, CH ₃); 1,2 с (6H, 2CH ₃).
VI	2220 (CN), 1650 (CO), 1600 (C=C ар.)	7,4 с (5H, C ₆ H ₅); 4,1 т (2H, 8-CH ₂); 3,2 с (3H, N-CH ₃); 2,8 т (2H, 5-CH ₂); 1,3 с (6H, 2CH ₃)
VII	2230 (CN), 1580 (C=C ар.)	4,6 т (2H, 8-CH ₂); 2,6 т (2H, 5-CH ₂); 2,3 с (3H, CH ₃); 1,2 с (6H, 2CH ₃)
VIII	2240 (CN), 1570 (C=C ар.)	7,5 с (5H, C ₆ H ₅); 4,6 т (2H, 8-CH ₂); 2,9 т (2H, 5-CH ₂); 1,3 с (6H, 2CH ₃)
IX	3160, 3320, 3380 (NH ₂), 2230 (CN), 1660 (NH деф.)	6,5 с (2H, NH ₂); 4,5 т (2H, 8-CH ₂); 2,6 т (2H, 5-CH ₂); 2,2 с (3H, CH ₃); 1,2 с (6H, 2CH ₃)
X	3140, 3270, 3460 (NH ₂), 2220 (CN), 1640 (NH деф.)	7,5 с (5H, C ₆ H ₅); 6,7 с (2H, NH ₂); 4,5 т (2H, 8-CH ₂); 2,7 т (2H, 5-CH ₂); 1,3 с (6H, 2CH ₃)
XI	3390 (NH), 2210 (CN) 1590 (C=C ар.)	7,3 с (5H, C ₆ H ₅); 4,5—4,7 м (4H, 2CH ₂); 2,6 т (2H, 5-CH ₂); 2,1 с (3H, CH ₃); 1,2 с (6H, 2CH ₃)
XII	3370 (NH), 2220 (CN), 1580 (C=C ар.)	7,3—7,5 м (10H; 2C ₆ H ₅); 5,5 т (1H, $J=7$ Гц, NH); 4,6—4,8 м (4H, 2CH ₂); 2,8 т (2H, CH ₂); 1,3 с (6H, 2CH ₃)
XIII	3120, 3200, 3360 (NH ₂ , NH) 2220 (CN), 1600 (C=C ар.)	6,7 т (1H, $J=6$ Гц, NH); 4,6 т (2H, 8-CH ₂); 3,5 м (2H, CH ₂); 2,6—2,8 м (4H, 2CH ₂); 2,2 с (3H, CH ₃); 1,2 с (6H, 2CH ₃)
XIV	3060—3380 (NH, OH), 2220 (CN), 1600 (C=C ар.)	7,5 с (5H, C ₆ H ₅); 6,8 м (1H, NH); 4,7 м (1H, OH); 4,6 т (2H, 8-CH ₂); 3,6 м (4H, 2CH ₂); 2,8 т (2H, 5-CH ₂); 1,3 с (6H, 2CH ₃)
XV	2220 (CN), 1600 (C=C ар.)	4,5 т (2H, 8-CH ₂); 3,3—3,6 м (4H, 2CH ₂); 2,5 т (2H, 5-CH ₂); 2,1 с (3H, CH ₃); 1,3—1,6 м (6H, 3CH ₂); 1,1 с (6H, 2CH ₃)
XVI	2220 (CN), 1600 (C=C ар.)	7,4 с (5H, C ₆ H ₅); 4,6 т (2H, 8-CH ₂); 3,5—3,8 м (4H, 2CH ₂); 2,8 т (2H, 5-CH ₂); 1,5—1,8 м (6H, 3CH ₂); 1,3 с (6H, 2CH ₃)

1	2	3
XVII	2220 (CN), 1570 (C=C ар.)	4,6 т (2H, 8-CH ₂); 3,5—3,9 м (8H, 4CH ₂); 2,8 т (2H, 5-CH ₂); 2,3 с (3H, CH ₃); 1,3 с (6H, 2CH ₃)
XVIII	2230 (CN), 1610 (C=C ар.)	7,6 с (5H, C ₆ H ₅); 4,7 т (2H, 8-CH ₂); 3,6—4,0 м (8H, 4CH ₂); 2,8 т (2H, 5-CH ₂); 1,3 с (6H, 2CH ₃)
XIX	2230 (CN), 1600 (C=C ар.)	—
XX	2210 (CN), 1580 (C=C ар.)	4,4 т (2H, 8-CH ₂), 3,5 к (4H, J=7 Гц, 2CH ₂ CH ₂); 2,5 т (2H, 5-CH ₂); 2,1 с (3H, CH ₃); 1,1 с (6H, 2CH ₃); 1,0 т (6H, J=7 Гц, 2CH ₂ CH ₂)
XXIV	3150, 3360, 3460 (NH ₂), 1660 (CO), 1620 (NH деф.) 1570 (C=C ар.)	7,7 с (2H, NH ₂); 5,6 с (2H, NH ₂); 4,6 т (2H, 8-CH ₂); 2,7 т (2H, 5-CH ₂); 2,2 с (3H, CH ₃); 1,3 с (6H, 2CH ₃)
XXV	3170, 3315, 3480 (NH ₂), 1680 (CO), 1640 (NH деф.), 1580 (C=C ар.)	7,6—7,9 д (2H, NH ₂); 7,5 с (5H, C ₆ H ₅); 5,7 с (2H, NH ₂); 4,6 т (2H, 8-CH ₂); 2,7 т (2H, 5-CH ₂); 1,3 с (6H, 2CH ₃)
XXVI	3180, 3360, 3420 (NH, NH ₂), 1680 (CO), 1580 (C=C ар.)	7,3 с (5H, C ₆ H ₅); 5,9—6,1 м (3H, NH, NH ₂); 4,6 д (2H, CH ₂ C ₆ H ₅); 4,5 т (2H, 8-CH ₂); 2,7 т (2H, 5-CH ₂); 2,2 с (3H, CH ₃); 1,3 с (6H, 2CH ₃)
XXVII	3250, 3305, 3410 (NH ₂), 1680 (CO), 1600 (C=C ар.)	6,6 д (2H, NH ₂); 4,7 т (2H, 8-CH ₂); 3,7—4,0 м (4H, 2CH ₃); 3,2—3,5 м (4H, 2CH ₃); 2,9 т (2H, 5-CH ₂); 2,3 с (3H, CH ₃); 1,3 с (6H, 2CH ₃)
XXVIII	3160, 3280, 3360 (NH ₂), 1680 (CO), 1610 (C=C ар.)	6,7 д (2H, NH ₂); 4,6 т (2H, 8-CH ₂); 3,1—3,4 м (4H, 2CH ₃); 2,8 т (2H, 5-CH ₂); 2,2 с (3H, CH ₃); 1,5—1,8 м (6H, 3CH ₃); 1,2 с (6H, 2CH ₃)

чение 42 ч. Отгоняют растворитель, к остатку прибавляют 10 мл воды, выпавшие кристаллы отфильтровывают, промывают водой. Выход 0,8 г (75,5%), т. пл. 224—225° (этанол). R_f 0,57 (бутанол—уксусная кислота—вода, 4:1:5). Найдено, %: С 64,58; Н 5,54; N 8,91; Cl 11,10. C₁₇H₁₇N₂O₂Cl. Вычислено, %: С 64,44; Н 5,40; N 8,83; Cl 11,19. ИК спектр, ν, см⁻¹: 3190, 3340 (NH₂); 1680 (CO); 1620 (NH₂ деф.); 1580 (C=C ар.). ПМР спектр (ДМСО-*d*₆), δ, м. д.: 7,9—8,2 д (2H, NH₂); 7,6 с (5H, C₆H₅); 4,7 т (2H, 8-CH₂); 2,9 т (2H, 5-CH₂); 1,2 с (6H, 2CH₃).

4-Карбамоил-5,6-дигидро-1,6,6-триметил-3-хлор-8H-пирано[3,4-с]пиридин (XXII). К смеси 4,1 г (0,017 моля) хлорнитрила VII, 0,9 г (0,023 моля) гидроокиси натрия, 3,6 мл воды и 27,3 мл метанола при перемешивании прибавляют по каплям 4 мл 30% перекиси водорода. Смесь перемешивают при 20° в течение 18 ч, затем нагревают на кипящей водяной бане 2 ч. Отгоняют растворитель, прибавляют 30 мл

воды, выпавшие кристаллы отфильтровывают, промывают водой. Выход 3,1 г (70,3%), т. пл. 226—227° (этанол). R_f 0,56 (этанол—хлороформ, 5:8). Найдено, %: С 56,72; Н 5,84; N 10,84; Cl 13,84. C₁₂H₁₅N₂O₂Cl. Вычислено, %: С 56,58; Н 5,93; N 10,99; Cl 13,91. ИК спектр, ν, см⁻¹: 3150, 3350 (NH₂); 1680 (CO); 1630 (NH₂ деф.); 1580 (C=Cар). ПМР спектр (ДМСО-Д₆), δ, м. д.: 7,6—8,0 д (2Н, NH₂); 4,6 т (2Н, 8—CH₂); 2,6 т (2Н, 5—CH₂); 2,2 с (3Н, CH₃); 1,2 с (6Н, 2CH₃).

1,3-Дизамещенные 4-карбамоил-6,6-диметил-5,6-дигидро-8Н-пирано/3,4-с/пиридины (XXIV—XXVI). Смесь 0,01 моля аминонитрила IX—XI, 80 мл 20% водного раствора гидроокиси калия и 20 мл этанола кипятят 24 ч. После охлаждения выпавшие кристаллы отфильтровывают. Перекристаллизовывают из этанола (табл. 1, 2).

ԳՐԱՆՈ (3,4-С) ԳԻՐԻԴԻՆՆԵՐԻ ՇԱՐՔԻ 3-ԱՄԻՆՈԱՆՈՒՆՏԱԼՆԵՐԻ ՍԻՆԹԵԶԸ ԵՎ ՀԱԿԱՑՆՈՒՄԱՑԻՆ ԱԿՏԻՎՈՒԹՅՈՒՆԸ

Ե. Գ. ՊԱՐՈՆԻԿՅԱՆ, Ս. Ն. ՍԻՐԱԿԱՆՅԱՆ, Ա. Ս. ՆՈՐԱՎՅԱՆ Ե Բ. Գ. ՊԱՐՈՆԻԿՅԱՆ

Մեթիլացման ռեակցիայով ուսումնասիրված է 3-օքսոպիրանո (3,4-) պիրիդիններում լակտամ-լակտիմային տաուտոմերիան: Նրանց քլորածանցյալների փոխազդեցությամբ տարբեր ամինների հետ սինթեզված են համապատասխան ամինածանցյալներ: Ուսումնասիրված է սինթեզված միացությունների հակացնցումային ակտիվությունը:

SYNTHESIS AND ANTICONVULSANT ACTIVITY OF THE 3-AMINODERIVATIVES OF PYRANO/3,4-c/PYRIDINES

Ye. G. PARONIKIAN, S. N. SIRAKANIAN, A. S. NORAVIAN
and R. G. PARONIKIAN

The reaction of methylation of 3-oxopyrano/3,4-c-pyridines has been studied. By the interaction of their chloro-derivatives with some amines the corresponding 3-amino-derivatives have been synthesized. The anticonvulsant activity of the obtained compounds has been investigated.

Л И Т Е Р А Т У Р А

1. *Negwer M.* — Organic-chemical drugs and their synonyms, Berlin, Akad. Verlag-1987, v. 1, p. 48, 261, 334, 775.
2. *Paronikian E. G., Strakanian S. N., Noravian A. S.* — Abstracts Fifth Federal Conference on Heterocycles in bioorganic chemistry, Czechoslovakia, 1988, p. 18.
3. *Павет Л.* — Основы современной химии гетеродвуклических соединений. М., Мир, 1971, с. 221.
4. *Dou H. J.-M., Hassanaly P., Metzger J.* — J Heterocycl. Chem., 1977. v. 1, № 2, p. 321.

ՀԵՂԻՆԱԿՆԵՐԻ ԵՎ ՀՈԳՎԱԾՆԵՐԻ ՑԱՆԿ

Աբաշյան Վ. Կ. — Թաղանթ առաջացնող լուծույթների, սերոզոլի ազդեցութիւնը ապակու մեխանիկական հատկանիշների վրա	3—166 461, 667
Աբրահամյան Ա. Ա., տե՛ս Հովնանէիսյան Գ. Ն.	
Աբրահամյան Ա. Ն., Գրիգորյան Գ. Լ., Նալբանդյան Ա. Բ. — Կայիւմի վերջ- տիգի ֆազային վիճակը և քիմիական ակտիվութիւնը	4—211 59
Աբաշյան Ս. Մ., տե՛ս Աղապյան Ս. Գ. Հովնանէիսյան Գ. Ն., Շամսյան Է. Հ.	481 125 426
Այնսանգրով Ե. Ն., տե՛ս Բասիշ Վ. Յա.	
Այնսանյան Ի. Լ., տե՛ս Գյալբուպոյան Լ. Վ.	41, 334, 407, 470, 636
Այիև Ռ. Փ., տե՛ս Մուտոյան Լ. Մ.	
Աղայան Վ. Զ., տե՛ս Ասատրյան Է. Մ.	244, 251
Աղապյան Յ. Ե., տե՛ս Եկույի Վ. Ա.	405
Աղավնյան Է. Ս., Եշեմիսեկայա Օ. Ս., Կուրդիեյան Կ. Ա. — Զնայեցած զլիկու- նների դեպիւ — և զիզրոպարզել եթերների սինթեզը	9—591
Աղբալյան Ս. Գ., Միքայելյան Գ. Ս., Քիմոյան Յ. Ս., Աբաշյան Ս. Մ. — Բենզալ- տիլիների սեպտիմիտի ջրալուծի հետ	1—59 660
Աղբալյան Ս. Գ., տե՛ս Բաբայան Ա. Հ.	
Աղիկյան Ա. Ա., Պիրշումով Լ. Շ., Նորայան Հ. Ս., Մարգարյան Է. Ա. — Արելալ- կիլոմիդների անալիզային, XXV. Տեղակալված արիլտետրահիդրոպիր- նիլէթիլամիդների սինթեզը	11—705 14
Անարյան Գ. Ս., տե՛ս Փիրումյան Գ. Պ.	
Անակչյան Է. Ք., տե՛ս Մառտիրոսյան Գ. Գ.	356
Անդրեիկիաշվիլի Թ. Գ., տե՛ս Գալբալյան Գ. Ս.	754
Անտիպին Մ. Յու., տե՛ս Կարապետյան Հ. Ա.	483
Ապրեսյան Լ. Պ., տե՛ս Խանամիրովա Ա. Ա.	558
Առախլյան Ա. Մ., տե՛ս Պոզոսյան Լ. Ե.	467, 603
Առախլյան Ա. Ս., տե՛ս Դվորյանշիկով Ա. Ի.	571
Առախլյան Ռ. Հ., տե՛ս Դուրգալյան Ա. Հ.	322
Առատամյան Ժ. Մ., Գրիգորյան Լ. Հ., Ասատրյան Կ. Վ. — Քրոմի էքստրակցիոն- ֆուլուրիմետրիկ որոշումը պիրոնին ժ-ով կեզտաջրերում	3—173 120, 130
Առատամյան Ս. Ա., տե՛ս Պետրոսյան Վ. Ա.	
Ասատրյան Է. Մ., Կիրակոսյան Վ. Հ., Աղայան Վ. Զ., Մարտիրոսյան Զ. Ա., Մալ- խասյան Ա. Յ., Մարտիրոսյան Գ. Թ. — Կատալիզատորների՝ պղնձի ազդի քիմիական փոխակերպումների ուսումնասիրութիւնը 1,4-դիքլոր-2-բու- տենինը 3,4-դիքլոր-1-բուտենի իզոմերացման ժամանակ	4—251
Ասատրյան Է. Մ., Կիրակոսյան Վ. Հ., Աղայան Վ. Զ., Սմիլնով Վ. Վ., Մալ- խասյան Ա. Յ., Մարտիրոսյան Գ. Թ. — Դիքլորբուտենների իզոմերիզա- ցիան և զինդորոքութեամբ Լյուիսի թթուների ներկայութեամբ	4—244
Ասատրյան Է. Մ., Կիրակոսյան Վ. Հ., Մալխասյան Ա. Յ., Մարտիրոսյան Գ. Թ. — 3,4-դիքլոր-1-բուտենի զինդորոքութեամբ քլորոպրենի ամինների ազ- դեցութեամբ	5—341
Ասատրյան Կ. Վ., տե՛ս Առատամյան Ժ. Մ.	173
Ասատրյան Ռ. Ս., Մալիլյան Ն. Շ. — Զուգորդված հետերոպոլիարիլների էլեկ- տրոակտիվութիւնը	6—402 736
Ասատրյան Ռ. Ս., տե՛ս Խառատյան Վ. Հ.	
Ասատրյան Տ. Ս., տե՛ս Հաբայրոյան Ն. Ս.	240
Ասայան Ա. Ս., Հարութունյան Ռ. Ս., Բեյլերյան Ն. Մ. — Ազդեցութեամբ թթվի զինդորոքիչ հարուցված մեթիլմետակրիլատի պոլիմերման օրինաչափու- թիւնները օքսամին-80-ի ջրային լուծույթում	9—596
Ավազյան Ա. Ս., տե՛ս Վարդանյան Ս. Օ.	176
Ավազյան Թ. Ա., տե՛ս Մառտիրոսյան Գ. Գ.	356
Ավազյան Ս. Ն., տե՛ս Պոզոսյան Լ. Ե.	467, 603
Ավազյան Ս. Ս., տե՛ս Պոզոսյան Լ. Ե.	467
Ավանեսյան Է. Ս., տե՛ս Հովնանէիսյան Գ. Ն.	461, 667

Գրիգորյան Լ. Ա., Կալդրիկյան Մ. Հ., Պարսիկյան Ռ. Վ. — Աբխազական-Քրիստոսականության XVII. Ուղի-ՎՆՆ, ՆՆ-երկանգակալված սուլթանի լիցենզիա-տրիկլիմիդների սինթեզը	4—236
Գրիգորյան Լ. Ա., Կալդրիկյան Մ. Հ., Սափանյան Ն. Ս., Արիստակեսյան Ս. Ա. — Աբխազական-Քրիստոսականության XVI. Բենզ-Յ, 1, 3-Թիպերազուսուլթան-ամիգների սինթեզը և հեղուկի կենսական ակտիվությունը	2—116
Գրիգորյան Լ. Խ., տե՛ս ֆրանսյան Գ. Գ.	696
Գրիգորյան Լ. Հ., տե՛ս Ասատույան Ժ. Մ.	231
Գրիգորյան Լ. Հ., տե՛ս Կրիգորյան Ռ. Հ.	173
Գրիգորյան Կ. Գ., տե՛ս Մուրադյան Ա. Բ.	82, 161, 220
Գրիգորյան Կ. Գ., տե՛ս Նաչարյան Ա. Կ.	491
Գրիգորյան Կ. Ռ., Մարգարյան Շ. Ա., Հարությունյան Ռ. Ս. — Մի քանի ամին-թթուների ջրային լուծույթների ֆիզիկա-քիմիական ուսումնասիրու-թյունը դիմեթիլսուլֆուրիդի ներկայությամբ	9—347
Գրիգորյան Ն. Լ., տե՛ս Կասյան Ռ. Հ.	509
Գրիգորյան Զ. Վ., տե՛ս Հովհաննիսյան Ն. Ռ.	700
Գրիգորյան Ռ. Ք., տե՛ս Իսաղյան Մ. Ա.	338
Գրիգորյան Ռ. Հ., Գրիգորյան Լ. Հ., Բաբայան Հ. Գ. — Շարինի կառուցվածք ունեցող բարձր օքսիդների սինթեզը ցածր ջերմաստիճանային պլազմայում: 1. $Zn_2Ti_1-xSn_xO_4$ բաղադրու-թյան միացությունների սինթեզը և հետա-զոտումը սինթետիկապես և միջուկային դամա-նեզոնանսի եզո-նակով	4—231
Գրիգորյան Ռ. Հ., տե՛ս ֆրանսյան Գ. Գ.	696
Գրիգորյան Ս. Ա., տե՛ս Պետրոսյան Վ. Ա.	54, 130
Գրիգորյան Օ. Վ., տե՛ս Մովսիսյան Մ. Ս.	77
Գրիգորյան Ս. Ա., տե՛ս Մուրադյան Ա. Բ.	82, 161, 220
Գևորգյան Ա. Ա., տե՛ս Դվարյան Նիկոլ Ա. Ի.	571
Գևորգյան Ա. Ա., տե՛ս Սարգսյան Մ. Ս.	397, 496
Գևորգյան Ա. Զ., տե՛ս Հովհաննիսյան Գ. Ն.	197
Գևորգյան Ա. Ց., տե՛ս Մովսիսյան Մ. Ս.	77
Գևորգյան Զ. Ա., Կարախանյան Ս. Ս., Սահարունյան Ս. Ա., Խեչումյան Ե. Մ. — Ալյումինիումի ֆոսֆիդի և նատրիումի հիդրօքսիդի փոխազդեցության հետազոտումը	5—286
Դարբուրյան Բ. Մ., տե՛ս Ղազանչյան Գ. Փ.	260
Դավթյան Ի. Ա., տե՛ս Մանբաշյան Ա. Հ.	332
Դավթյան Մ. Մ., տե՛ս Մատենիչյան Հ. Ա.	457
Դավթյան Վ. Ս., Մելիք-Օհանջանյան Լ. Գ., Մարգարյան Շ. Ա., Ներսիսյան Կ. Ա., Բեյլիբյան Ն. Մ. — Պոլիբրոմիդների պոլիպերօքսիդների ազդեցությունը նրա ջերմաօքսիդացման մեխանիզմի վրա	1—7
Դարբինյան Է. Գ., տե՛ս Խառատյան Վ. Հ.	736
Դովլարյան Վ. Վ., Գյուլբաղդադյան Լ. Լ., Համբարձումյան Է. Ն. — N-Ցիան-N-կարբոնիլ-Օքսիդիլամին-օրիմ-արիպերիտների ամինուլիզը և հիդրօքսիդիզը	3—102
Դովլարյան Վ. Վ., Գոմկյան Ց. Ա., Խաչատրյան Ն. Խ. — α -Մեթիլհիդրօքսիմ-օրիմ-արիպերիտների սինթեզ	3—184
Դովլարյան Վ. Վ., Գոմկյան Ց. Ա., Խաչատրյան Ն. Խ. — β -Ացիլհիդրօքսիմ-օրիմ-արիպերիտների սինթեզը և դիալիզիումը	7—461
Դովլարյան Վ. Վ., Էլիազյան Կ. Ա., Պիվազյան Վ. Ա., Հակոբյան Ա. Գ. — Ամինո-էթիլօքսիմ-արիպերիտների որոշ փոխարկումները	1—37
Դովլարյան Վ. Վ., տե՛ս Գյուլբաղդադյան Լ. Լ.	518
Դվարյան Նիկոլ Ա. Ի., Առաքելյան Ա. Ս., Գևորգյան Ա. Ա. — Հալոգենատարակ-րօքսիդների սինթեզներ	9—571
Զուրաբյան Ա. Հ., Առաքելյան Ռ. Հ., Սալյան Գ. Ս. — Պոլիբրոմիդների էպօքսիդի փոխազդեցու-թյունը Թիմիզանյուլի և կալիումի սուլֆիդի հետ	5—323
Նիկոզարյան Ն. Ս., տե՛ս Հարությունյան Վ. Ս.	410
Սալյան Գ. Ս., տե՛ս Դարբարյան Ա. Հ.	323

Հայրագեղեղան Ռ. Խ., տե՛ս Ղափլեղան է. Ե.

Հայրագեղեղան Ս. Մ., Փոքրիկյան Գ. Վ., Բաղայան Ա. Կ., Իսաբեկյան Ս. Ե., Իս-
րայելյան Վ. Ռ., Հակոբյան Լ. Ա. — *Կազմի ձևափոխումը պոլիվիներացե-*
տատի կարբոքսիլատային լատեքսներով 6—392

Հայրագեղեղան Օ. Խ., տե՛ս Բալայան Հ. Գ. 45

Հատարյան Գ. Վ., տե՛ս Խառատյան Վ. Հ. 736

Հարությունյան Բ. Ս., Հովհաննիսյան Կ. Բ., Հովսեփյան Գ. Շ., Շեպալին Կ. Ա.,
Հովհաննիսյան Է. Բ. — *Կարբոնիզացված ամորֆ կայքիումի հիդրոմեթա-*
սիլիկատի ինչպե՛ս սպեկտրոկոպիկ և ադսորբցիոն ուսումնասիրությունը 3—153

Հարությունյան Գ. Հ., Գրիգորյան Գ. Հ. — *Նեֆելինային կոնցենտրատի և այլու-*
մինիումի աղերի լուծույթների փոխազդեցության ուսումնասիրությունը,
I. *Պրոցեսի օպտիմալ պարամետրերի որոշումը* 10—624

Հարությունյան Գ. Հ., Գրիգորյան Գ. Հ. — *Նեֆելինային կոնցենտրատի և այլու-*
մինիումի աղերի լուծույթների փոխազդեցության ուսումնասիրությունը,
II. *Ռեակցիայի վերջնային ֆիզիկա-քիմիական ուսումնասիրությունը* 11—677

Հարությունյան Գ. Հ., Գրիգորյան Գ. Հ. — *Նեֆելինային կոնցենտրատի և այլու-*
մինիումի աղերի լուծույթների փոխազդեցության ուսումնասիրությունը,
III. *Փոխազդեցության պրոցեսի կինետիկան* 11—682

Հարությունյան Լ. Ի., Թումանյան Ն. Պ., Բալայան Գ. Գ. — *Բնութագրող մածու-*
ցեկությունը ինչպե՛ս կայծաքարի գոլերի մասնիկների խմբակցման շափ-
տարությունը Ն. Ս., Ղարաբյան Կ. Մ., Ասատրյան Տ. Օ., Թոսունյան Հ. Հ., Հա-
կոբյան Լ. Ա. — *Տեղադրված պոլիմերների խառը ամիսների սինթեզ* 4—240

Հարությունյան Ռ. Ս., տե՛ս Ասլանյան Ա. Ս. 596

Արզումանյան Մ. Հ. 331, 713

Գրիգորյան Կ. Ռ. 547

Հարությունյան Վ. Ս., Ղաչիկյան Տ. Վ., Աղիագարյան Ն. Ս., Ավետիսյան Ա. Ա. —
2-Ացետիլբուտանոլիդների թիրոսեմիկարբազոնների ուցլիկիդացիան 8—410

Հովագիմյան Ա. Ա., տե՛ս Իսաղան Մ. Ա. 338

Հովհաննիսյան Ա. Ա., տե՛ս Մանուկյան Գ. Ա. 369

Հովհաննիսյան Ա. Շ., տե՛ս Կոտոյան Ռ. Հ. 527

Հովհաննիսյան Ա. Օ., տե՛ս Վարսեմյան Ա. Ա. 487

Հովհաննիսյան Գ. Բ., Մնացականյան Վ. Հ., Գաչ-Բայոց Է. — *Dracocephalum mul-*
ticaulis բույսի ֆլավոնոիդներ I 11—717

Հովհաննիսյան Գ. Բ., Մնացականյան Վ. Հ., Գաչ-Բայոց Է., Ռադիչ Լ. — *Վերբաս-*
կոզի Teucrium Hyrcanicum L. բույսից 1—58

Հովհաննիսյան Գ. Բ., Մնացականյան Վ. Հ., Գաչ-Բայոց Է., Ռադիչ Լ. — *Teucrium*
Hyrcanicum L. բույսի ֆլավոնոիդային դիկոպիդները 10—646

Հովհաննիսյան Գ. Ն., Աբրահամյան Ա. Ա., Ավանեսյան Է. Ս., Մկրտչյան Ա. Տ.,
Պողոսյան Գ. Մ. — *1,3,5-Տրի- (β-օքսիէթիլ) հեքսահիդրո-սիմմ-տրիպտիկ*
հիման վրա ստացված պոլիուրեթաններ և ծածկույթներ 10—667

Հովհաննիսյան Գ. Ն., Ավանեսյան Է. Ս., Բինոյան Յ. Ս., Արաշյան Ս. Մ., Աբ-
րահամյան Ա. Ա., Պողոսյան Գ. Մ. — *Իզոցիանուրատային ժելլ պարունա-*
կող մոնոմերներ և պոլիմերներ, IV. *Տրիօքսիմեթիլիզոցիանուրատի,*
4,4'-դիֆենիլմեթանդիզոցիանուրատի և օլիգոբուտադիենդիօլի հիման վրա
համապոլիմերի տառաջման պրոցեսի ուսումնասիրությունը 7—461

Հովհաննիսյան Գ. Ն., Գևորգյան Ա. Ջ., Հակոբյան Զ. Ա., Պողոսյան Գ. Մ. — *Իզո-*
ցիանուրատի ժելլ պարունակող մոնոմերներ և պոլիմերներ, III. *Դի- և*
տրիօքսիմեթիլիզոցիանուրատի հիման վրա պոլի- և սոպոլիուրեթաններ
սինթեզը 3—107

Հովհաննիսյան Է. Ա., տե՛ս Լիպերցյան Լ. Պ. 279

Հովհաննիսյան Է. Բ., տե՛ս Հարությունյան Բ. Ս. 153

Հովհաննիսյան Է. Տ., տե՛ս Յրանկովսկի Վ. Ա. 24, 87, 368

Հովհաննիսյան Կ. Բ., տե՛ս Հարությունյան Բ. Ս. 153

Հովհաննիսյան Հ. Ռ., Օվչյան Վ. Ն. — *Նոսր սիլիկատ-հիմնային լուծույթում*
երկաթի, ջրածխի և ջրած պարունակող պողպատի կոոպոն-էլեկտրաքի-
միական վառքի ուսումնասիրությունը 6—363

Հովհաննիսյան Մ. Հ., տե՛ս Կոտոյան Ռ. Հ. 527

Հովհաննիսյան Ն. Ռ., Դիլիզորյան Ջ. Վ., Բաբայան Ա. Ք. — Հետազոտութիւններ ամիններէ և ամոնիումային միացութիւններէ բնագալառում: CCVII.	
1-Նաֆիլմեթիլ խումբ պարունակող պոտենցիալ ենամոնիումային աղերի վերախմբավորում-ճեղքում	11—700
Հովսեփյան Գ. Շ., տե՛ս Հարությունյան Բ. Ս.	153
Հովսեփյան Է. Բ., տե՛ս Մարտիրոսյան Գ. Գ.	356
Հովսեփյան Ս. Ն., տե՛ս Դյակչյան Ն. Օ.	289
Մանեյր Արդի Յատայս	629
Ղազարյան Ա. Մ., տե՛ս Նալբանդյան Ա. Կ.	491
Ղազարյան Գ. Փ., Դարբինյան Բ. Մ., Քիմոյան Ս. Ա., Հակոբյան Լ. Ա. — Կարման սննախիթիզատորներէ դերն անհամաստեղելի պոլիմերներէ բաղադրու կամպոզիցիաներում ընթացող միջֆազային ակտիւցիաներում	4—260
Ղազարյան Ա. Յ., տե՛ս Խաչատրյան Լ. Ա.	266
Ղազարյան Ժ. Վ., տե՛ս Վարդանյան Ռ. Ս.	270
Ղազարյան Լ. Հ., տե՛ս Մելիքեանյան Ռ. Գ.	326
Ղազարյան Ն. Վ., տե՛ս Մաղակյան Վ. Ն.	724
Ղազարյան Ռ. Կ., տե՛ս Մաղակյան Վ. Ն.	642, 724
Ղազարյան Ռ. Հ., տե՛ս Խաչատրյան Լ. Ա.	762
Ղազարյան Ս. Ա., տե՛ս Մատենյան Հ. Ա.	457
Ղանճամեայան Ա. Ա., տե՛ս Ավետիսյան Ա. Ա.	633, 708
Ղանդեկոսյան Ա. Ռ., տե՛ս Զավայան Վ. Գ.	19
Ղասաբյան Ս. Ռ., Կարախանյան Ս. Ս. — Նաբերևուծի նիւթատի բյուրեղացման պրոցեսի ուսումնասիրութիւնը կալցիումի նիւթատի խառնուրդի մաքրման նպատակով	11—688
Ղարիբյան Կ. Մ., տե՛ս Հարությունյան Ն. Ս.	240
Ղափլանյան Է. Ե., Հայրապետյան Ռ. Խ., Ոսկանյան Է. Ս. — Դիէներէի և նրանց ածանցյալներէ քիմիա: XXV. 3-բրում-1,3-բուտադիէնի ցածրջերմաստի- ւանային քլորացումը	6—385
Ղոչիկյան Տ. Վ., տե՛ս Հարությունյան Վ. Ս.	410
Ղուկասյան Ք. Տ., Մխիթարյան Ռ. Գ. — Դիմեթիլէթանոլամինի օքսիդացման կի- նետիկական օրինաչափութիւնները պերօքսիդատ-ամին համակարգում Ag ⁺ -իոններէ ներկայութեամբ	3—143
Ղուկասյան Գ. Ս., տե՛ս Փալադյան Ե. Ա.	139
Ճյմարիտյան Ջ. Հ., տե՛ս Մարգարյան Շ. Ա.	653
Մաղակյան Վ. Ն., Ղազարյան Ռ. Կ., Մանուկյան Շ. Մ., Կուրաիկյան Տ. Ս., Խա- չոյան Վ. Ի., Գրիգորյան Է. Ա., Կարապետյան Տ. Դ., Որդյան Մ. Բ. — Մեզո- տետարա(3-N-տեղակալած)պիրիդիլպօքսիդիլներէ որոշ մետաղակոմպ- լեքսներ և նրանց կենսաբանական ակտիւթիւնը	10—642
Մաղակյան Վ. Ն., Ղազարյան Ռ. Կ., Մանուկյան Շ. Մ., Կուրաիկյան Տ. Ս., Ղա- զարյան Ն. Վ., Ստեփանյան Ա. Ս., Բոռոյան Ռ. Դ., Որդյան Մ. Բ. — Մեզո- տետարա(3-N-(2'-օքսաէթիլ)պիրիդիլ)պօքսիդիլի նոր ջրայուծ մետաղա- կոմպլեքսները և նրանց ֆարմակոլոգիական ակտիւթիւնը	11—734
Մարկոսյան Մ. Վ., տե՛ս Պետրոսյան Վ. Ա.	595
Մալիտայան Ա. Յ., տե՛ս Ասատրյան Է. Մ.	244, 251, 341
Գրիգորյան Գ. Ս.	29
Խաչատրյան Լ. Ա.	266, 762
Մակարյան Ա. Վ., տե՛ս Նալբանդյան Ջ. Ք.	318
Մայիլյան Ն. Շ., տե՛ս Ասատրյան Ռ. Ս.	402
Խառատյան Վ. Հ.	736
Ուանթաշյան Ա. Հ., Զապրոսյան Ա. Վ., Մարտիրոսյան Վ. Հ. — Բնական դադի հետ քլորի խառնուրդի ներգործութեամբ ուստիլից բառքլոր տիտանի սին- թեզը	9—551
Մանրաշյան Ա. Հ., Մարտիրոսյան Վ. Հ., Զապրոսյան Ա. Վ. — Երկաթի անջուր եւքլորիդի առաջացումը երկաթ պարունակող խառամների վրա բնական դադի և քլորի խառնուրդի ներգործութեան պայմաններում	6—381

Մանրայան Ա. Հ., Վարդերեսյան Գ. Ց., Դավթյան Ի. Ա. — Անտառի փոխադրվածը բուստի մեթոդի օգտագործման զարգացող շրջանական ռեակցիայի ազդեցությունը	5—332
Մանուկյան Ա. Թ., տե՛ս Սարգսյան Մ. Ս.	397
Մանուկյան Գ. Ա., Բոյաջյան Վ. Գ., Հովհաննիսյան Ա. Ա. — Լատեքսային մասնիկների առաջացման կինետիկան Վինիլացետատի ջրային պոլիմերիզացիայի զեպում	6—389
Մանուկյան Գ. Գ., տե՛ս Վարուժանյան Ա. Ա.	692
Մանուկյան Հ. Գ., տե՛ս Մարտիրոսյան Գ. Գ.	356
Մանուկյան Շ. Մ., տե՛ս Մազախյան Վ. Ն.	642, 724
Մատենիչյան Հ. Ա., Սաֆարյան Ա. Ա., Դավթյան Մ. Մ., Ղազարյան Ս. Ա. — Կանոնավոր սարքածական կառուցվածք ունեցող պոլիացետիլենի ջրում զեպումից ստացվում	7—457
Մարգարյան Է. Ա., տե՛ս Ազնիյան Ա. Ա.	705
Ավետիսյան Ա. Ս.	514
Վարդանյան Ս. Օ.	176
Մարգարյան Շ. Ա., ծղմարիտյան Ջ. Հ., Բիլիբրյան Ն. Մ. — Դիալիզիսով ֆոսֆոր-ների ներկայությունը սկրիմերում պոլիմերում ջրում	10—653
Մարգարյան Շ. Ա., տե՛ս Գրիգորյան Կ. Ռ.	547
Դավթյան Վ. Ս.	7
Կարապետյան Հ. Ա.	483
Մարգարյան Ս. Մ., Թադևոսյան Վ. Մ., Պետրոսյան Վ. Ա. — Ալյումինիումի սուլֆատի կոմպլեքսը հեքսամեթիլենդիամինի հետ և նրա օգտագործումը բնական կաշվի զարգացման պրոցեսում	1—50
Մարկոսյան Ա. Ի., տե՛ս Կոտայան Ռ. Հ.	527
Մարտիրոսյան Ա. Ի., տե՛ս Փիրավյան Գ. Գ.	71, 696
Մարտիրոսյան Գ. Գ., Հովսեփյան Է. Բ., Անակյան Է. Ք., Մանուկյան Հ. Գ., Միքայելյան Ա. Հ., Ավագյան Թ. Ա., Զալումյան Ն. Հ. — Հայաստանի հանրապետության զինատնային ազատքիմիկո-կառուցվածքային բնութագրերի ուսումնասիրությունը	6—356
Մարտիրոսյան Գ. Թ., տե՛ս Ասատրյան Է. Մ.	251, 341
Գրիգորյան Գ. Ս.	29
Խաչատրյան Լ. Ա.	266
Նալբանդյան Ջ. Թ.	318
Պետրոսյան Վ. Ա.	120
Մարտիրոսյան Ջ. Ա., տե՛ս Ասատրյան Է. Մ.	251
Մարտիրոսյան Է. Վ., տե՛ս Մեսրոբյան Է. Գ.	264, 664
Մարտիրոսյան Ն. Գ., տե՛ս Խաչատրյան Լ. Ա.	762
Մարտիրոսյան Վ. Հ., տե՛ս Մանրայան Ա. Հ.	351, 551
Մացոյան Ռ. Ա., Գալստյան Լ. Ռ., Մերսեյան Վ. Վ., Սահակյան Լ. Ա., Զուխաջյան Գ. Ա., Դաբրիբյան Է. Ս. — Իմիդազոլ և պիրազոլ պարունակող նոր հեմոստորենտներ մեզոթիլի ընտրողական կլանման համար	8—532
Մացոյան Ս. Գ., տե՛ս Խառատյան Վ. Հ.	736
Մելիքյան Կ. Ս., տե՛ս Ավետիսյան Ա. Ա.	633, 657, 659, 705
Մելիքյան Ց. Ռ., Ռաֆայելյան Գ. Գ., Գանջալյան Ն. Վ., Միրայելյան Ա. Ռ., Թահմազյան Կ. Մ. — Թթվային կոոդիայի ազատ պարունակող նոր ինհիբիտորների սինթեզ	9—605
Մելիքսեբյան Ռ. Գ., Ղազարյան Լ. Հ., Նրիցյան Մ. Լ. — Խելատային կոմպլեքսների իզոցիտանուրաթթվի N-ալիզոքսիածանցյալների հիման վրա	5—328
Մելքոնով Մ. Ա., Գրիգորյան Ա. Շ., Սաֆրոնով Վ. Մ. — Նիկելի ֆորմատից ստացված Ni և Ni/SiO ₂ կատալիզատորների զեպերավածությունն ու տեսակարար կատալիտիկ ակտիվությունը	10—619
Մելիք-Սևանցյան Լ. Գ., տե՛ս Դավթյան Վ. Ս.	7
Մելիք-Սեանցյան Ռ. Գ., Գալոյան Հ. Ա., Խաչատրյան Վ. Է., Միրզոյան Վ. Ս. — Գերմիդիկների ամանցյալների 5-Ալիլ-6-հիդրոգենո-2,4-դիմեթիլպիրիմիդիների բրոմացման ռեակցիան	8—530

Մեսրոպյան Է. Գ., Մարտիրոսյան Է. Վ., Համբարձումյան Գ. Բ., Դալայան Կ. Հ., Ավետիսյան Ա. Ա. — Դրամահիշ նոր ածանցյալները	4—264
Մեսրոբյան Է. Գ., Մարտիրոսյան Է. Վ., Համբարձումյան Գ. Բ., Դալայան Կ. Ա., Ավետիսյան Ա. Ա. — Տ, Տ-Դիմեթիլհիդրատների նոր ածանցյալները	10—664
Մինասյան Մ. Խ., տե՛ս Պոզոսյան Լ. Ն.	608
Մինասյան Ա. Ա., տե՛ս Ավետիսյան Ա. Ս.	514
Միրզախանյան Ա. Կ., տե՛ս Պետրոսյան Վ. Ա.	120, 522, 535
Միրզախանյան Ա. Մ., տե՛ս Պետրոսյան Վ. Ա.	473
Միրզոյան Ռ. Գ., տե՛ս Նիկողոսյան Լ. Լ.	400
Միրզոյան Վ. Ս., տե՛ս Մելիք-Օհանջանյան Ռ. Գ.	530
Միրզոյան Ֆ. Վ., Սարգսյան Ն. Պ. — Ռոդամին ՕՃ-ի փոխազդեցությունը ֆոսֆորի (V) և արևնի (V) մոլիբդենական հետքառուլիթթթուների հետ	2—82
Միխայելյան Ա. Հ., տե՛ս Մարտիրոսյան Գ. Գ.	356
Միխայելյան Ա. Ռ., տե՛ս Մելիքյան Տ. Ռ.	605
Միխայելյան Գ. Ս., տե՛ս Աղբալյան Ս. Գ.	59
Միրախյան Զ. Ա., Արձրուհի Վ. Ժ., Խաչատրյան Հ. Գ. — Թալիում (III)-ի բրոմիդային ազդեցությունը և սաֆրանին Տ-ի փոխազդեցության ուսումնասիրությունը	9—568
Միխայելյան Վ. Հ., տե՛ս Մովսիսյան Մ. Ս.	226
Մխիթարյան Ա. Հ., տե՛ս Փերոսյան Գ. Պ.	14, 146
Մխիթարյան Ռ. Պ., տե՛ս Ղուկասյան Թ. Տ.	143
Մկրյան Գ. Կ., տե՛ս Պետրոսյան Վ. Ա.	120, 473
Մկրտչյան Ա. Տ., տե՛ս Հովհաննիսյան Գ. Ն.	667
Մկրտումյան Ա. Ա., տե՛ս Սարգսյան Մ. Ս.	496
Մեացականյան Վ. Հ., տե՛ս Հովհաննիսյան Գ. Ռ.	58, 646, 717
Փամսյան Ն. Ա.	133
Մովսիսյան Մ. Ա., Գևորգյան Ա. Յ., Գրիգորյան Օ. Վ. — Կվադրացիների և բարձր սիլիկատոլիտի պարունակող Ֆոկինի տրեպելային հանքերի ավտոկլավային լուծման պրոցեսների ուսումնասիրումը: I. Տրեպելի լուծելիության պայմանների ուսումնասիրումը	2—77
Մովսիսյան Մ. Ա., Միրախյան Վ. Հ. — Ելեկտրոլիզի միջոցով սինթեզի մեթոդի կիրառման ստացումը և նրա հատկությունների ուսումնասիրումը	4—226
Մուշեղյան Ա. Վ., տե՛ս Փամսյան Օ. Ա.	215
Մուսեյր Աբղիձատախ, Հովսեփյան Ե. Ն. — Ուրանի միկրոգրամային քանակների որոշումը ակրիֆլավինով էքստրակցիոն-ֆոտոմետրիկական եղանակով	10—629
Մուսայելյան Ն. Ռ., տե՛ս Նալբանդյան Զ. Թ.	313
Մուսոյան Լ. Մ. Ֆ., Ալիև Ռ. Գ., Ցան Ա. Ա., Նալբանդյան Ա. Բ. — Մեթանի իզոտոպային փոխանակումը P1/S1O2 կատալիզատորի մակերեսային դեյտերոգրաֆի կամերի հետ	1—3
Մուրադյան Ա. Բ., Գրիգորյան Օ. Վ., Գրիգորյան Կ. Գ., Գրիգորյան Գ. Հ. — Կլեոպտիլուիտի և կալցիումի հիդրոքսիդի փոխազդեցության ուսումնասիրությունը հիդրոթերմալ պայմաններում: I. Կալցիումի հիդրոսիլիկատների սինթեզի օպտիմալ պայմանների հաստատումը	2—82
Մուրադյան Ա. Բ., Գրիգորյան Օ. Վ., Գրիգորյան Կ. Գ., Գրիգորյան Գ. Հ. — Կլեոպտիլուիտի և կալցիումի հիդրոքսիդի փոխազդեցության ուսումնասիրությունը հիդրոթերմալ պայմաններում: II. Ստացված վերջնական օքսիդների ուսումնասիրությունը ֆիզիկա-քիմիական անալիզի մեթոդներով	3—161
Մուրադյան Ա. Բ., Գրիգորյան Օ. Վ., Գրիգորյան Կ. Գ., Գրիգորյան Գ. Հ. — Կալցիումի հիդրոսիլիկատների ստացումը տուֆի և հանդամ կրի փոխազդեցությունից հիդրոթերմալ պայմաններում	4—220
Յան Ա. Ա., տե՛ս Մուսոյան Լ. Մ.	3
Նալբանդյան Ա. Բ., տե՛ս Աբրահամյան Ա. Ն.	211
Բաբեցյան Լ. Պ.,	279
Մուսոյան Լ. Մ.	3
Փուլադյան Ե. Ա.	139

Նալբանդյան Զ. Ք., Կոստանդյան Վ. Ա., Սողամոնյան Ա. Հ., Մարտիրոսյան Գ. Ք., Խաչատրյան Լ. Ա., Լալայան Ռ. Գ., Մուկարյան Ա. Վ., Մուսայեղյան Ն. Բ. — <i>Կարթուզի խմբի պարունակող ընթացիկների լատենական սինթեզը, հատկությունների հետազոտումը և բազադրոթյունների օգտիմացումը</i>	3—318
Նալբանդյան Յու. Ե., տե՛ս Տեղեկա Մ. Մ.	255
Նալբանդյան Զ. Մ., տե՛ս Սիմոնյան Գ. Ս.	436
Փիրումյան Գ. Պ.	14, 71
Նաբոյան Ա. Կ., Գրիգորյան Կ. Գ., Բարսեղյան Ս. Հ., Ղազանչյան Ա. Մ. — <i>Հիդ- րոկանիդիտների մի ջանի բյուրեղագեթմիական հատկությունները</i>	3—491
Ներսիսյան Կ. Ա., տե՛ս Դավրյան Վ. Ս.	?
Նիկողոսյան Լ. Լ.	400
Նիզամյանով Ա. Ա., տե՛ս Տեղեկա Մ. Մ.	255
Նիկողոսյան Բ. Վ., տե՛ս Խանաբերդյան Ա. Ա.	558
Նիկողոսյան Լ. Լ., Ներսիսյան Կ. Ա., Սատիցա Տ. Յու., Միրզայան Ռ. Գ., Ին- նիկյան Մ. Հ. — <i>1-Տեների-2-ազա-1,3-բուտադիենի փոխադրեցումը երկրորդային ֆոսֆինօքսիդների հետ</i>	6—400
Նորավան Ա. Ս., տե՛ս Պարոնիկյան Ե. Գ.	505, 766
Նորավան Հ. Ս., տե՛ս Ազեկյան Ա. Ա.	705
Շանթյան Ռ. Ս., տե՛ս Վարդանյան Ռ. Ս.	270
Շանեհաբերդյան Ռ. Վ., տե՛ս Զավադյան Վ. Գ.	19
Շամամյան Է. Հ., Քերաշյան Ս. Մ., Ոսկանյան Մ. Գ. — <i>Փակ համակարգում ած- խածնի և ջրածնի համատեղ ջանակական միկրոոբոլոման Նոր սարքը</i>	2—123
Շեպարտյան Կ. Ա., տե՛ս Հաբուսյան Բ. Ս.	153
Շիպուկ Վ. Ա., Ազադանյան Յ. Ե. — <i>Ազատազամանային օդակի ունակցիոնումնա- կություն և նրանում լիցքերի բաշխման կապի մասին</i>	6—405
Շչեպոնկովա Օ. Ս., տե՛ս Ազաբեկյան Է. Ս.	591
Շոամ Ե. Վ., տե՛ս Փիրումյան Գ. Պ.	71, 146
Ոսկանյան Է. Ս., տե՛ս Ղափանյան Է. Ե.	385
Ոսկանյան Մ. Գ., տե՛ս Շամամյան Է. Հ.	125
Որսկանյան Ա. Ա., տե՛ս Բաղանյան Շ. Հ.	294
Ջուլյանյան Գ. Ա., տե՛ս Մացոյան Մ. Ս.	532
Պարոնիկյան Ե. Գ., Սիրականյան Ս. Ն., Գրիգորյան Գ. Խ., Նորավան Ա. Ս. — <i>3-Օքսոպրոպիոնի, 4-Շալիքիդիոնների ածանցյալների սինթեզը և պսակած հատկությունները</i>	8—305
Պարոնիկյան Ե. Գ., Սիրականյան Ս. Ն., Նորավան Ա. Ս., Պարոնիկյան Ռ. Գ. — <i>Գիրանոլ, 3-Շալիքիդիոնների շարքի 3-ամինոածանցյալների սինթեզը և հակացեցումային ակտիվությունը</i>	13—776
Պարոնիկյան Ռ. Գ., տե՛ս Պարոնիկյան Ե. Գ.	766
Պարոնիկյան Ռ. Վ., տե՛ս Գրիգորյան Լ. Ա.	236
Պետրոսյան Վ. Ա., Առուստամյան Ա. Ա., Գրիգորյան Ա. Ա. — <i>Բուտադիենիտրի- լային կառուցվածքների դիմեթիլֆորմամիդում հալոգենացման մեխանիզմի մասին</i>	2—130
Պետրոսյան Վ. Ա., Բոշնյակովա Ա. Ի., Գրիգորյան Ա. Ա. — <i>Կաթոթիպարունակող արգասեղանները բրոմացված բուտադիենիտրիլային կառուցվածքների հիման վրա</i>	1—54
Պետրոսյան Վ. Ա., Միրզախանյան Ս. Գ. — <i>Բուտադիենիտրիլային կառուցվածքների բրոմացումը դիմեթիլֆորմամիդի ներկայությամբ</i>	8—522
Պետրոսյան Վ. Ա., Միրզախանյան Ս. Գ., Մարտիրոսյան Մ. Վ., Բոշնյակովա Ա. Ի., Գրիգորյան Է. Ա. — <i>Ֆոսֆորական թթվի հեքսամեթիլտրիամիդի և բրոմի կոմպլեքսի մասին</i>	8—535
Պետրոսյան Վ. Ա., Միրզախանյան Ս. Մ., Մկրյան Գ. Գ. — <i>Պոլիմերիկոնցիանիդի ցածր շեղմաստիանային հալոգենացումը դիմեթիլֆորմամիդի միջա- վայրում</i>	7—473

УКАЗАТЕЛЬ АВТОРОВ И СТАТЕЙ

<i>Абаджян В. К.</i> — Влияние солей пленкообразующих растворов на прочностные характеристики стекла	3—166
<i>Абрамян А. А.</i> , см. <i>Оганесян Д. Н.</i>	461, 667
<i>Абрамян А. Н.</i> , <i>Григорян Г. Л.</i> , <i>Налбандян А. Б.</i> — Фазовое состояние и химическая активность надпероксида калия	4—211
<i>Авагян С. С.</i> , см. <i>Погосян Л. Е.</i>	467
<i>Авакян А. С.</i> , см. <i>Вартанян С. О.</i>	176
<i>Авакян С. Н.</i> , см. <i>Погосян Л. Е.</i>	467, 603
<i>Авакян Т. А.</i> , см. <i>Мартirosян Г. Г.</i>	356
<i>Аванесян Э. С.</i> , см. <i>Оганесян Д. Н.</i>	461, 667
<i>Аветисян А. А.</i> , <i>Ахназарян А. А.</i> , <i>Меликян Г. С.</i> — Новый способ получения замещенных 2-циан-3-метил-2,4-пентадиеновых кислот	10—659
<i>Аветисян А. А.</i> , <i>Галстян А. В.</i> , <i>Меликян Г. С.</i> — Исследования в области ненасыщенных лактонов. Синтез δ -лактонов с гетероциклическими заместителями	10—657
<i>Аветисян А. А.</i> , <i>Каграманян А. А.</i> , <i>Меликян Г. С.</i> — Исследования в области ненасыщенных лактонов. Реакции аминотетилирования и цианэтилирования в ряду γ - и δ -лактонов	10—633
<i>Аветисян А. А.</i> , <i>Каграманян А. А.</i> , <i>Меликян Г. С.</i> — Исследования в области ненасыщенных лактонов. Общий путь синтеза функционально замещенных γ - и δ -лактонов методом межфазного катализа	11—708
<i>Аветисян А. А.</i> , см. <i>Арзуманян М. Г.</i>	381, 713
<i>Арутюнян В. С.</i>	410
<i>Галоян К. А.</i>	664
<i>Гюльбудагян Л. В.</i>	636
<i>Месропян Э. Г.</i>	264, 664
<i>Аветисян А. С.</i> , <i>Минасян С. А.</i> , <i>Маркарян Э. А.</i> — Производные фенолол-кислот. XXXIV. Синтез 3-метокси-4-[(2,3-дипальмитилокси)пропокси]-бензойной кислоты	8—514
<i>Аветисян А. Х.</i> , см. <i>Джавадян В. Г.</i>	19
<i>Аветисян М. С.</i> , см. <i>Балаян Г. Г.</i>	747
<i>Агавелян Э. С.</i> , <i>Щетинская О. С.</i> , <i>Кургинян К. А.</i> — Синтез диаллиловых и дипропаргильовых эфиров ненасыщенных гликолей	9—591
<i>Агаджанян Ц. Е.</i> , см. <i>Шкулев В. А.</i>	405
<i>Агаян В. Э.</i> , см. <i>Асатрян Э. М.</i>	244, 251
<i>Агбальян С. Г.</i> , <i>Микаелян Г. С.</i> , <i>Киноян Ф. С.</i> , <i>Аташян С. М.</i> — Реакция бензальанилина с хлоралем	1—59
<i>Агбальян С. Г.</i> , см. <i>Бабаян А. А.</i>	6
<i>Агекян А. А.</i> , <i>Пирджанов Л. Ш.</i> , <i>Нораян О. С.</i> , <i>Маркарян Э. А.</i> — Производные арилалкиламинов. XXV. Синтез замещенных арилететрагидропиранидетиламинов	11—705
<i>Айказян А. М.</i> , <i>Григорян А. Ш.</i> — Исследование Pd—Ag/SiO ₂ катализаторов в процессе получения этилдендиацетата гидрированием уксусного ангидрида	10—615
<i>Айказян А. М.</i> , см. <i>Гюльбадян А. А.</i>	442
<i>Айрапетян Г. С.</i> , см. <i>Гюльбадян А. А.</i>	442
<i>Айрапетян О. Х.</i> , см. <i>Балаян Г. Г.</i>	45
<i>Айрапетян Р. Х.</i> , см. <i>Капманян Э. Е.</i>	385
<i>Айрапетян С. М.</i> , <i>Покрикян Г. В.</i> , <i>Бадалян А. К.</i> , <i>Исабекян С. Е.</i> , <i>Исраелян В. Р.</i> , <i>Акопян Л. А.</i> — Модификация мела карбоксилатными латексами поливинилацетата	6—392
<i>Акопян А. Г.</i> , см. <i>Довлатян В. В.</i>	36
<i>Акопян Э. А.</i> , см. <i>Оганесян Д. Н.</i>	197
<i>Хачатрян М. А.</i>	728
<i>Акопян Л. А.</i> , см. <i>Арутюнян Н. С.</i>	240

Алоян Л. А., см. Айрапетян С. М.	392
Казанчян Г. П.	260
Акопян С. К., см. Хачатрян Л. А.	266
Акопян С. М., Залинян М. Г. — Кинетика восстановления 3-этил-6-метил-2-оксо-1,4-диоксанов	7—465
Акопян Э. А., см. Ахназарян А. А.	313
Алебяк Г. П., см. Тельнова М. М.	255
Александров Е. А., см. Басевич В. Я.	426
Алексанян И. Л., см. Гюльбудагян Л. В.	41; 334; 407; 470; 636
Алиев Р. К., см. Мусоян Л. М.	3
Амбарцумян Г. Б., см. Месропян Э. Г.	264, 664
Пирумян Г. П.	14
Амбарцумян Э. Н., см. Гюльбудагян Л. Л.	518
Довлатян В. В.	192
Анакчян Э. Х., см. Мартиросян Г. Г.	356
Андроникашвили Т. Г., см. Гайбакиан Д. С.	754
Антипин М. Ю., см. Карапетян А. А.	483
Апресян Л. П., см. Ханамирова А. А.	558
Аракелян А. С., см. Погосян Л. Е.	467; 603
Аракелян А. С., см. Дворянчиков А. И.	571
Аракелян Р. А., см. Дургарян А. А.	322
Арзуманян М. Г., Арутюнян Р. С., Ахназарян А. А., Аветисян А. А. — Синтез поверхностно-активных соединений на основе 2,7-диэтил-2,7-диоксиметил-1,8-диокси-4-октенов	6—381
Арзуманян М. Г., Арутюнян Р. С., Ахназарян А. А., Аветисян А. А. — Поверхностно-активные соединения на базе 2,7-диэтил-2,7-диоксиметил-4-хлор-1,8-диокси-4-октенов и 2,7-диэтил-2,7-диоксиметил-4,5-дихлор-1,8-диокси-4-октенов	11—713
Арзуманян М. Г., см. Ахназарян А. А.	313
Аристаркесян С. А., см. Григорян Л. А.	116
Арстамян Ж. М., Григорян Л. А., Асатрян К. В. — Экстракционно-флуориметрическое определение хлора пиронином Ж в промстоках	3—173
Арустамян С. А., см. Петросян В. А.	120, 130
Арутюнян Б. С., Оганесян К. В., Овсепян Г. Ш., Щепалин К. А., Оганесян Э. Б. — ИК спектроскопическое и адсорбционное исследование структуры карбонизированных форм аморфного гидротетрасиликата кальция	3—153
Арутюнян В. С., Кочикян Т. В., Егиазарян Н. С., Аветисян А. А. — Рециклизация тиосемикарбазолов 2-ацетилбутаноллидов	6—410
Арутюнян Г. А., Григорян Г. О. — Исследование взаимодействия нефелинового концентрата с растворами солей алюминия. I. Установление оптимальных параметров процесса	10—624
Арутюнян Г. А., Григорян Г. О. — Исследование взаимодействия нефелинового концентрата с растворами солей алюминия. II. Физико-химические исследования продуктов	11—677
Арутюнян Г. А., Григорян Г. О. — Исследование взаимодействия нефелинового концентрата с раствором сульфата алюминия. III. Кинетика взаимодействия	11—682
Арутюнян Л. И., Гуманян И. П., Балаян Г. Г. — Характеристическая вязкость как мера агрегированности частиц кремнезольей	9—601
Арутюнян Н. С., Гарибян К. М., Асатрян Т. О., Тосунян А. О., Акопян Л. А. — Синтез смешанных тетрагидропиридилариламинов	4—240
Арутюнян Р. С., см. Арузаманян М. Г.	381, 713
Асланян А. С.	596
Григорян К. Р.	547
Арцруни В. Ж., см. Микаелян Дж. А.	568
Асатрян К. В., см. Арстамян Ж. М.	173

<i>Асатрян Р. С., Мацлян Н. Ш.</i> — Об электроактивности сопряженных гетерополиариленов	6—402
<i>Асатрян Р. С., см. Харатян В. Г.</i>	728
<i>Асатрян Т. О., см. Арутюнян Н. С.</i>	240
<i>Асатрян Э. М., Киракосян В. О., Агаян В. Э., Мартиросян З. А., Малхасян А. Ц., Мартиросян Г. Т.</i> — Изучение химических превращений катализаторов — солей меди при изомеризации 1,4-дихлор-2-бутена в 3,4-дихлор-1-бутен	4—251
<i>Асатрян Э. М., Киракосян В. О., Агаян В. Э., Смирнов В. В., Малхасян А. Ц., Мартиросян Г. Т.</i> — Изомеризация и дегидрохлорирование дихлорбутенов в присутствии кислот Льюиса	4—244
<i>Асатрян Э. М., Киракосян В. О., Малхасян А. Ц., Мартиросян Г. Т.</i> — Дегидрохлорирование 3,4-дихлор-1-бутена в хлоропрен под действием аминов	5—341
<i>Асланян А. С., Арутюнян Р. С., Бейлерян Н. М.</i> — Закономерности полимеризации метилметакрилата в водных растворах оксамина С-60, инициированной динитрилом азозомасляной кислоты	9—596
<i>Асратян Г. В., см. Харатян В. Г.</i>	736
<i>Аташян С. М., см. Агбальян С. Г.</i>	59
<i>Оганесян Д. Н.</i>	461
<i>Шамамян Э. Г.</i>	125
<i>Ахназарян А. А., Арзуманян М. Г., Акопян Э. А.</i> — Макроциклические сложные эфиры. II. Синтез 12,17-диалкил-1,4,7,10-тетраокса-14-хлор-14-циклооктадецен-11,18-дионон, 12,17-диалкил-1,4,7,10-тетраокса-14,15-дихлор-14-циклооктадецен-11,18-дионон и их комплексов	5—313
<i>Ахназарян А. А., см. Аветисян А. А.</i>	659
<i>Арзуманян М. Г.</i>	381, 713
<i>Ачарян Г. С., см. Пирумян Г. М.</i>	14
<i>Бабаян А. А., Агбальян С. Г.</i> — Реакция тригидразида циануровой кислоты с электрофильными олефинами	10—660
<i>Бабаян А. Т., см. Оганесян Н. Р.</i>	700
<i>Бабаян Г. Г., см. Григорян Р. А.</i>	231
<i>Бабаянц Р. М., см. Ханамирова А. А.</i>	558
<i>Баберцян Л. П., Оганесян Э. А., Варданян И. А., Налбандян А. Б.</i> — О гетерогенных стадиях в реакции низкотемпературного окисления формальдегида	5—279
<i>Бабкин В. В., см. Тельнова М. М.</i>	255
<i>Багдасарян Г. Б., Саркисова Е. А., Инджикян М. Г.</i> — Образование 1,3,5-трифенилбензола из дибутилацетата ацетофенона под действием каталитических количеств хлористого водорода	3—203
<i>Бадалян А. К., см. Айрапетян С. М.</i>	392
<i>Бадалян Ш. О., Ворсканян С. А.</i> — Алкенилмагнийгалогениды в синтезе природных молекул	5—294
<i>Балаян Г. Г., Аветисян М. С., Туманян Н. П.</i> — Некоторые закономерности флокуляции коллоидного кремнезема растворами полиэтиленамина	12—747
<i>Балаян Г. Г., Айрапетян О. Х., Вартикян Р. М., Туманян Н. П.</i> — Адсорбция поливинилового спирта на коллоидном кремнеземе	1—45
<i>Балаян Г. Г., см. Арутюнян Л. И.</i>	601
<i>Бирсегян С. О., см. Наджарян А. К.</i>	491
<i>Басевич В. Я., Веденеев В. И., Александров Е. А.</i> — Реакция атомарного азота с метаном	7—426
<i>Батовская Л. О., см. Пирумян Г. П.</i>	14, 146
<i>Бондаренко М. С., см. Франковский В. А.</i>	24; 87; 368
<i>Бороян Р. Г., см. Мадакян В. Н.</i>	724
<i>Бошнякова А. И., см. Петросян В. А.</i>	54; 535
<i>Бояджян В. Г., см. Манукян Г. А.</i>	389

Бейлерян Н. М., см. Асланян А. С.	596
Давтян В. С.	7
Маркрян Ш. А.	653
Вирдамян И. А., см. Баберцян Л. П.	279
Вардересян Г. Ц., см. Манташян А. А.	332
Вартамян Р. С., Казарян Ж. В., Шагинян Р. С. — Взаимодействие 3-метокси-1-азабутандиенов с маделиновым ангидридом	4—270
Вартамян С. А., см. Куроян Р. А.	509
Вартамян С. О., Абакиан А. С., Маркрян Э. А. — Новое в химии 1,4-бензодиоксана	3—176
Вартикян Р. М., см. Балаян Г. Г.	45
Варужанян А. А., Манукян Г. Г., Ермошнев И. К., Талаев И. В. — Исследование теплопроводности кремния оксида (IV) переработанного с целью интенсификации процесса его получения	11—692
Варужанян А. А., Оганесян А. О. — Влияние температуры термообработки и фазового состава на пористую структуру кремний оксида переработанного	8—487
Веденев В. И., см. Басевич В. Я.	426
Ворсканян С. А., см. Бабамян Ш. О.	294
Восканян М. Г., см. Шамамян Э. Г.	125
Восканян Э. С., см. Капалаян Э. Е.	385
Габриелян Э. С., см. Мацолян М. С.	532
Гайбалян А. Г., Хачатрян А. Г. — Спектрофотометрическое исследование риванола	3—176
Гайбалян Д. С., Анороникашвили Т. Г., Хачатрян А. Г. — Применение цеолитов для разделения редких элементов методом тонкослойной хроматографии	12—754
Галоян К. К., Аветисян А. А. — Новые производные 5,5-диметилгидантоина	10—664
Галоян К. К., Князян Н. Б., Костанян К. А. — Некоторые свойства кальциевоборозалюминатных стекол	9—563
Галоян К. А., см. Месропян Э. Г.	264, 664
Галстян А. В., см. Аветисян А. А.	657
Галстян Л. Р., см. Мацолян М. С.	532
Ганджалаян Н. В., см. Меликян Т. Р.	605
Гапоян А. С., см. Мелик-Оганджиян Р. Г.	530
Гарибян К. М., см. Арутюнян Н. С.	240
Гаспарян М. Ц., см. Харатян В. Г.	736
Гаспарян С. Е., см. Пирумян Г. П.	14
Гач-Байтц Э., см. Оганесян Г. Б.	58, 646, 717
Геворкян А. А., см. Дворянчиков А. И.	571
Саргсян М. С.	397, 496
Геворкян А. Дж., см. Оганесян Д. Н.	197
Геворкян А. Ц., см. Мовсисян М. С.	77
Геворкян Э. А., Караханян С. С., Сагаруния С. А., Хечумян Е. М. — Исследование взаимодействия фторида алюминия с гидроксидом натрия	5—284
Геоцкчи Н. С., Овсепян Е. Н., Хачатрян А. Г. — Экстракционно-абсорбциометрическое определение микрограммовых количеств платины нильским синим F^{\ominus}	5—289
Гзирян К. З., см. Гюльбудагян Л. В.	41
Голкцяк Т. А., см. Довлатян В. В.	187, 451
Григорян А. Ш., см. Айказян А. М.	615
Гюльзадян А. А.	442
Мелкумов М. А.	619
Григорян Г. О., см. Арутюнян Г. А.	624, 677, 682
Мурадян А. Б.	82, 161, 220

Григорян Г. Л., см. Абрамян А. Н.	211
Григорян Г. С., Тамоева А. И., Товмасын В. С., Малхасян А. Ц., Мартиросян Г. Т. — О составе продуктов жидкофазного окисления 1,4-дихлор-2-бутена кислородом	1—29
Григорян Г. С., см. Хачатрян Л. А.	762
Григорян Г. Х., см. Пароникян Е. Г.	505
Григорян Дж. В., см. Оганесян Н. Р.	700
Григорян К. Г., см. Мурадян А. Б.	82, 161, 220
Наджарян А. К.	491
Григорян К. Р., Маркарян Ш. А., Арутюнян Р. С. — Физико-химическое исследование водных растворов некоторых аминокислот в присутствии диметилсульфоксида	9—547
Григорян Л. А., Калдрикия М. А., Пароникян Р. В. — Производные арилсульфоновых кислот. XVII. Синтез N[γ-(4-N',N'-дизамещенных сульфамонилфенил)алкил]амидов 4-алкоксибензойкой кислоты	4—236
Григорян Л. А., Калдрикия М. А., Степанян Н. О., Аристакесян С. А. — Производные арилсульфоновых кислот. XVI. Синтез и гипогликемическая активность 4-замещенных бенз-2,1,3-тиадиазолсульфоамидов	2—116
Григорян Л. А., см. Арстамян Ж. М.	173
Григорян Р. А.	231
Пирумян Г. П.	696
Григорян Н. Л., см. Куроян Р. А.	509
Григорян О. В., см. Мовсисян М. С.	77
Мурадян А. Б.	82, 161, 220
Григорян Р. А., Григорян Л. А., Бабаян Г. Г. — Синтез сложных оксидов со структурой шпинели в низкотемпературной плазме. I. Синтез и исследование соединений составов $Zn_2Ti_{1-x}Sn_xO_4$ методами рентгенографии и ядерного гамма-резонанса	4—231
Григорян Р. А., см. Пирумян Г. П.	696
Григорян Р. Т., см. Ирадян М. А.	338
Григорян С. А., см. Петросян В. А.	54, 130
Григорян Э. А., см. Мадакян В. Н.	642
Петросян В. А.	535
Гукасян П. С., см. Поладян Е. А.	139
Гукасян Т. Т., Мхитарян Р. П. — Кинетические закономерности окисления диметилаэтанолamina персульфатом калия в присутствии Ag^+	3—143
Гюльбудагян Л. В., Алексанян И. Л. — Получение 2-винил-4-метилфуоро[3,2-С]хинолинов	5—334
Гюльбудагян Л. В., Алексанян И. Л. — Получение 2-этил-4-метилфуоро[3,2-с]хинолинов	6—407
Гюльбудагян Л. В., Алексанян И. Л. — Синтез 2-алкоксиметил-4-метилтиено[2,3-в]хинолинов	7—470
Гюльбудагян Л. В., Алексанян И. Л., Аветисян А. А. — Некоторые превращения N-аллильных производных 2-оксо(тиоксо)-4-метилхинолинов	10—636
Гюльбудагян Л. В., Алексанян И. Л., Гзирян К. З., Синдоян А. В. — Получение новых эфиров 4-оксихинолинов и хинолидоксиуксусных кислот	1—41
Гюльбудагян Л. Л., Амбарцумян Э. Н., Довлатян В. В. — Получение новых производных пимдазолидинил-симм-триазинов	8—518
Гюльбудагян Л. Л., см. Довлатян В. В.	192
Гюльбадян А. А., Григорян А. Ш., Айрапетян Г. С., Айказян А. М. — Влияние термохимической обработки цеолитов Ноемберянского месторождения Армянской ССР и Pd/цеолит катализаторов на их активность	7—442
Давтян В. С., Мелик-Оганджянян Л. Г., Маркарян Ш. А., Нерсисян К. А., Бейлерян Н. М. — Влияние полипероксидов полихлоропрена на механизм его термоокисления	1—7

Давтян И. А., см. Манташян А. А.	332
Давтян М. М., см. Матнишян А. А.	457
Дарбинян Э. Г., см. Харатян В. Г.	736
Датурян Б. М., см. Казанчян Г. П.	260
Дворянчиков А. И., Аракелян А. С., Геворкян А. А. — Реакции галогенгетрагидропирранов	9—571
Джавадян В. Г., Кандевосян А. Р., Шахназарян Р. В., Аветисян А. Х. — Стеклообразование и свойства стекол в системе As—Se—S—J	1—19
Довлатян В. В., Гомкцян Т. А., Хачатрян Н. Х. — Синтез α -метилгидразино-сим-триазинов	3—187
Довлатян В. В., Гомкцян Т. А., Хачатрян Н. Х. — Синтез и дикалирование 3-ацилгидразино-сим-триазинов	7—451
Довлатян В. В., Гюльбудагян Л. Л., Амбарцумян Э. Н. — Аммиолиз и гидразинолиз N-циан-N-карбметоксипякиламино-сим-триазинов	3—192
Довлатян В. В., Элиазян К. А., Пивазян В. А., Акопян А. Г. — Некоторые превращения 2-аминоэтилокси-сим-триазинов	1—35
Довлатян В. В., см. Гюльбудагян Л. Л.	518
Дургарян А. А., Аракелян Р. А., Есаян Г. Е. — Взаимодействие эпоксида полихлоропрена с тиомочевинной и роданидом калия	5—322
Егизарян Н. С., см. Арутюнян В. С.	410
Ерицян М. Л., см. Меликсетян Р. П.	326
Ермолаев И. К., см. Варужанян А. А.	692
Есаян Г. Е., см. Дургарян А. А.	322
Залинян М. Г., см. Акопян С. М.	465
Запашский В. Н., см. Хачатрян М. А.	728
Запросян А. В., см. Манташян А. А.	351, 551
Зулумян Н. О., см. Мартиросян Г. Г.	356
Инджикян М. Г., см. Багдасарян Г. Б.	203
Никогосян Л. Л.	100
Погосян А. С.	374
Ирадян М. А., Григорян Р. Т., Ирадян Н. С. — Производные имидазола. XXII. О термической перегруппировке N'-4-[бис(2-хлорэтил)амино]бензилидегидразидов 4-нитронмидазол-1-уксусной кислоты в азии 4-[бис(2-хлорэтил)амино]бензальдегида	5—338
Ирадян М. А., Овагимян А. А. — Об отличительных свойствах гидразонов 4-хлор- и 4(3)-нитроацетофенонов	5—336
Ирадян Н. С., см. Ирадян М. А.	338
Исабекян С. Е., см. Айрапетян С. М.	392
Исраелян В. Р., см. Айрапетян С. М.	392
Казраманян А. А., см. Аветисян А. А.	633, 708
Казанчян А. М., см. Наджарян А. К.	491
Казанчян Г. П., Датурян Б. М., Киноян Ф. С., Акопян Л. А. — Роль сенсбилизаторов свечения в межфазных реакциях в многослойных композициях из несовместимых полимеров	4—260
Казарян А. Ц., см. Хачатрян Л. А.	266
Казарян Ж. В., см. Вирганян Р. С.	270
Казарян Л. А., см. Меликсетян Р. П.	327
Казарян Н. В., см. Мадилян В. Н.	724
Казарян Р. А., см. Хачатрян Л. А.	762
Казарян Р. К., см. Мадакян В. Н.	642, 724
Казарян С. А., см. Матнишян А. А.	457
Калдрикян М. А., см. Григорян Л. А.	116, 236
Камиллян Н. С., Минацаканян В. А. — Модификация структур алкалоидов. XI. Новые производные соласидина	2—126

<i>Камалин О. А., Мушегян А. В.</i> - Парофазное модифицирование силикагеля стирилом по данным ИК спектроскопических и гравиметрических измерений	4-215
<i>Кандевосян А. Р., см. Джавадян В. Г.</i>	19
<i>Каплянн Э. Е., Айрапетян Р. Х., Восканян Э. С.</i> - Химия диенов и их производных. XXV. Низкотемпературное хаорирование 2-бром-1,3-бутадиена	6-385
<i>Карпетян А. А., Маркарин Ш. А., Антилип М. Ю., Стручков Ю. Т.</i> - Кристаллическая и молекулярная структура диэтилсульфоксида	8-483
<i>Карпетян Т. Д., см. Мадакян В. Н.</i>	642
<i>Караханян С. С., см. Геворкян Э. А.</i>	284
<i>Касабян С. Р.</i>	688
<i>Касабян С. Р., Караханян С. С.</i> - Изучение процесса кристаллизации нитрата натрия из растворов с целью очистки от примеси нитрата кальция	11-688
<i>Киноян Ф. С., см. Агбалян С. Г.</i>	59
<i>Казанчян Г. П.</i>	260
<i>Оганесян Д. Н.</i>	461
<i>Харатян В. Г.</i>	736
<i>Киракосян В. О., см. Асатрян Э. М.</i>	244, 251, 341
<i>Хачатрян Л. А.</i>	266
<i>Князьян Н. Б., см. Галоян К. К.</i>	563
<i>Кумкумаджян Е. В.</i>	445
<i>Костандян В. А., см. Налбандян Э. Т.</i>	318
<i>Костанян К. А., см. Галоян К. К.</i>	563
<i>Кумкумаджян Е. В.</i>	445
<i>Кочикян Т. В., см. Арутюнян В. С.</i>	410
<i>Кумкумаджян Е. В., Князьян Н. Б., Костанян К. А.</i> - Некоторые свойства стекол магниевооборотной системы, содержащей фториды	7-445
<i>Кургиян К. А., см. Агавелян Э. С.</i>	591
<i>Куроян Р. А.</i> - Методы синтеза пиперидин-, тетрагидропиран-, тетрагидро-тиопиран-4-карбокисаальдегидов, кетонов, кислот и их производных	2-99
<i>Куроян Р. А., Маркосян А. И., Оганисян А. Ш., Оганисян М. Г.</i> - Синтез 3-этоксикарбонил(диан)-4-амино-1,2-дигидроспиро(нафталин-2,1'-циклогексанов)	8-527
<i>Куроян Р. А., Сихчян Г. М., Вартамян С. А., Григорян Н. Л.</i> - Синтез и свойства циклоалканспиропиперидинов	8-509
<i>Куртикян Т. С., см. Мадакян В. Н.</i>	642, 724
<i>Лалаян Р. Г., см. Налбандян Э. Т.</i>	318
<i>Мадакян В. Н., Казарян Р. К., Манукян Ш. М., Куртикян Т. С., Казарян Н. В., Степанян А. С., Бороян Р. Г., Ордян М. Б.</i> - Новые водорастворимые металлокомплексы мезо-тетра[3-N-(2'-оксиэтил)пиридил]порфирина и их фармакологическая активность	11-724
<i>Мадакян В. Н., Казарян Р. К., Манукян Ш. М., Куртикян Т. С., Хачоян В. И., Григорян Э. А., Карпетян Т. Д., Ордян М. Б.</i> - Некоторые металлокомплексы мезо-тетра[3-N-замещенных]пиридилпорфиринов и их биоактивность	10-642
<i>Мацлян Н. Ш., см. Асатрян Р. С.</i>	402
<i>Харатян В. Г.</i>	736
<i>Макарян А. В., см. Налбандян Э. Т.</i>	318
<i>Малхасян А. Ц., см. Асатрян Э. М.</i>	244, 251, 341
<i>Григорян Г. С.</i>	29
<i>Хачатрян Л. А.</i>	266, 762
<i>Манташян А. А., Вардересян Г. Ц., Давтян И. А.</i> - Превращение анатаза в рутил под воздействием цепной газофазной реакции окисления природного газа	5-332

<i>Мантяян А. А., Запрсян А. В., Мартиросян В. А.</i> — Синтез четыреххлористого титана из рутила воздействием смеси хлора с природным газом	9—551
<i>Мантяян А. А., Мартиросян В. А., Запрсян А. В.</i> — Образование безводного треххлористого железа при воздействии смеси природного газа и хлора на железосодержащие отвалы шлаки	6—351
<i>Манукян А. Г., см. Мартиросян Г. Г.</i>	356
<i>Манукян А. Т., см. Саргсян М. С.</i>	397
<i>Манукян Г. А., Бояджян В. Г., Огансян А. А.</i> — Кинетика образования латексных частиц при водной полимеризации винилацетата	6—389
<i>Манукян Г. Г., см. Варужанян А. А.</i>	692
<i>Маркрян Ш. М., см. Мадакян В. Н.</i>	642, 724
<i>Маркрян С. М., Тадевосян В. М., Петросян В. А.</i> — Комплекс сульфата алюминия с гексаметилендиамином и его применение в процессе дубления натуральных кож	1—50
<i>Маркрян Ш. А., Чшмаритян Дж. Г., Бейлерян Н. М.</i> — Полимеризация акриламида в воде в присутствии диалкилсульфоксидов	10—653
<i>Маркрян Ш. А., см. Григорян К. Р.</i>	547
<i>Давтян В. С.</i>	7
<i>Карапетян А. А.</i>	483
<i>Маркрян Э. А., см. Аветисян А. С.</i>	514
<i>Агекян А. А.</i>	705
<i>Вартамян С. О.</i>	176
<i>Маркосян А. И., см. Куроян Р. А.</i>	527
<i>Мартиросян В. А., см. Мантяян А. А.</i>	351, 551
<i>Мартиросян Г. Г., Овсепян Э. Б., Анакчян Э. Х., Манукян А. Г., Микаелян А. Г., Авакян Т. А., Зудумян Н. О.</i> — Изучение адсорбционно-структурных характеристик длатомитов месторождений Армении	6—356
<i>Мартиросян Г. Т., см. Асатрян Э. М.</i>	244, 251, 341
<i>Григорян Г. С.</i>	29
<i>Петросян В. А.</i>	120
<i>Найбандян Э. Т.</i>	318
<i>Хачатрян Л. А.</i>	266
<i>Мартиросян Э. А., см. Асатрян Э. М.</i>	251
<i>Мартиросян Н. Г., см. Хачатрян Л. А.</i>	762
<i>Мартиросян Э. В., см. Месропян Э. Г.</i>	264, 664
<i>Мартирян А. И., см. Пирумян Г. П.</i>	71, 696
<i>Матевосян М. В., см. Петросян В. А.</i>	535
<i>Матинишян А. А., Сафарян А. А., Давтян М. М., Казарян С. А.</i> — Хлорирование стереорегулярного полиацетилена в диметилформамиде	7—457
<i>Мацюян М. С., Галстян Л. Р., Церуян В. В., Саакян Л. А., Чухаджян Г. А., Габриелян Э. С.</i> — Новые имидазол- и пиразолсодержащие гемосорбенты для селективной сорбции мочевой кислоты	8—532
<i>Мацюян С. Г., см. Харатян В. Г.</i>	736
<i>Мелик-Оганджян Р. Г., Гапоян А. С., Хачатрян В. Э., Мирзоян В. С.</i> — Производные пиримидина. Реакция бромирования 5-аллил-6-гидразино-2,4-диметилпиримидина	8—530
<i>Мелик-Оганджян Л. Г., см. Давтян В. С.</i>	7
<i>Меликсетян Р. П., Казарян Л. А., Ерицян М. Л.</i> — Хелатные комплексы на основе N-гидроксипалькильных производных изоциануровой кислоты	5—326
<i>Меликян Г. С., см. Аветисян А. А.</i>	633, 657, 659, 708
<i>Меликян Т. Р., Рафаелян Д. Г., Ганджальян Н. В., Микаелян А. Р., Тагмазян К. Ц.</i> — Синтез новых азотсодержащих ингибиторов кислотной коррозии	9—605
<i>Мелкумов М. А., Григорян А. Ш., Сафронов В. М.</i> — Дисперсность и удельная каталитическая активность Ni и Ni/SiO ₂ катализаторов, полученных из формиата никеля	10—619

<i>Месропян Э. Г., Мартиросян Э. В., Амбарцумян Г. Б., Галоян К. А., Аветисян А. А.</i> — Новые производные изатина	4—264
<i>Месропян Э. Г., Мартиросян Э. В., Амбарцумян Г. Б., Галоян К. А., Аветисян А. А.</i> — Новые производные 5,5-диметилгидантоина	9—664
<i>Микаелян А. Г., см. Мартиросян Г. Г.</i>	356
<i>Микаелян А. Р., см. Меликян Т. Р.</i>	605
<i>Микаелян В. О., см. Мовсисян М. С.</i>	226
<i>Микаелян Г. С., см. Азбалаян С. Г.</i>	59
<i>Микаелян Дж. А., Арцруни В. Ж., Хачатрян А. Г.</i> — Исследование взаимодействия бромидного ацидокомплекса таллия (III) с сафранином Т	8—568
<i>Минисян С. А., см. Аветисян А. С.</i>	514
<i>Минисянц М. Х., см. Погосян Л. Е.</i>	603
<i>Мирзаханян С. Г., см. Петросян В. А.</i>	120, 473, 522, 535
<i>Мирзоян В. С., см. Мелик-Оганджаниян Р. Г.</i>	530
<i>Мирзоян Р. Г., см. Никогосян Л. Л.</i>	400
<i>Мирзоян Ф. В., Саркисян Н. П.</i> — Взаимодействие роданина бЖ с молибденовыми гетерополиоксидными фосфора (V) и мышьяка (V)	2—92
<i>Мкртумян С. А., см. Саргсян М. С.</i>	496
<i>Мкртчян А. Т., см. Оганесян Д. Н.</i>	667
<i>Мкрян Г. Г., см. Петросян В. А.</i>	120, 473
<i>Мнацаканян В. А., см. Камалян Н. С.</i>	128
<i>Оганесян Г. Б.</i>	58, 646, 717
<i>Мовсисян М. С., Геворкян А. Ц., Григорян О. В.</i> — Исследование процессов автоклавного растворения кварцевого песка и высококремнеземистой породы — трепела Фокинского месторождения. I. Исследование условий растворения трепела	2—77
<i>Мовсисян М. С., Микаелян В. О.</i> — Электрохимический метод получения диоксида кремния и исследование его свойств	4—226
<i>Мунейр Абдельфаттах, Овсепян Е. Н.</i> — Экстракционно-фотометрическое определение микрограммовых количеств урана акрифлавином	10—629
<i>Мурадян А. Б., Григорян О. В., Григорян К. Г., Григорян Г. О.</i> — Исследование взаимодействия клиноптилолита с гидроксидом кальция в гидротермальных условиях. I. Установление оптимальных условий синтеза гидросиликатов кальция	2—82
<i>Мурадян А. Б., Григорян О. В., Григорян К. Г., Григорян Г. О.</i> — Исследование взаимодействия клиноптилолита с гидроксидом кальция в гидротермальных условиях. II. Изучение продуктов взаимодействия методами физико-химического анализа	3—161
<i>Мурадян А. Б., Григорян О. В., Григорян К. Г., Григорян Г. О.</i> — Синтез гидросиликатов кальция на основе туфа и извести в гидротермальных условиях	4—220
<i>Мусаелян Н. Р., см. Налбандян Э. Т.</i>	318
<i>Мусоян Л. М., Алиев Р. К., С. А. Ян, Налбандян А. Б.</i> — Реакция изотопного обмена метана с поверхностными дейтерокислородными группами катализатора Pt/SiO ₂	1—3
<i>Мушегян А. В., см. Камалян О. А.</i>	215
<i>Мхитарян А. Г., см. Пирумян Г. П.</i>	14, 145
<i>Мхитарян Р. П., см. Гуксян Т. Т.</i>	143
<i>Наджарян А. К., Григорян К. Г., Барсегян С. О., Казанчян А. М.</i> — О некоторых кристаллохимических особенностях гидроканкринита	8—491
<i>Налбандян А. Б., см. Абрамян А. Н.</i>	211
<i>Баберцян Л. П.</i>	279
<i>Мусоян Л. М.</i>	3
<i>Поладян Е. А.</i>	139

<i>Налбандян Дж. М., см. Пирумян Г. П.</i>	14, 71
<i>Симонян Г. С.</i>	438
<i>Налбандян Э. Т., Костандян В. А., Согомонян А. А., Мартиросян Г. Т., Хачатрян Л. А., Лалаян Р. Г., Макарян А. В., Муселелян Н. Р. — Синтез, исследование свойств и оптимизация состава карбоксилсодержащего хлоропренового сополимера латекса</i>	5—318
<i>Налбандян Ю. Е., см. Тельнова М. М.</i>	255
<i>Нерсисян К. А., см. Давтян В. С.</i>	7
<i>Никогосян Л. Л.</i>	400
<i>Нигмадянов А. А., см. Тельнова М. М.</i>	255
<i>Никогосян Б. В., см. Ханамирова А. А.</i>	558
<i>Никогосян Л. Л., Нерсисян К. А., Сотина Т. Я., Мирзоян Р. Г., Инджикян М. Г. — Взаимодействие 1-фенил-2-аза-1,3-бутадиена с вторичными фосфиноксидами</i>	6—400
<i>Нораян А. С., см. Пароникян Е. Г.</i>	505, 766
<i>Нораян О. С., см. Агекян А. А.</i>	705
<i>Овагимян А. А., см. Ирадян М. А.</i>	336
<i>Овсепян Г. Ш., см. Арутюнян Б. С.</i>	153
<i>Овсепян Е. Н., см. Геокчян Н. О.</i>	289
<i>Мунейр Абдельфаттах</i>	629
<i>Овсепян Э. Б., см. Мартиросян Г. Г.</i>	356
<i>Овчмян В. Н., см. Оганесян А. Р.</i>	363
<i>Оганесян А. А., см. Манукян Г. А.</i>	389
<i>Оганесян А. О., см. Варужанян А. А.</i>	487
<i>Оганесян А. Р., Овчмян В. Н. — Исследование коррозионно-электрохимического поведения железа, хрома и хромистой стали в разбавленном силикатном щелочном растворе</i>	6—363
<i>Оганесян Б. Г., Мнацаканян В. А., Гач-Байтц Э., Радич Л. — Вербаскозид из <i>Teucrium nyrcaicum</i> L.</i>	1—58
<i>Оганесян Г. Б., Мнацаканян В. А., Гач-Байтц Э., Радич Л. — Флавоноидные гликозиды <i>TEUCRIUM NYRCANICUM</i> L.</i>	10—646
<i>Оганесян Г. Б., Мнацаканян В. А., Гач-Байтц Э. — Флавоноиды <i>Diasoserhalum multicaule</i> L.</i>	11—717
<i>Оганесян Д. Н., Абрамян А. А., Аванесян Э. С., Мкртчян А. Т., Погосян Г. М. — Полиуретаны и покрытия на основе 1,3,5-три-(β-оксизтил)гексагидро-сим-триазина</i>	10—667
<i>Оганесян Д. Н., Аванесян Э. С., Киноян Ф. С., Аташян С. М., Абрамян А. А., Погосян Г. М. — Мономеры и полимеры с изоциануровыми циклами. IV. Исследование процесса образования сополиуретана на основе олигобутадиендиола, триоксиметилизоцианурата и 4,4'-дифенилметандиизоцианата</i>	7—461
<i>Оганесян Д. Н., Геворкян А. Дж., Акопян Э. А., Погосян Г. М. — Мономеры и полимеры с изоциануровыми циклами. III. Полиуретаны на основе ди- и триоксиметилсольных производных циануровой кислоты</i>	3—197
<i>Оганесян К. В., см. Арутюнян Б. С.</i>	153
<i>Оганесян Н. Р., Григорян Дж. В., Бабалян А. Т. — Исследования в области аминов и аммониевых соединений. ССVII. Перегруппировка-расщепление потенциальных енаммониевых солей, содержащих 1-нафтилметильную группу</i>	11—700
<i>Оганесян Э. А., см. Баберцян Л. П.</i>	279
<i>Оганесян Э. Б., см. Арутюнян Б. С.</i>	153
<i>Оганесян Э. Т., см. Франковский В. А.</i>	24, 87, 368
<i>Оганесян А. Ш., см. Куроян Р. А.</i>	527
<i>Оганесян М. Г., см. Куроян Р. А.</i>	527
<i>Ордян М. Б., см. Мадакян В. Н.</i>	642, 724

<i>Пароникян Е. Г., Сиракянц С. Н., Григорян Г. Х., Нораян А. С.</i> — Синтез и коронарная активность производных 3-оксопирано/3,4-с/пиридинов	8—505
<i>Пароникян Е. Г., Сиракянц С. Н., Нораян А. С., Пароникян Р. Г.</i> — Синтез и противосудорожная активность 3-аминопроизводных пирано/3,4-с/пиридинов	12—766
<i>Пароникян Р. В., см. Григорян Л. А.</i>	236
<i>Пароникян Р. Г., см. Пароникян Е. Г.</i>	766
<i>Петросян В. А., Арустамян С. А., Григорян С. А.</i> — О галондировании бутадиевнитрильных каучуков в диметилформамиде	2—130
<i>Петросян В. А., Бошнякова А. И., Григорян С. А.</i> — Эпоксисодержащие продукты на основе бромированных бутадиевнитрильных каучуков	1—54
<i>Петросян В. А., Мирзаханян С. Г.</i> — Бромирование бутадиевнитрильных каучуков в присутствии диметилформамида	8—522
<i>Петросян В. А., Мирзаханян С. Г., Матевосян М. В., Бошнякова А. М., Григорян Э. А.</i> — О комплексе гексаметилтриамида фосфорной кислоты с бромом	8—535
<i>Петросян В. А., Мирзаханян С. М., Мкрян Г. Г.</i> — Низкотемпературное галондирование поливинилпирролидона в диметилформамиде	7—473
<i>Петросян В. А., Мирзаханян С. Г., Мкрян Г. Г., Арустамян С. А., Мартиросян Г. Т.</i> — О низкотемпературном галогенировании олефинов в амидных растворителях	2—120
<i>Петросян В. А., см. Маркарян С. М.</i>	50
<i>Петросян В. П., Погосян С. П.</i> — Изучение свойств реального газа с помощью уравнения его состояния	7—419
<i>Пивазян В. А., см. Довлатян В. В.</i>	36
<i>Пирджиков Л. Ш., см. Агекян А. А.</i>	705
<i>Пирумян Г. П., Григорян Л. А., Мартирян А. И., Григорян Р. А.</i> — Экстракционно-флуориметрический метод определения стимулятора роста А ² -57 в воде	11—696
<i>Пирумян Г. П., Мартирян А. И., Скурлатов Ю. И., Штамм Е. В., Налбандян Дж. М.</i> — Реакционная способность некоторых производных пиразолонов в отношении радикалов OH^\cdot и $\text{O}_2^{\cdot-}$	2—71
<i>Пирумян Г. П., Скурлатов Ю. И., Мхитарян А. Г., Батовская Л. О., Ачарян Г. С., Амбарцумян Г. Б., Гаспарян С. Е., Налбандян Дж. М.</i> — Механизм разложения H_2O_2 в присутствии взвесей донных отложений	1—14
<i>Пирумян Г. П., Скурлатов Ю. И., Мхитарян А. Г., Батовская Л. О., Штамм Е. В.</i> — Методика анализа редокс-состояния и каталазно-пероксидазной активности донных отложений	3—146
<i>Погосян А. С., Торгомян А. М., Инджикян М. Г.</i> — Синтез β,γ -непредельных триалкофосфатов и бетаинов на их основе	6—374
<i>Погосян Г. М., см. Оганесян Д. Н.</i>	197, 461, 667
<i>Хачатрян М. А.</i>	728
<i>Погосян Л. Е., Авакян С. Н., Аракелян А. М., Авакян С. С.</i> — Синтез и исследование комплексных соединений меди (II), цинка (II) и марганца (II) с 3-карбэтоксисульфарином	7—467
<i>Погосян Л. Е., Минасянц М. Х., Аракелян А. М., Авакян С. Н.</i> — Синтез и физико-химические исследования комплексных соединений с некоторыми переходными металлами	9—603
<i>Погосян С. П., см. Петросян В. П.</i>	419
<i>Поладян Е. А., Гукасян П. С., Налбандян Л. Б.</i> — Совместное гидрирование этилена и ацетона методом спилловера водорода	3—139
<i>Покриакян Г. В., см. Айрапетян С. М.</i>	392
<i>Радич Л., см. Оганесян Г. Б.</i>	58, 646
<i>Рафаслян Д. Г., см. Меликян Т. Р.</i>	605

Саакян Л. А., см. Мацоян М. С.	532
Сагарулян С. А., см. Геворкян Э. А.	284
Саргсян М. С., Манукян А. Т., Хизанцян Н. М., Геворкян А. А. — Синтез хлоркарбоновых кислот окислением β-, γ- и δ-хлорэфиров азотной кислотой	6—397
Саргсян М. С., Мкртумян С. А., Геворкян А. А. — Синтетические методы получения лимонной кислоты	8—496
Саркисова Е. А., см. Багдасарян Г. Б.	203
Саркисян Н. П., см. Мирзоян Ф. В.	92
Сатина Т. Я., см. Никогосян Л. Л.	400
Сафарян А. А., см. Матнишян А. А.	457
Сафронов В. М., см. Мелкумов М. А.	619
Симонян Б. Н., см. Ханамирова А. А.	558
Симонян Г. С., Налбандян Дж. М., Согомонян Б. М. — Хемилюминесценция в реакции пероксида бензонда с третичными аминспиртами	7—436
Синдоян А. В., см. Гюльбудагян Л. В.	41
Сираканын С. Н., см. Пароникян Е. Г.	505, 766
Скурлатов Ю. И., см. Пирумян Г. П.	14, 71, 146
Смирнов В. В., см. Асатрян Э. М.	244
Сихчян Г. М., см. Куроян Р. А.	509
Согомонян А. А., см. Налбандян Э. Т.	318
Согомонян Б. М., см. Симонян Г. С.	436
Степанян А. С., см. Мадакян В. Н.	724
Степанян Н. О., см. Григорян Л. А.	116
Стручков Ю. Т., см. Карапетян А. А.	483
Тагмазян К. Ц., см. Меликян Т. Р.	605
Тадевосян В. М., см. Маркарян С. М.	50
Талаев И. В., см. Варужанян А. А.	692
Тамоева А. И., см. Григорян Г. С.	29
Тельнова М. М., Бабкин В. В., Нигмдьянов А. А., Налбандян Ю. Е., Алебян Г. П. — Модифицирующий эффект сополимера винилового спирта-акриловая кислота в фотоматериале	4—255
Товмасян В. С., см. Григорян Г. С.	29
Торгомян А. М., см. Погосян А. С.	374
Тосунян А. О., см. Арутюнян Н. С.	240
Туманян Н. П., см. Арутюнян Л. И.	601
Балаян Г. Г.	45, 747
Франковский В. А., Бондаренко М. С., Оганесян Э. Т. — Закономерности образования трехфазных экстракционных систем	1—24
Франковский В. А., Бондаренко М. С., Оганесян Э. Т. — Экстракционное поведение некоторых фенолов и нафтолов в трехфазной системе водный раствор $(NH_4)_2SO_4$ —ацетон—гексан	2—87
Франковский В. А., Бондаренко М. С., Оганесян Э. Т. — Трехфазные жидкие системы типа водный раствор сульфата аммония—ацетон—гексан. Закономерности образования и химический состав фаз	6—368
Ханамирова А. А., Апресян Л. П., Никогосян Б. В., Симонян Б. И.	
Бабаянц Р. М. — Получение малощелочного высокодисперсного альфа-глинозема из глиноземной пыли	8—558
Харатян В. Г., Маилян Н. Ш., Асатрян Р. С., Гаспарян М. Ц., Киноян Ф. С., Асратян Г. В., Дарбинян Э. Г., Мацоян С. Г. — Соплимеризация 1-метил-5-винил- и 2-метил-1-винилтетразолов с акрилонитрилом	11—736
Хачанян Г. Б., см. Хачатрян Л. А.	266
Хачатрян А. Г., см. Гайбакян А. Г.	170, 754
Геокчян Н. О.	289
Микаелян Дж. А.	568

<i>Хачатрян В. Э., см. Мелик-Оганджанян Р. Г.</i>	530
<i>Хачатрян Л. А., Кизарян Р. А., Григорян Г. С., Мартиросян Н. Г., Малхасян А. Ц. — Циклоприсоединение дихлоркарбена к дихлорбутенам в условиях межфазного катализа</i>	12—762
<i>Хачатрян Л. А., Киракосян В. О., Хачанян Г. Б., Казарян А. Ц., Акопян С. К., Малхасян А. Ц., Мартиросян Г. Т. — Влияние катализаторов межфазного переноса на дегидрохлорирование 3,4-дихлор-1-бутена в хлоропрен едким натром в водно-спиртовой среде</i>	4—266
<i>Хачатрян Л. А., см. Налбандян Э. Т.</i>	318
<i>Хачатрян М. А., Акопян З. А., Запашный В. Н., Погосян Г. М. — Синтез и свойства координационных полимеров триазинового ряда</i>	11—728
<i>Хачатрян Н. Х., см. Довлатян В. В.</i>	187, 451
<i>Хачоян В. И., см. Мадакян В. Н.</i>	642
<i>Хечумян Е. М., см. Геворкян З. А.</i>	284
<i>Хизанцян Н. М., см. Саргсян М. С.</i>	397
<i>Церунян В. В., см. Мацолян М. С.</i>	532
<i>Чухаджян Г. А., см. Мацолян М. С.</i>	532
<i>Чшмаритян Дж. Г., см. Маркарян Ш. А.</i>	653
<i>Шагикян Р. С., см. Вартачан Р. С.</i>	270
<i>Шамалян Э. Г., Аташян С. М., Восканян М. Г. — Усовершенствованный прибор для одновременного определения углерода и водорода. III</i>	2—125
<i>Шахназарян Р. В., см. Джавадян В. Г.</i>	19
<i>Шкулеп В. А., Агаджанян Ц. Е. — О связи между реакционной способностью азаадамантапового кольца и распределением зарядов на нем</i>	6—405
<i>Штамм Е. В., см. Пирумян Г. П.</i>	71, 146
<i>Шепалин К. А., см. Арутюнян Б. С.</i>	153
<i>Щетинская О. С., см. Агавелян Э. С.</i>	591
<i>Элиазян К. А., см. Довлатян В. В.</i>	36
<i>Ян С. А., см. Мусоян Л. М.</i>	3

AUTHORS AND PAPER INDEX

<i>Abajlan V. K.</i> —An Influence of Sols of Film-Producing Solutions on Strength Characteristics of Glass	3—166
<i>Abrahamian A. A.</i> , see <i>Hovhannissian D. N.</i>	461, 667
<i>Abrahamian A. N.</i> , <i>Grigorian G. L.</i> , <i>Nalbandian A. B.</i> —The Phase State and the Reactivity of Potassium Superoxide	4—211
<i>Aghajantan Ts. Ye.</i> , see <i>Shkulyov V. A.</i>	405
<i>Aghavelian E. S.</i> , <i>Shchelinskaya O. S.</i> , <i>Kurghinian K. A.</i> —Synthesis of Diallyl- and Dipropargyl Ethers of Unsaturated Glycols	9—591
<i>Aghayan V. S.</i> , see <i>Assatryan E. M.</i>	244, 251
<i>Aghbalian S. G.</i> , <i>Mikayelian G. S.</i> , <i>Kinoyan F. S.</i> , <i>Atashian S. M.</i> —The Reaction of Benzaldehyde with Chloral	1—59
<i>Aghbalian S. G.</i> , see <i>Babayan A. A.</i>	660
<i>Aghegian A. A.</i> , <i>Pirjanov L. Sh.</i> , <i>Noravian H. S.</i> , <i>Markarian E. A.</i> —Arylalkylamines Derivatives. XXV. Synthesis of Substituted Aryltetrahydropyranylethylamines	11—705
<i>Ajarlan G. S.</i> , see <i>Piroumian G. P.</i>	14
<i>Alexandrov E. N.</i> , see <i>Basevich V. Ya.</i>	426
<i>Alexanian I. L.</i> , <i>Gyubudaghian L. V.</i>	41, 334, 407, 470, 635
<i>Altyev R. K.</i> , see <i>Mousoyan L. M.</i>	3
<i>Anakhchian E. Kh.</i> , see <i>Martirosian G. G.</i>	350
<i>Antipin M. Yu.</i> , see <i>Karapetian H. A.</i>	483
<i>Andronkashvili T. G.</i> , see <i>Gaybakian D. S.</i>	754
<i>Apresian L. P.</i> , see <i>Khanamirova A. A.</i>	558
<i>Arakellian A. M.</i> , see <i>Poghosian L. Ye.</i>	467, 603
<i>Arakelian A. S.</i> , see <i>Dvorianchikov A. I.</i>	571
<i>Arakellian R. H.</i> , see <i>Durgarian A. H.</i>	322
<i>Aristakesian S. A.</i> , see <i>Grigorian L. A.</i>	116
<i>Aroustamian S. A.</i> , see <i>Petrosian V. A.</i>	120, 130
<i>Arstamtan Zh. M.</i> , <i>Grigorian L. H.</i> , <i>Assatryan K. V.</i> —Extraction-Fluorimetric Determination of Chromium by Pyronine G in Waste Waters	3—173
<i>Artsrout V. J.</i> , see <i>Mikaellian J. A.</i>	568
<i>Arzoumantan M. H.</i> , <i>Haroutyunian R. S.</i> , <i>Hakhnazarian A. H.</i> , <i>Avetissian A. A.</i> —Synthesis of Surfactants on the Basis of 2,7-Dialkyl-2,7-dioxy-methyl-1,8-dioxy-4-octene	6—381
<i>Arzoumantan M. H.</i> , <i>Haroutyunian R. S.</i> , <i>Hakhnazarian A. H.</i> , <i>Avetissian A. A.</i> —The Surfactants on the Basis of 2,7-Dialkyl-2,7-dioxymethyl-4-chloro-1,8-dioxy-4-octenes and 2,7-Dialkyl-2,7-dioxymethyl-4,5-dichloro-1,8-dioxy-4-octenes	11—713
<i>Arzumantian M. H.</i> , see <i>Hakhnazarian A. H.</i>	313
<i>Astamtan A. S.</i> , <i>Haroutyunian R. S.</i> , <i>Beylerian N. M.</i> —The Kinetics of Methylmethacrylate Polymerization-Initiated with AIBN in Aqueous Solutions of Oxamine-60	9—596
<i>Assatryan E. M.</i> , <i>Kirakossian V. H.</i> , <i>Aghayan V. Z.</i> , <i>Martirosian Z. A.</i> , <i>Malkhasian A. Ts.</i> , <i>Martirosian G. T.</i> —A Study of Transformations of Copper Salts Catalysts on Isomerization of 1,4-Dichloro-2-Butene to 3,4-Dichloro-1-butene	4—251
<i>Assatryan E. M.</i> , <i>Kirakossian V. H.</i> , <i>Aghayan V. Z.</i> , <i>Smirnov V. V.</i> , <i>Malkhasian A. Ts.</i> , <i>Martirosian G. T.</i> —Isomerization and Dehydrochlorination of Dichlorobutenes in the Presence of Lewis Acids	4—244
<i>Assatryan E. M.</i> , <i>Kirakossian V. H.</i> , <i>Malkhasian A. Ts.</i> , <i>Martirosian G. T.</i> —Dehydrochlorination of 3,4-Dichloro-1-butene to Chloroprene Under the Action of Amines	5—341
<i>Assatryan K. V.</i> , see <i>Arstamtan Zn. M.</i>	173

<i>Assatryan R. S., Mallian N. Sh.</i> — On the Electroactivity of the Conjugated Heteropolyarilenes	6—402
<i>Assatryan R. S.</i> , see <i>Kharatlian V. H.</i>	728
<i>Assatryan T. O.</i> see <i>Haroutyunian N. S.</i>	240
<i>Atashian S. M.</i> , see <i>Aghballan S. G.</i>	59
<i>Hovhannisian D. N.</i>	461
<i>Shamamlan E. H.</i>	125
<i>Avagian A. S.</i> , see <i>Vardanian S. O.</i>	176
<i>Avagtan S. S.</i> , see <i>Pogosstan L. Ye.</i>	467, 603
<i>Avakian T. A.</i> , see <i>Martirosian G. G.</i>	356
<i>Avanessian E. S.</i> , see <i>Hovhannisian D. N.</i>	461, 667
<i>Avetissian A. A., Galstian A. H., Melikian G. S.</i> — Investigations of Unsaturated Lactones. The Synthesis of δ -Lactones Containing Heterocyclic Substituents	10—657
<i>Avetissian A. A., Hakhnazarian A. H., Melikian G. S.</i> — A New Method of Preparation of Substituted 2-Cyano-3-methyl-2,4-pentadienic Acids	10—659
<i>Avetissian A. A., Ghaghramantian A. A., Melikian G. S.</i> — Investigations of Unsaturated Lactones. Aminomethylation and Cyanoethylation Reactions in γ - and δ -Lactones Series	10—633
<i>Avetissian A. A., Ghaghramantian A. A., Melikian G. S.</i> — Investigations of Unsaturated Lactones. The General Method of Functionalized γ - and δ -Lactones Preparation under the Conditions of Interphase Catalysis	11—708
<i>Avetissian A. A.</i> , see <i>Arsoumanian M. H.</i>	381, 713
<i>Gyulbudaghlian L. V.</i>	636
<i>Haroutyunian V. S.</i>	410
<i>Mesrobian E. G.</i>	264
<i>Avetissian A. Kh.</i> , see <i>Javadian V. G.</i>	19
<i>Avetissian A. S., Minassian S. A., Markarian E. A.</i> — Phenolacids Derivatives. XXXIV. Synthesis of 3-Methoxy-4-(2,3-dipalmitoaloxo)propoxy/Benzoic Acid	8—514
<i>Avetissian M. S.</i> , see <i>Balayan H. G.</i>	747
<i>Babayan A. A., Aghballan S. G.</i> — The Reaction of Cyanurtrihydrazide with Electrophillic Olefines	10—660
<i>Babayan A. T.</i> , see <i>Hovhannisian N. R.</i>	700
<i>Babayan H. G.</i> , see <i>Grigorian R. H.</i>	231
<i>Haroutyunian L. A.</i>	547
<i>Babayants R. M.</i> , see <i>Khanamirova A. A.</i>	558
<i>Bubertsian L. P., Hovhannessian E. L., Vardanian I. A., Nalbandian A. B.</i> — On Heterogenous Stages of Low Temperature Oxidation of Formaldehyde	5—279
<i>Babkin V. V.</i> , see <i>Telnova M. M.</i>	225
<i>Badalian A. K.</i> , see <i>Hayrapettian S. M.</i>	392
<i>Badanian Sh. O., Vorskanian S. A.</i> — Alkenylmagnesium Halides in the Syntheses of Natural Compounds	5—294
<i>Baghdassarian H. B., Sarkissova E. A., Injikian M. H.</i> — 1,3,5-Triphenylbenzene Formation from Dibutylacetal of Acetophenone Under the Influence of Catalytic Quantity of Hydrochloric Acid	3—203
<i>Balayan H. G., Avetissian M. S., Toumanian N. P.</i> — Some Regularities of Colloidal Silica Flocculation by Polyethylenimine Solutions	12—747
<i>Balayanh. G., Hayrapettian O. Kh., Vartikian R. M., Toumanian N. P.</i> — Adsorption of Polyvinylalcohol (PVA) on Colloidal Silica	1—45
<i>Barseghian S. H.</i> , see <i>Najartian A. K.</i>	491
<i>Basevitch V. Ya., Vedeneyev V. I., Alexandrov E. N.</i> — Reaction of Atomic Nitrogen with Methane	7—426
<i>Batovskaya L. O.</i> , see <i>Piroumian G. P.</i>	14, 146

<i>Beylerian N. M.</i> , see <i>Aslanian A. S.</i>	596
<i>Davtian V. S.</i>	7
<i>Markarian Sh. A.</i>	653
<i>Bondarenko M. S.</i> , see <i>Frankovskiy V. A.</i>	24, 92, 308
<i>Boroyan R. G.</i> , see <i>Madakian V. N.</i>	724
<i>Boshnyakova A. I.</i> , see <i>Petrosian V. A.</i>	54, 535
<i>Boyajian V. G.</i> , see <i>Manukian G. A.</i>	389
<i>Choukhajian G. A.</i> , see <i>Matsoyan M. S.</i>	532
<i>Chshmaritian J. H.</i> , see <i>Markarian Sh. A.</i>	653
<i>Darbinian E. G.</i> , see <i>Kharatian V. H.</i>	736
<i>Daturian B. M.</i> , see <i>Ghazarian Gh. P.</i>	260
<i>Davtian I. A.</i> , see <i>Maniashian A. H.</i>	332
<i>Davtian M. M.</i> , see <i>Matnishian H. A.</i>	457
<i>Davtian V. S.</i> , <i>Melk-Ohanjantian L. G.</i> , <i>Markarian Sh. A.</i> , <i>Nersessian K. A.</i> , <i>Beylerian N. M.</i> —The Influence of Polyperoxides on Mechanism of Termoxidation of Polychloroprene	1—7
<i>Dovlatian V. V.</i> , <i>Eliazian K. A.</i> , <i>Pivazian V. A.</i> , <i>Hakopian A. G.</i> —Some Transformations of 2-Aminoethoxy- <i>s</i> -triazines	1—36
<i>Dovlatian V. V.</i> , <i>Gomktsian T. A.</i> , <i>Khachatryan N. Kh.</i> —Synthesis of α -Methylhydrazino- <i>s</i> -triazines	3—187
<i>Dovlatian V. V.</i> , <i>Gomktsian T. A.</i> , <i>Khachatryan N. Kh.</i> —Synthesis and Di- alkylation of β -Acyldiazino- <i>s</i> -triazines	7—451
<i>Dovlatian V. V.</i> , <i>Gyulbudaghian L. L.</i> , <i>Ambartsunian E. N.</i> —Aminolysis and Hydrazinolysis of <i>N</i> -Cyano- <i>N</i> -carbmethoxyalkylamino- <i>s</i> -triazines	3—192
<i>Dovlatian V. V.</i> , see <i>Gyulbudaghian L. L.</i>	518
<i>Durgarian A. H.</i> , <i>Arakelian R. H.</i> , <i>Yessayan G. E.</i> —An Interaction of Po- lychloroprene Epoxide with Thiourea and Potassium Rhodanide	5—322
<i>Dvorianchikov A. I.</i> , <i>Arakelian A. S.</i> , <i>Guevorkian A. A.</i> —Reactions of Ha- logentetrahydropyrans	9—571
<i>Eliazian K. A.</i> , see <i>Dovlatian V. V.</i>	36
<i>Frankovskiy V. A.</i> , <i>Bondarenko M. S.</i> , <i>Hovhannessian E. T.</i> —The Regula- rities of Three-Phase Extraction Systems Formation	1—24
<i>Frankovskiy V. A.</i> , <i>Bondarenko M. S.</i> , <i>Hovhannessian E. T.</i> —Extractive Properties of Some Phenols and Naphthols in Three-Phase System Aqueous Solution of $(\text{NH}_4)_2\text{SO}_4$ —Acetone—Hexane	2—92
<i>Frankovskiy V. A.</i> , <i>Bondarenko M. S.</i> , <i>Hovhannessian E. T.</i> —Aqueous So- lution of Ammonium Sulfate—Acetone—Hexane Type Three-Phase Li- quid System. Regularities of their Formation and Chemical Compo- sitions of Phases	6—368
<i>Gabriellian E. S.</i> , see <i>Matsoyan M. S.</i>	532
<i>Gach-Baitz E.</i> , see <i>Hovhannessian G. B.</i>	58, 646, 717
<i>Galoyan K. H.</i> , see <i>Mesrobian E. G.</i>	264
<i>Galoyan K. K.</i> , <i>Knizian N. B.</i> , <i>Kostanian K. A.</i> —Some Properties of Cal- cium Boron Aluminate Glasses	9—563
<i>Galstian A. V.</i> , see <i>Avetissian A. A.</i>	657
<i>Galstian L. R.</i> , see <i>Matsoyan M. S.</i>	532
<i>Gapoyan H. S.</i> , see <i>Melk-Ohanjantian R. G.</i>	530
<i>Gasparian M. Ts.</i> , see <i>Kharatian V. H.</i>	736
<i>Gasparian S. Ye.</i> , see <i>Piroumian G. P.</i>	14
<i>Gaybakian A. G.</i> , <i>Khachatryan H. G.</i> —A Spectrophotometric Investigation of Rivanol	3—170
<i>Gaybakian D. S.</i> , <i>Andronkashvili T. G.</i> , <i>Khachatryan H. G.</i> —The Use of Zeolites for Separation of Rare Elements by Thin-Layer Chromato- graphy Method	12—754

<i>Geokhchan N. O., Houseplan E. N., Khachatryan A. G.</i> — Extraction-Absorbimetric Determination of Microgramm Amounts of Platinum (IV) by Nile Blue „B” DYE	5—289
<i>Gihakgramanian A. A.</i> , see <i>Avetissian A. A.</i>	633, 708
<i>Ghandevossian A. R.</i> , see <i>Javadian V. G.</i>	19
<i>Ghapanian E. Ye., Hayrapettian P. Kh., Voskanian E. S.</i> — Chemistry of Dienes and Their Derivatives. XXV. Low Temperature Chlorination of 2-Bromo-1,3-Butadiene	6—385
<i>Gharibian K. M.</i> , see <i>Haroutyunian N. S.</i>	240
<i>Ghazanjanian A. M.</i> , see <i>Najarlan A. K.</i>	491
<i>Ghazanchnian Gh. P., Daturian B. M., Klnoyan F. S., Hakopian L. A.</i> — The Role of Crosslinking Sensibilizers in Interphase Reactions Proceeding in Poly-layer Compositions Consisting of Incompatible Polymers	4—260
<i>Ghazarlan A. Ts.</i> , see <i>Khachatryan L. A.</i>	266
<i>Ghazarlan L. H.</i> , see <i>Meliksetian R. P.</i>	326
<i>Ghazarlan N. V.</i> , see <i>Madakian V. N.</i>	724
<i>Ghazarlan R. A.</i> , see <i>Khachatryan L. A.</i>	762
<i>Ghazarlan R. K.</i> , see <i>Madakian V. N.</i>	642, 724
<i>Ghazarlan S. A.</i> , see <i>Matnishian A. A.</i>	457
<i>Ghazarlan Zh. V.</i> , see <i>Vartanian R. S.</i>	270
<i>Ghochikian T. V.</i> , see <i>Harontyunian V. S.</i>	410
<i>Ghukassian P. S.</i> , see <i>Potadlian E. A.</i>	139
<i>Ghoukassian T. T., Mkhitarian R. P.</i> — Kinetic Regularities of Dimethylaminoethanol Oxidation in Persulfate-Amine System in the Presence of Ag ⁺ Ions	3—143
<i>Gomktsian T. A.</i> , see <i>Dovlatian V. V.</i>	187, 451
<i>Grigorian A. Sh.</i> , see <i>Gyulzadlian A. A.</i>	442
<i>Haykazian A. M.</i>	615
<i>Melkumov M. A.</i>	619
<i>Grigorian E. A.</i> , see <i>Madakian V. N.</i>	642
<i>Petrosian V. A.</i>	535
<i>Grigorian G. H.</i> , see <i>Haroutyunian G. H.</i>	624, 677, 682
<i>Grigorian G. Kh.</i> , see <i>Paronikian Ye. G.</i>	505
<i>Grigorian G. L.</i> , see <i>Abrahamian A. N.</i>	211
<i>Grigorian G. H.</i> , see <i>Haroutountan G. H.</i>	624
<i>Grigorian G. S.</i> , see <i>Khachatryan L. A.</i>	762
<i>Grigorian G. S., Tamoyeva A. I., Toumassian V. S., Malkhasian A. Ts., Martirosian G. T.</i> — On the Composition of Liquid Phase Oxidation Products of 1,4-Dichloro-2-butene with Oxygen	1—29
<i>Grigorian J. V.</i> , see <i>Hovhannissian N. R.</i>	700
<i>Grigorian K. G.</i> , see <i>Mouradlian A. B.</i>	82, 161, 220
<i>Najarlan A. K.</i>	491
<i>Grigorian K. R., Markarian Sh. A., Haroutyunian R. S.</i> — Physico-Chemical Investigation of Aqueous Solutions of Some Amino-Acids in the Presence of Dimethylsulfoxide	9—547
<i>Grigorian L. A., Kaldrikian M. H., Paronikian R. V.</i> — Arylsulfonic Acid Derivatives. XVII. Synthesis of N[γ-(4-N',N'-disubstituted sulfamoyl-phenyl)alkyl]amides of 4-alkoxybenzoic Acids	4—236
<i>Grigorian L. A., Kaldrikian M. H., Stepanian N. O., Aristakesian S. A.</i> — Arylsulphonic Acids Derivatives. XVI. Synthesis and Hypoglycemic Activity of Benz-2,1,3-thiadiazolsulphonamides	2—116
<i>Grigorian L. H.</i> , see <i>Arstamian Zh. M.</i>	173
<i>Grigorian R. H.</i>	231
<i>Piroumlan G. P.</i>	696
<i>Grigorian M. L.</i> , see <i>Kuroyan R. H.</i>	509
<i>Grigorian O. V.</i> , see <i>Moussessian M. S.</i>	77
<i>Mouradlian A. B.</i>	82, 161, 220

<i>Grigorian R. H.</i> , see <i>Piroumian G. P.</i>	696
<i>Grigorian R. H.</i> , <i>Grigorian L. H.</i> , <i>Babayan H. G.</i> — Synthesis of the High-Melting Complex Spinel-Type Oxides in the Low-Temperature Plasma. 1. The Synthesis of $Zn_2Ti_{1-x}Sn_xO_4$ Compounds and Its X-ray and Nuclear ϵ -Resonance Investigations	4—231
<i>Grigorian R. T.</i> , see <i>Iradian M. A.</i>	338
<i>Grigorian S. A.</i> , see <i>Petrosian V. A.</i>	54, 130
<i>Gulyzadian A. A.</i> , <i>Grigorian A. Sh.</i> , <i>Hayrapetian G. S.</i> , <i>Haykazian A. M.</i> — The Influence of Thermochemical Processing of Noyemberian Ore Deposit Zeolites and Pd/Zeolite Catalysts on their Activity	7—442
<i>Guevorkian A. A.</i> , see <i>Dvorianchikov A. I.</i>	571
<i>Sargsian M. S.</i>	397, 496
<i>Guevorkian A. J.</i> , see <i>Hovhannissian D. N.</i>	197
<i>Guevorkian A. Ts.</i> , see <i>Movsessian M. S.</i>	77
<i>Guevorkian Z. A.</i> , <i>Karakhanian S. S.</i> , <i>Saharountan S. A.</i> , <i>Khechumian E. M.</i> — A Study of Aluminium Fluoride and Sodium Hydroxide Interaction	5—284
<i>Gyanjalian N. V.</i> , see <i>Melikian T. R.</i>	605
<i>Gyulbudaghian L. L.</i> , <i>Hambartsumian E. N.</i> , <i>Dovlatian V. V.</i> — Preparation of the New Derivatives of Imidazolidinyl- <i>s</i> -triazines	8—518
<i>Gyulbudaghian L. L.</i> , see <i>Dovlatian V. V.</i>	192
<i>Gyulbudaghian L. V.</i> , <i>Alexanian I. L.</i> — Synthesis of 2-Vinyl-4-methylfuro(3,2- <i>c</i>)-quinolines	5—334
<i>Gyulbudaghian L. V.</i> , <i>Alexanian I. L.</i> — Preparation of 2-Ethyl-4-methylfuro[3,2- <i>c</i>]-quinolines	6—407
<i>Gyulbudaghian L. V.</i> , <i>Alexanian I. L.</i> — Synthesis of 2-Alkoxyethyl-4-methylthieno-[2,3- <i>b</i>]quinolines	7—170
<i>Gyulbudaghian L. V.</i> , <i>Alexanian I. L.</i> , <i>Avetisian A. A.</i> — Some Transformations of <i>N</i> -Allyl Derivatives of 2-Oxo(tioxo)-4-methylquinolines	10—636
<i>Gyulbudaghian L. V.</i> , <i>Alexanian I. L.</i> , <i>Gzirian K. Z.</i> , <i>Sindoyan A. V.</i> — Preparation of New 4-Oxyquinolines Ethers and Quinolylhydroxyacetic Acids	1—41
<i>Gzirian K. Z.</i> , see <i>Gyulbudaghian L. V.</i>	41
<i>Hakopian A. G.</i> , see <i>Dovlatian V. V.</i>	36
<i>Hakhnazarian A. H.</i> , <i>Arzumantian M. H.</i> , <i>Hakopian Z. A.</i> — Macrocyclic Esters. II. Synthesis of 12,17-Dialkyl-1,4,7,10-tetraoxa-14-chloro-14-cyclooctadecene-11,18-diones, 12,17-dialkyl-1,4,7,10-tetraoxa-14,15-dichloro-14-cyclooctadecene-11,18-diones and their Complexes	5—313
<i>Hakhnazarian A. H.</i> , see <i>Arzumantian M. H.</i>	381, 713
<i>Avetisian A. A.</i>	659
<i>Hakopian L. A.</i> , see <i>Ghazarian G. P.</i>	260
<i>Haroutyunian N. S.</i>	240
<i>Hayrapetian S. M.</i>	392
<i>Hakopian S. K.</i> , see <i>Khachatryan L. A.</i>	266
<i>Hakopian S. M.</i> , <i>Zalntian M. G.</i> — The Kinetic of 3-Alkyl-6-methyl-2-oxo-1,4-dioxanes Reduction	7—465
<i>Hakopian E. A.</i> , see <i>Hakhnazarian A. H.</i>	313
<i>Hakopian Z. H.</i> , see <i>Hovhannissian D. N.</i>	197
<i>Khachatryan M. H.</i>	728
<i>Halebian G. P.</i> , see <i>Telnova M. M.</i>	255
<i>Hambartsumian E. N.</i> , see <i>Dovlatian V. V.</i>	192
<i>Gyulbudaghian L. L.</i>	518
<i>Hambartsumian G. B.</i> , see <i>Mcsroplian E. G.</i>	264
<i>Piroumian G. R.</i>	14
<i>Haroutyunian B. S.</i> , <i>Hovhannissian K. B.</i> , <i>Hovsepian G. Sh.</i> , <i>Shepalln K. A.</i> , <i>Hovhanissian E. B.</i> — IR-Spectroscopic and Adsorption Study of Structure of Carbonated Forms of Amorphous Calcium Hydrometasilicate	3—153

<i>Haroutyunlan G. H., Grigorian G. H.</i> —The Investigation of Interaction Between Nepheline Concentrate and Solutions of Aluminium Salts. I. Determination of Optimum Parameters of the Process	10—624
<i>Haroutyunlan G. H., Grigorian G. H.</i> —A Study of the Reaction of Nepheline Concentrate with the Solutions of Aluminium Salts. II. Physical and Chemical Study of the Interaction Products	11—767
<i>Haroutyunlan G. H., Grigorian G. H.</i> —A Study of the Reaction of Nepheline Concentrate with the Solutions of Aluminium Sulfate. III. The Kinetics of the Reaction	11—682
<i>Haroutyunlan L. A., Toumanian N. P., Balayan H. G.</i> —Characteristic Viscosity as a Standard of Agregation Degree for Silicazoles	9—601
<i>Haroutyunlan N. S., Gharibian K. M., Assatrian T. O., Tossuntan H. H., Hakopian L. A.</i> —Synthesis of Tetrahydropyranyl-Aryl Amines	4—240
<i>Haroutyunlan R. S., see Arzoumanian M. H.</i>	381, 713
<i>Aslanian A. S.</i>	596
<i>Grigorian K. R.</i>	547
<i>Haroutyunian V. S., Ghochiklian T. V., Yeghiazarian N. S., Avetisyan A. A.</i> —Recyclization of Thiosemicarbazones of 2-Acetylbutanolides	6—410
<i>Hasruttan G. V., see Kharatian V. H.</i>	736
<i>Haykazian A. M., Grigorian A. Sh.</i> —The Study of Pd—Ag/SiO ₂ Catalysts in the Process of Ethylidenediacetate Preparation by Hydrogenation of Acetic Anhydride	10—615
<i>Haykazian A. M., see Gyulsadlan A. A.</i>	442
<i>Hayrapettan O. S., see Gyulzadlan A. A.</i>	442
<i>Hayrapettan O. Kh., see Balayan H. G.</i>	45
<i>Hayrapettan P. Kh., see Ghaplantian E. Ye.</i>	385
<i>Hayrapettan S. M., Pokriklian G. V., Badallan A. K., Isabeklian S. Ye., Israelian V. R., Hakopian L. A.</i> —Chalk Modification by Polyvinylacetate's Carboxylic Latexes	6—392
<i>Hovagimian A. A., see Iradian M. A.</i>	336
<i>Hovhannisian A. A., see Manukian G. A.</i>	389
<i>Hovhannisian A. O., see Varuzhanian A. A.</i>	487
<i>Hovhannisian A. S.h., see Kuroyan R. H.</i>	527
<i>Hovhannisian D. N., Abrahamian A. A., Avanesian E. S., Mkrtchian A. T., Poghoslan G. M.</i> —Polyurethanes and Films on the Basis of 1,3,5-tri-(β-hydroxyethyl)hexahydro-s-triazine	10—667
<i>Hovhannisian D. N., Avanesian E. S., Kinoyan F. S., Atashian S. M., Abrahamian A. A., Poghoslan G. M.</i> —Monomers and Polymers Containing Isocyanurate Ring. IV. Copolyurethane- on the Basis of 1,3,5-Trihydroxymethylcyanurate, 4,4'-Diphenylmethanediiisocyanate and Olygobutadiendiol	7—461
<i>Hovhannisian D. N., Gevorkian A. J., Hakopian Z. A., Poghoslan G. M.</i> —Monomers and Polymers Containing Isocyanuric Ring. III. Polyurethanes on the Basis of Di- and Trioximethylol Derivatives of Cyanuric Acid	3—197
<i>Hovhannisian E. B., see Haroutyunlan B. S.</i>	153
<i>Hovhannisian E. A., see Baberstan L. P.</i>	279
<i>Hovhannisian E. T., see Frankovskly V. A.</i>	24. 92, 368
<i>Hovhannisian G. B., Mnatsakanian V. H., Gach-Baytz E., Radich L.</i> —Verbascoside from Teucrium Hyrcanicum L.	1—58
<i>Hovhannisian G. B., Mnatsakanian V. H., Gach-Baltz E., Radics L.</i> —Flavonoid Glycosides of Teucrium Hyrcanicum L.	10—646
<i>Hovhannisian G. B., Mnatsakanian V. A., Gach-Baltz E.</i> —Dracocephalum multicaule Flavonoids. I.	11—717
<i>Hovhannisian H. R., Ouchian V. N.</i> —Study of Corrosion-Electrochemical Behaviour of Iron. Chromium and Chromic Steel in Dilute Silicate Alkaline Solution	6—363
<i>Hovhannisian K. B., see Haroutyunlan B. S.</i>	153

<i>Hovhannissian N. R., Grigorian J. V., Babayan A. T.</i> — Investigation of Amines and Ammonium Compounds. CCVII. The Rearrangement-Cleaveage Reaction of the Potential Enammonium Salts Containing 1-Naphthylmethyl Group	11—700
<i>Hovhannissian M. H.</i> , see <i>Kuroyan R. H.</i>	527
<i>Houseplan E. B.</i> , see <i>Martrossian G. G.</i>	356
<i>Houseplan E. N.</i> , see <i>Geokhchian N. O.</i>	289
<i>Mounier Abdel Farlah</i>	629
<i>Houseplan G. Sh.</i> , see <i>Haroutyunian B. S.</i>	153
<i>Infiklan M. H.</i> , see <i>Baghdassarian H. B.</i>	203
<i>Nikoghossian L. L.</i>	400
<i>Poghossian A. S.</i>	374
<i>Iradian M. A., Grigorian R. T., Iradian N. S.</i> — Imidazole Derivatives. XXII. On Thermic Rearrangement of <i>N'</i> /bis(2-chloroethyl)amino/benzilidenedihydrazides of 4-nitroimidazole-1-acetic acid to azine of 4/bis(2-chloroethyl)amino/benzaldehyde	5—338
<i>Iradian M. A., Hovagtmian A. A.</i> — On the Distinctive Properties of the Hydrazones of 4-Chloro- and 4(3)-Nitroacetophenones	5—336
<i>Iradian N. S.</i> , see <i>Iradian M. A.</i>	338
<i>Issabekian S. Ye.</i> , see <i>Hayrapetian S. M.</i>	392
<i>Israeliian V. R.</i> , see <i>Hayrapetian S. M.</i>	392
<i>Javadian V. G., Ghandevossian A. R., Shahnazarian R. V., Avetissian A. Kh.</i> — Glass Formation and Some Properties of Glasses in As—Se—S—J Systems	1—19
<i>Kaldrikian M. H.</i> , see <i>Grigorian L. A.</i>	116, 236
<i>Kamalian N. S., Mnatsakanian V. A.</i> — Modification of the Structures of Alkaloids. XI. New Derivatives of Solasodine	2—128
<i>Kamallan O. A., Musheghian A. V.</i> — IR Spectral and Gravimetric Studies of Vapour Phase Modification of Silica Gel	4—215
<i>Karakhuniian S. S.</i> , see <i>Ghasabian S. R.</i>	688
<i>Guevorkian Z. A.</i>	284
<i>Karapetian H. A., Margarian Sh. A., Antipin M. Yu., Struchkov Yu. T.</i> — The Crystal and Molecular Structure of Diethylsulfoxide	8—483
<i>Karapetian T. D.</i> , see <i>Madakian V. N.</i>	642
<i>Kasabian S. R., Karakhuniian S. S.</i> — A Study of Sodium Nitrate Crystallization as a Removing Technique for Calcium Nitrate Impurities	11—686
<i>Kazurlan R. K.</i> , see <i>Madakian V. N.</i>	642
<i>Khachatryan H. G.</i> , see <i>Geokhchian N. O.</i>	269
<i>Mikaellian J. A.</i>	568
<i>Khachantian G. B.</i> , see <i>Khachatryan L. A.</i>	266
<i>Khachatryan H. G.</i> , see <i>Gaybakian A. G.</i>	170
<i>Gaybakian D. S.</i>	754
<i>Khachatryan L. A., Kirakossian V. H., Khachantian G. B., Ghazarian A. Ts., Hakopian S. K., Malkhassian A. Ts., Martrossian G. T.</i> — An Effect of Interphase Catalysts on Dehydrochlorination of 3,4-Dichlor-1-Butene to Chloroprene by Sodium Hydroxide in Aqueous-Alcoholic Medium	4—266
<i>Khachatryan L. A., Ghazarian R. H., Grigorian G. S., Martrossian N. G., Malkhassian A. Ts.</i> — The Cycloaddition Reaction to Dichlorocarbene under Conditions of Interface Catalysts	12—762
<i>Khachatryan L. A.</i> , see <i>Nalbandian Z. T.</i>	318
<i>Khachatryan M. H., Hakopian Z. H., Zaplitshni V. N., Poghossian G. M.</i> — Synthesis and Properties of Coordination Polymers of Triazine Series	11—728
<i>Khachatryan N. Kh.</i> , see <i>Dovlatian V. V.</i>	187, 451
<i>Khachatryan V. E.</i> , see <i>Melik-Ohanjanyan R. G.</i>	530
<i>Khuchoyan V. I.</i> , see <i>Madakian V. N.</i>	642

<i>Khanamlroua A. A., Apresian L. P., Nikoghosian B. V.,</i> Simonian B. N. ,	
<i>Babayants R. M.</i> — Preparation of Low-Alkaline Alpha-Alumina of High Dispersity from Alumina Dust	9—558
<i>Kharatlan V. H., Maillan N. Sh., Assatryan R. S., Gasparian M. Ts., Kinoyan F. S., Hasratian G. V., Darbinian E. G., Matsoyan S. G.</i> — Copolymerization of 1- and 2-Methyl-5-vinyltetrazoles with Acrylonitrile	11—736
<i>Khechumlan E. M.</i> , see <i>Guevorkian Z. A.</i>	284
<i>Khizantsian N. M., Sargssian M. S.</i>	397
<i>Kinoyan F. S.</i> , see <i>Aghballan S. G.</i>	59
<i>Ghazarlan G. P.</i>	260
<i>Hovhannisian D. N.</i>	461
<i>Kharatlan V. H.</i>	736
<i>Kirukosian V. H.</i> , see <i>Assatryan E. M.</i>	244, 341, 251
<i>Khachatryan L. A.</i>	266
<i>Knlazian N. B.</i> , see <i>Galoyan K. K.</i>	563
<i>Kumkumajlan Ye. V.</i>	445
<i>Kostantian K. A.</i> , see <i>Galoyan K. K.</i>	563
<i>Kumkumajlan Ye. V.</i>	445
<i>Nalbandian Z. T.</i>	318
<i>Kuroyan R. H.</i> — Methods of Synthesis of Piperidine-, Tetrahydropyran-, tetrahydrothiopyran-4-carboxaldehydes, ketones, acids and their derivatives	2—99
<i>Kumkumajlan Ye. V., Knlazian N. B., Kostantian K. A.</i> — Some Properties of Magnesium-Borate Glasses Containing Fluorides	7—445
<i>Kurghitun K. A.</i> , see <i>Aghavellan E. S.</i>	591
<i>Kuroyan R. H., Markosian A. I., Hovhannisian A. Sh., Hovhannisian M. H.</i> — Synthesis of 3-Ethoxycarbonyl(cyan)-4-amino-2,3-dihydrospiro[naphthalene-2,1'-cyclohexanes]	8—527
<i>Kuroyan R. H., Senekhchian G. M., Vartanian S. H., Grigorian M. L.</i> — Synthesis and Properties of Cycloalkanespiropiperidines	8—509
<i>Kurtiklan T. S.</i> , see <i>Madaklan V. N.</i>	642, 724
<i>Lulayan R. G.</i> , see <i>Nalbandian Z. T.</i>	318
<i>Madaklan V. N., Kazarian R. K., Manoukian Sh. M., Kurtiklan T. S., Kazarian N. V., Stepanian A. S., Boroyan R. G., Ordian M. B.</i> — New Water Soluble Metal Complexes of Mezo-Tetra[3-N-(2'-Oxyethyl)Pyrroldil]Porphyrins and their Pharmacological Activity	11—724
<i>Madaklan V. N., Ghazarian R. K., Manoukian Sh. M., Kurtiklan T. S., Khachoyan V. I., Grigorian E. A., Karapetian T. D., Ordian M. B.</i> — Some Metallocomplexes of Mezo-Tetra(3-N-substituted)-pyrroldylporphyrins and Their Bioactivity	10—642
<i>Maillan N. Sh.</i> , see <i>Assatryan R. S.</i>	402
<i>Kharatlan V. H.</i>	736
<i>Makarlan A. V.</i> , see <i>Nalbandian Z. T.</i>	318
<i>Malkhasian A. Ts.</i> , see <i>Assatryan E. M.</i>	244, 251, 341
<i>Grigorian G. S.</i>	29
<i>Khachatryan L. A.</i>	266, 762
<i>Mantashian A. H., Martrossian V. H., Zaprossian A. V.</i> — Formation of Anhydrous Ferric Chloride Under the Action of the Mixture of Natural Gas and Chlorine on Iron Slags	6—351
<i>Mantashian A. H., Varderesian G. Ts., Davtian I. A.</i> — The Transformation of Anatase to Rutile under the Action of Gase-Phase Chain Reaction of Methane Oxidation	5—332

<i>Mantashian A. H., Zaprossian A. V., Martirosian V. H.</i> — Synthesis of Titanium Tetrachloride from Rutile by the Influence of Mixture of Chlorine with Nature Gas	9-551
<i>Manukian A. T.</i> , see <i>Sargsian M. S.</i>	397
<i>Manukian G. A., Boyajian V. G., Hovhannessian A. A.</i> — Kinetics of Latex Particles Formation in Aqueous Polymerization of Vinyl Acetate	6-389
<i>Manukian G. G.</i> , see <i>Varouzhanian A. A.</i>	692
<i>Manukian H. G.</i> , see <i>Martirosian G. G.</i>	356
<i>Manukian Sh. M.</i> , see <i>Madokian V. N.</i>	642, 724
<i>Murkarian E. A.</i> , see <i>Agheklan A. A.</i>	705
<i>Avetissian A. S.</i>	514
<i>Vardanian S. O.</i>	176
<i>Markarian S. M., Tadevosian V. M., Petrossian V. A.</i> — Aluminum Sulfate Complex with Hexamethylenediamine and Its Application in a Process of Natural Leather Tanning	1-50
<i>Markarian Sh. A., Chshmaritlan J. H., Beylerian N. M.</i> — Polymerization of Acrylamide in Aqueous Solutions in the Presence of Dialkylsulfoxides	10-653
<i>Markarian Sh. A.</i> , see <i>Davtlan V. S.</i>	7
<i>Grigorian K. R.</i>	547
<i>Karapetlan H. A.</i>	483
<i>Markossian A. I.</i> , see <i>Kuroyan R. H.</i>	527
<i>Martirian A. I.</i> , see <i>Piroumian G. P.</i>	71, 696
<i>Martirosian E. V.</i> , see <i>Mesropian E. G.</i>	264
<i>Martirosian G. G., Houseplan E. B., Anakchlan E. Kh., Manukian H. G., Mikaelian A. H., Avakian T. A., Zulumian N. H.</i> — Study of Adsorption-Structural Characteristics of Diatomite Deposits of Armenia	6-356
<i>Martirosian G. T.</i> , see <i>Assatrian E. M.</i>	251, 341
<i>Grigorian G. S.</i>	29
<i>Khachatryan L. A.</i>	266
<i>Naalbandian Z. T.</i>	318
<i>Petrosian V. A.</i>	120
<i>Martirosian N. G.</i> , see <i>Khachatryan L. A.</i>	762
<i>Martirosian V. H.</i> , see <i>Mantashian A. H.</i>	351, 551
<i>Martirosian Z. A.</i> , see <i>Assatrian E. M.</i>	251
<i>Matevosian M. V.</i> , see <i>Petrosian V. A.</i>	535
<i>Matnishlan H. A., Davtlan M. M.; Safarian A. A., Ghazarian S. A.</i> — Regularities of Chlorination of Stereoregular Polyacetylene	7-457
<i>Matsoyan M. S., Galstian L. R., Tserunian V. V., Sahakian I. A., Chokhajian G. A., Gabriellian E. S.</i> — New Imidazole- and Pyrazole-containing Hemosorbents for Uric Acid Selective Sorption	8-532
<i>Matsoyan S. G.</i> , see <i>Kharatian V. H.</i>	736
<i>Melikian G. S.</i> , see <i>Avetissian A. A.</i>	633, 657, 659, 708
<i>Melikian T. R., Rafaellian D. J., Ganjalian H. V., Mikaelian A. R., Tahg-mazian K. Ts.</i> — Synthesis New Nitrogen-containing Inhibitors Acid Coor-zathion	9-605
<i>Melik-Ohanjantian R. G., Gapoyan H. S., Khachatryan V. E., Mirzoyan V. S.</i> — Pyrimidine's Derivatives. Bromination of 5-Allyl-6-hydrazino-2,4-dimethylpyrimidine	8-530
<i>Melik-Ohanjantian L. G.</i> , see <i>Davtlan V. S.</i>	7
<i>Meliksetian R. P., Ghazarian L. H., Ertizian M. L.</i> — Chelate Complexes on the Basis of N-Alkoxyderivatives of Isocyanuric Acid	5-326
<i>Melkumov M. A., Grigorian A. Sh., Safronov V. M.</i> — The Dispersity and Specific Catalytic Activity of Ni and Ni/SiO ₂ Catalysts Obtained from Formate of Nickel	10-619
<i>Mesropian E. G., Martirosian E. V., Hambartsumian G. B., Galoyan K. H., Avetissian A. A.</i> — New Derivatives of Izzatine	4-261

<i>Mesrobian E. G., Martirosian E. V., Hambartsumian G. B., Galoyan K. A., Avetisssian A. A.</i> — The New Derivatives of 5,5-Dimethylhydantoin . . .	10—664
<i>Mikaellian A. H.</i> , see <i>Martirosian G. G.</i>	356
<i>Mikaellian A. R.</i> , see <i>Melikian T. R.</i>	605
<i>Mikaellian G. S.</i> , see <i>Aghballian S. G.</i>	59
<i>Mikaellian J. A., Artsruni V. J., Khachatryan A. G.</i> — An Investigation of Interaction Between Thallium (III) Bromide Acidocomplex and Saffranine T	9—568
<i>Mikaellian V. H.</i> , see <i>Movsisssian M. S.</i>	226
<i>Minassiants M. Kh.</i> , see <i>Poghosssian I. E.</i>	603
<i>Minassian S. A.</i> , see <i>Avetisssian A. S.</i>	514
<i>Mirzoyan F. V., Sarkisssian N. P.</i> — Interaction Between Rhodamine 6G and Phosphorus (V) and Arsenic (V) Heteropolyacids of Molybdenum	2—87
<i>Mirzoyan R. G.</i> , see <i>Nikoghosssian L. L.</i>	400
<i>Mirzakhanian S. G.</i> , see <i>Petrosssian V. A.</i>	120, 473, 522, 535
<i>Mirzoyan V. S.</i> , see <i>Melik-Ohanjanian R. G.</i>	530
<i>Mkhitarian A. H.</i> , see <i>Piroumlan G. P.</i>	14, 146
<i>Mkhitarian R. P.</i> , see <i>Ghoukassian T. T.</i>	143
<i>Mkrtian G. G.</i> , see <i>Petrosssian V. A.</i>	120, 473
<i>Mkrtchian A. T.</i> , see <i>Hovhannisssian D. N.</i>	667
<i>Mkrtoumlan S. A.</i> , see <i>Sargssian M. S.</i>	496
<i>Mnats'okunian V. A.</i> , see <i>Hovhannisssian G. B.</i>	58, 645, 717
<i>Kamallan N. S.</i>	128
<i>Mounier AbdelFattah, Hovsepian E. N.</i> — Extraction-Photometric Determination of Microgram Amounts of Uranium with Acriflavine	10—629
<i>Mouradian A. B., Grigorian O. V., Grigorian K. G., Grigorian G. H.</i> — A Study of Interaction of Clinoptilolite with Calcium Hydroxide under Hydrothermal Conditions. I. Determination of Optimal Conditions for Calcium Hydrosilicates Synthesis	2—82
<i>Mouradian A. B., Grigorian O. V., Grigorian K. G., Grigorian G. H.</i> — A Study of Interaction of Clinoptilolite with Calcium Hydroxide Under Hydrothermal Conditions. II, A Study of Reaction Products by Physico-Chemical Analysis	3—161
<i>Mouradian A. B., Grigorian O. V., Grigorian K. G., Grigorian G. H.</i> — Synthesis of Calcium Hydrosilicates on the Base of Tuff and Slaked Lime Under Hydrothermal Conditions	4—220
<i>Moussoyan L. M., Aliyev R. K., Yan S. A., Nalbandian A. B.</i> — Isotope Exchange of Methane with Surface OD-Groups of Pt/SiO ₂ Catalyst	1—3
<i>Movsisssian M. S., Guevorkian A. Ts., Grigorian O. V.</i> — A Study of Autoclave Solution Processes of Quartz Sand and High Silica Tripoli Rock of Phokin Deposit. I. A Study of Tripoli Solution Conditions	2—77
<i>Movsisssian M. S., Mikaellian V. H.</i> — Electrochemical Method of Preparation of Silica and Study of Its Properties	4—226
<i>Musheghian A. V.</i> , see <i>Kamallan O. A.</i>	215
<i>Mussaelian N. R.</i> , see <i>Nalbandian Z. T.</i>	318
<i>Nalbandian A. B.</i> , see <i>Abrahamian A. N.</i>	211
<i>Babertssian L. P.</i>	279
<i>Moussoyan L. M.</i>	3
<i>Poladian E. A.</i>	139
<i>Najarian A. K., Grigorian K. G., Barseghian S. H., Ghazanjanian A. M.</i> — Some Crystallochemical Peculiarities of Hydrocanerinite	8—491
<i>Nalbandian J. M.</i> , see <i>Piroumlan G. P.</i>	14, 71
<i>Simonian G. S.</i>	438
<i>Nalbandian Yu. E.</i> , see <i>Telnova M. M.</i>	255

<i>Nalbandian Z. T., Kostandian V. A., Soghomorian A. A., Martirosian G. T., Khachatrian L. A., Lalayan R. G., Makarian A. V., Massaelian N. R.</i> — Synthesis, Study of Properties and Optimization of Carboxyl-Containing Copolymer Chloroprene Latex Composition	5-318
<i>Nersessian K. A.</i> , see <i>Davtian V. S.</i>	7
<i>Nikoghossian L. L.</i>	400
<i>Nigmatdianov A. A.</i> , see <i>Telnova M. M.</i>	255
<i>Nikoghossian B. V.</i> , see <i>Khanamirova A. A.</i>	558
<i>Nikoghossian L. L., Nersissian K. A., Satina T. Yu., Mirzoyan R. G., In- jtkian M. H.</i> —Interactions Between 1-Phenyl-2-aza-1,3-butadiene and Secondary Phosphineoxides	6-400
<i>Noravian A. S.</i> , see <i>Parontkian Ye. G.</i>	505, 766
<i>Noravian H. S.</i> , see <i>Agheklan A. A.</i>	705
<i>Ordian M. B.</i> , see <i>Madakian V. N.</i>	642, 724
<i>Ouchian V. N.</i> , see <i>Hovhannissian H. R.</i>	363
<i>Parontkian R. G.</i> , see <i>Pa-ontkian Ye. G.</i>	766
<i>Parontkian R. V.</i> , see <i>Grigorian L. A.</i>	236
<i>Parontkian Ye. G., Strakanian S. N., Grigorian G. Kh., Noravian A. S.</i> — Synthesis of 3-Oxopyrano 3,4-c-pyridine's Derivatives and Investigation of Their Coronary Activity	8-505
<i>Parontkian Ye. G., Strakanian S. N., Noravian A. S., Parontkian R. G.</i> — Synthesis and Anticonvulsant Activity of the 3-Aminoderivatives of Pyrano 3,4-c/pyridines	12-766
<i>Petrosian V. A., Aroustamian S. A., Grigorian S. A.</i> —On the Mechanism of Halogenation of Butadiene-Nitrile Rubbers in Dimethylformamide Solution	2-130
<i>Petrosian V. A., Boshnyakova A. I., Grigorian S. A.</i> —Epoxycontained Pro- ducts Based on Brominated Butadienitrile Rubbers	1-54
<i>Petrosian V. A., Mirzakhantian S. G.</i> —Bromination of Styrene-Butadiene Rubbers in the Presence of Dimethylformamide	8-522
<i>Petrosian V. A., Mirzakhanian S. G., Matevosian M. V., Boshniakova A. I., Grigorian E. A.</i> —About the Complex of Hexamethyltri- amide of Phosphoric Acid with Bromine	8-535
<i>Petrosian V. A., Mirzakhanian S. M., Mkrtchyan G. G.</i> —On Low-Tempera- ture Halogenation of Polyacrylonitrile in Dimethylformamide Solution	7-173
<i>Petrosian V. A., Mirzakhanian S. G., Mkrtchyan G. G., Aroustamian S. A., Martirosian G. T.</i> —On Low-Temperature Halogenation of Olefines in Amide Solvents	2-120
<i>Petrosian V. A.</i> , see <i>Markarian S. M.</i>	50
<i>Petrosian V. P., Poghosian S. P.</i> —An Empiric Equation of Two-Phase System's Condition	7-419
<i>Piroumian G. P., Grigorian L. H., Martirian A. I., Grigorian R. H.</i> — Extractive-Fluorimetric Method of A ² -57 Growth Stimulator Determi- nation in Water	11-696
<i>Piroumian G. P., Martirian A. I., Skourlatov Yu. I., Shtamm E. V., Nal- bandian J. M.</i> —Reactivity of Some Pyrazolone Derivatives Towards ON and \dot{O}_2^-	2-71
<i>Piroumian G. P., Skourlatov Yu. I., Mkhitarian A. H., Batovskaya L. O., Ajarlan G. S., Hambartsumian G. B., Gaspartian S. Ye., Nalban- dian J. M.</i> —The Mechanism of H ₂ O ₂ Decomposition in the Presence of Bottom Deposits' Suspensions	1-14
<i>Piroumian G. P., Skourlatov Yu. I., Mkhitarian A. H., Batovskaya L. O., Shtamm E. V.</i> —A Method for Determination of Redox-Condition and Catalase-Peroxidase Activity of the Bottom Sediments	3-145

<i>Pirjanov L. Sh.</i> , see <i>Agheklan A. A.</i>	705
<i>Ploazian V. A.</i> , see <i>Dovlatian V. V.</i>	36
<i>Poghossian A. S.</i> , <i>Torgomian A. M.</i> , <i>Injikian M. H.</i> — Synthesis of β , γ -Unsaturated Thiolophosphates and Betaines on Their Basis	6--374
<i>Poghossian G. M.</i> , see <i>Hovhannisian D. N.</i>	197, 461, 667
<i>Khachatryan M. H.</i>	728
<i>Poghossian L. Ye.</i> , <i>Avaglan S. N.</i> , <i>Arakelian A. M.</i> , <i>Avagian S. S.</i> — Synthesis and Study of Complexes Compounds of Cu (II), Zn (II) and Mn (II) with 3-Carboxycumarin	7--467
<i>Poghossian L. E.</i> , <i>Minassiants M. Kh.</i> , <i>Arakelian A. M.</i> , <i>Avakian S. N.</i> — Synthesis, Physico-Chemical Investigations of Complex Compounds with Some Transitional Metals	9--603
<i>Poghossian S. P.</i> , see <i>Petrosian V. P.</i>	419
<i>Pokrikian G. V.</i> , see <i>Hayrapetian S. M.</i>	392
<i>Poladian E. A.</i> , <i>Ghukassian P. S.</i> , <i>Nalbandian A. B.</i> — Simultaneous Hydrogenation of Ethylene and Acetone by Spillover Method	3--139
<i>Radich L.</i> , see <i>Hovhannisian G. B.</i>	646
<i>Rafayellian D. G.</i> , see <i>Melikian T. R.</i>	605
<i>Safarian A. A.</i> see <i>Matnishian H. A.</i>	457
<i>Safronov V. M.</i> , see <i>Melkumov M. A.</i>	619
<i>Sahakian L. A.</i> , see <i>Matsoyan M. S.</i>	532
<i>Saharounian S. A.</i> , see <i>Guevorkian Z. A.</i>	284
<i>Sargsian M. S.</i> , <i>Manukian A. T.</i> , <i>Khtzantsian N. M.</i> , <i>Guevorkian A. A.</i> — Synthesis of Chloro Carboxylic Acids by Oxidation of β -, γ - and δ -Chloroethers by Nitric Acid	6--397
<i>Sargsian M. S.</i> , <i>Mkrtoumian S. A.</i> , <i>Guevorkian A. A.</i> — Synthetic Methods of Citric Acid Preparation	8--496
<i>Sarkissova E. A.</i> , see <i>Baghdassarian H. B.</i>	203
<i>Sarkisian N. P.</i> , see <i>Mirzoyan F. V.</i>	87
<i>Satina T. Ya.</i> , see <i>Nikoghossian L. L.</i>	400
<i>Senekhchian G. M.</i> , see <i>Kuroyan R. H.</i>	509
<i>Shahnazarian R. V.</i> , see <i>Javadian V. G.</i>	19
<i>Shamalian E. H.</i> , <i>Atashian S. M.</i> , <i>Voskarian M. G.</i> — A Modernized Device for Simultaneous Determination of Carbon and Hydrogen	2--125
<i>Shaninian R. S.</i> , see <i>Vartanian R. S.</i>	270
<i>Shepalln K. A.</i> , see <i>Haroutyunian B. S.</i>	153
<i>Shchetinskaya O. S.</i> , see <i>Aghavellian E. S.</i>	581
<i>Shkhlyov V. A.</i> , <i>Aghajanian Ts. Ye.</i> — On the Relationship between the Reactivity of Azadamantane Ring and Charge Distributions on it	6--405
<i>Shtamm E. V.</i> , see <i>Piroumian G. P.</i>	71, 146
<i>Simontan B. N.</i> , see <i>Khanamirova A. A.</i>	558
<i>Simontan G. S.</i> , <i>Nalbandian J. M.</i> , <i>Soghomonian B. M.</i> — Chemiluminescence in the Reactions of Benzoyl Peroxide with Tertiary Aminolcohols	7--436
<i>Sindoyan A. V.</i> , see <i>Gyulbudaghian L. V.</i>	41
<i>Strakantian S. N.</i> , <i>Paronikian Ye. G.</i>	505, 766
<i>Smirnov V. V.</i> , see <i>Assatrian E. M.</i>	244
<i>Skourlatov Yu. I.</i> , see <i>Piroumian G. P.</i>	14, 71, 146
<i>Soghomonian A. A.</i> , see <i>Nalbandian Z. T.</i>	318
<i>Soghomonian B. M.</i> , see <i>Simontan G. S.</i>	436
<i>Stepanian A. S.</i> see <i>Madakian V. N.</i>	724
<i>Stepanian N. O.</i> , see <i>Grigorian L. A.</i>	116
<i>Struchkov Yu. T.</i> , see <i>Karapetian H. A.</i>	483

<i>Tadeposlan V. M.</i> , see <i>Markarian S. M.</i>	50
<i>Tahgrazian K. Ts.</i> , see <i>Melikian T. R.</i>	605
<i>Talayev I. V.</i> , see <i>Varouzhanian A. A.</i>	692
<i>Tamoyev A. I.</i> , see <i>Grigorian G. S.</i>	29
<i>Telova M. M.</i> , <i>Babkin V. V.</i> , <i>Nigmatlanov A. A.</i> , <i>Nalbandian Yu. E.</i> , <i>Halabian Gh. P.</i> — The Modifying Effect of Vinyl Alcoholacrylic Acid Copolymer in Photomaterials	4-235
<i>Torghomian A. M.</i> , see <i>Poghosian A. S.</i>	374
<i>Tossunian H. H.</i> , see <i>Haroutyunian N. S.</i>	240
<i>Toumantan N. P.</i> , see <i>Balayan H. G.</i>	45, 747
<i>Haroutyunian L. A.</i>	601
<i>Toumassian V. S.</i> , see <i>Grigorian G. S.</i>	29
<i>Tserunian V. V.</i> , see <i>Matsuyan M. S.</i>	532
<i>Vardanian I. A.</i> , see <i>Babertsian L. P.</i>	279
<i>Vardanian S. O.</i> , <i>Avagian A. S.</i> , <i>Margarian E. A.</i> — New Aspects in the Chemistry of 1,4-Benzodioxane	3-176
<i>Vardereslian G. Ts.</i> , see <i>Manashian A. H.</i>	332
<i>Varouzhanian A. A.</i> , <i>Hovhannissian A. O.</i> — Influence of Heat-Treatment Temperature and Phase Composition on Porous Structure of Processed Silica	8-487
<i>Varouzhanian A. A.</i> , <i>Manoukian G. G.</i> , <i>Yermolayev I. K.</i> , <i>Tallayev I. V.</i> — A Study of Heat Conductivity of the Processed Silica in Order to In- tensify its Preparation	11-692
<i>Vartanian R. S.</i> , <i>Ghazarian Zh. V.</i> , <i>Shahinian R. S.</i> , <i>Vartanian S. H.</i> — Interaction of 3-Methoxy-1-Azabutadienes with Maleic Anhydride	4-270
<i>Vartunian S. H.</i> , see <i>Kuroyan R. H.</i>	509
<i>Vartanian R. S.</i>	270
<i>Vartikian R. M.</i> , see <i>Balayan H. G.</i>	45
<i>Vrdenyev V. I.</i> , see <i>Basevich V. Ya.</i>	426
<i>Voskantan E. S.</i> , see <i>Ghaptanian E. Ya.</i>	385
<i>Voskanian M. G.</i> , see <i>Shamamlan E. H.</i>	125
<i>Voskantan S. A.</i> , see <i>Badanian Sh. O.</i>	294
<i>Yan S. A.</i> , see <i>Moussoyan L. M.</i>	3
<i>Yeghiazarian N. S.</i> , <i>Haroutyunian V. S.</i>	410
<i>Yessayan G. E.</i> , see <i>Durgarian A. H.</i>	322
<i>Yeritsian M. L.</i> , see <i>Meliksetian R. P.</i>	326
<i>Yermolayev I. K.</i> , see <i>Varouzhanian A. A.</i>	692
<i>Zaltnian M. G.</i> , see <i>Hakopian S. M.</i>	465
<i>Zaplshni V. N.</i> , see <i>Khachatryan M. H.</i>	728
<i>Zaprossian A. V.</i> , see <i>Mantashian A. H.</i>	351, 551
<i>Zviumian N. H.</i> , see <i>Martirosian G. G.</i>	356